

RAPPORT

# NTNU Campusutvikling – Områdeplaner

---

OPPDRAAGSGIVER

COWI

EMNE

Områdestabilitetsvurdering iht. NVE 1/2019,  
Delområde 3

DATO / REVISJON: 25. februar 2022 / 00

DOKUMENTKODE: 10215021-06-RIG-RAP-003

---



Multiconsult

Denne rapporten er utarbeidet av Multiconsult i egen regi eller på oppdrag fra kunde. Kundens rettigheter til rapporten er regulert i oppdragsavtalen. Hvis kunden i samsvar med oppdragsavtalen gir tredjepart tilgang til rapporten, har ikke tredjepart andre eller større rettigheter enn det han kan utlede fra kunden. Multiconsult har intet ansvar dersom rapporten eller deler av denne brukes til andre formål, på annen måte eller av andre enn det Multiconsult skriftlig har avtalt eller samtykket til. Deler av rapportens innhold er i tillegg beskyttet av opphavsrett. Kopiering, distribusjon, endring, bearbeidelse eller annen bruk av rapporten kan ikke skje uten avtale med Multiconsult eller eventuell annen opphavsrettshaver.

## RAPPORT

OPPDRAG	<b>NTNU Campusutvikling – Områdeplaner</b>	DOKUMENTKODE	10215021-06-RIG-RAP-003
EMNE	Områdestabilitetsvurdering iht. NVE 1/2019, Delområde 3, tomt A.0, A.1 og C.2	TILGJENGELIGHET	Åpen
OPPDRAGSGIVER	<b>COWI</b>	OPPDRAGSLEDER	Anders Gylland
KONTAKTPERSON	Einar Kristoffersen Skei Kopi til NTNU v/ Bjørn Letnes	UTARBEIDET AV	Fredrik Aune
KOORDINATER	SONE: 32N ØST: 569880 NORD: 7032970	ANSVARLIG ENHET	10234011 Geoteknikk Midt
GNR./BNR./SNR.	405 / 177 / - / m.fl. Trondheim		

## SAMMENDRAG

Multiconsult er engasjert for å utføre en vurdering av områdestabiliteten for en planlagt utvidelse av NTNU campus på Gløshaugen. Foreliggende vurdering gjelder tomtene A.0, A.1 og C.2 i delområde 3. Gjeldende plannivå er detaljregulering. I tillegg til områdestabiliteten, tar utredningen også høyde på å avdekke sentrale problemstillinger som kan være avgjørende for videre utforming av prosjektet.

Planlagt utbygging på aktuelle tomter (A.0, A.1 og C.2) ligger ikke innenfor noen kjente kvikkleiresoner. Tomtene ligger heller ikke i direkte utløpsområde for et potensielt områdeskred i de nærmeste kvikkleiresonene.

Basert på tidligere og nye supplerende grunnundersøkelser ved A.0 og A.1, samt tidligere relevante vurderinger i området, er det konservativt antatt at det kiler ut en lomme med sprøbruddmateriale/kvikkleire fra øst mot vest under tomt A.1. Det vurderes at muligheten for områdeskred, og dermed tilhørende nødvendig sikkerhetskrav etter NVE 1/2019 ikke er relevant, da det er ingen eller svært lite sprøbruddmateriale involvert i kritisk glideflate. Det er dermed vurdert at det ikke vil forekomme en retrogressiv skredutvikling, og det er ikke fare for områdeskred. Krav til sikkerhet for skråningen fra tomtene A.0 og A.1 ned mot Klæbuveien anses å være tilfredsstilt ved å oppfylle krav gitt i Eurokode 7.

Utførte stabilitetsberegninger for tomt A.0 viser at skråningsstabiliteten, for en lastsituasjon tilsvarende 50 kPa belastning på eksisterende terregn, er tilfredsstillende iht. krav i Eurokode 7.

Stabilitetsberegnogene for tomt A.1 viser at skråningsstabiliteten er tilfredsstillende for en lastsituasjon tilsvarende 80 kPa for planlagt utbygging på tomt A.1 iht. krav i Eurokode 7.

Stabilitetsberegninger viser at en potensiell utbygging på tomt C.2 ikke vil være gjennomførbar uten å utføre stabiliserende tiltak i forkant. Stabiliserende tiltak kan være å etablere en motfylling i bunn av skråningen ned mot Dødens dal. For å bevare området som en fotballbane, må hele området heves til ca. kote +37. Dette tilsvarer en terrengheving på ca. 2 m. Stabiliserende tiltak for C.3 og C.4 må også være gjennomført før C.2 kan bebygges.

For A.0, A.1 og C.2 kan direktefundamentering eller en pelet løsning velges, avhengig av størrelse på bygg og aktuelt lastbilde. Det kan være mulig å etablere nybygg med én eller to kjelleretasjer, avhengig av nærhet til nabobygg og valg for utforming av byggegrop (åpen utgraving/spunt). Det må gjøres en vurdering av bæreevne og setninger for eksisterende og nye fundamenter når tiltaket er mer detaljert. Det må spesielt vies oppmerksomhet til potensielle differansesetninger mellom nytt og eksisterende bygg for utbygging på tomt A.0 og A.1.

Gjennomførbarheten av tomt X.0, A.4, B-rekka, C.3 og C.4 vurderes av Rambøll i deres rapport 1350041580 G-rap-003.

Løsningene som her er skissert som mulige løsninger for utbyggingen, må vurderes og detaljeres i en senere detaljprosakteringsfase. Det kan her også anbefales å utføre supplerende grunnundersøkelser, med målsetning om å kunne optimalisere de nødvendige tiltakene og øke bærekraften i prosjektet.

00	25.02.2022	Vurdering av områdestabilitet iht. NVE	Fredrik Aune	Petter Boge Kjønnås	Anders Gylland
REV.	DATO	BESKRIVELSE	UTARBEIDET AV	KONTROLLERT AV	GODKJENT AV

## INNHOLDSFORTEGNELSE

<b>1</b>	<b>Innledning .....</b>	<b>6</b>
1.1	Bakgrunn for prosjektet .....	6
1.2	Tiltakskategorier og relevante steg .....	9
<b>2</b>	<b>Regelverk og krav .....</b>	<b>10</b>
2.1	Relevant regelverk .....	10
2.2	Sikkerhetskrav .....	10
2.2.1	Spesielle forhold knyttet til tomte A.0 og A.1 .....	10
2.3	Uavhengig kvalitetssikring .....	11
<b>3</b>	<b>Grunnlag.....</b>	<b>12</b>
3.1	Topografi.....	12
3.2	Kwartærgeologisk kart og marin grense .....	13
3.3	Registrerte kvikkleiresoner .....	14
3.4	Grunnundersøkelser .....	15
3.4.1	Tidligere utførte grunnundersøkelser .....	15
3.4.2	Supplerende grunnundersøkelser .....	17
3.5	Grunnforhold .....	18
3.6	Tidligere utredning av eksisterende faresoner .....	18
3.7	Utbyggingsplaner .....	19
3.7.1	A.0 .....	19
3.7.2	A.1 .....	19
3.7.3	C.2 .....	20
<b>4</b>	<b>Identifikasjon av kritiske skråninger og mulig løsneområde .....</b>	<b>21</b>
4.1	Grunnlag for valg av profiler .....	22
4.1.1	Profil J1 .....	22
4.1.2	Profil M .....	22
4.1.3	Profil N .....	22
4.1.4	Profil O .....	23
4.1.5	Profil P .....	23
<b>5</b>	<b>Vurdering av områdestabilitet i Delområde 3 .....</b>	<b>24</b>
5.1	Profil J1 – Tomt C.2 .....	24
5.2	Profil M – Tomt C.2 (C.1).....	24
5.3	Profil O – Tomt A.1.....	25
5.4	Profil P – Tomt A.0 .....	25
<b>6</b>	<b>Utløpsproblematikk .....</b>	<b>26</b>
6.1	Kvikkleiresone 188 Berg Studentby .....	26
6.2	Kvikkleiresone 2189 Nedre Singsaker .....	28
<b>7</b>	<b>Gjennomførbarhet – Delområde 3 .....</b>	<b>30</b>
7.1	Tomt C.2 .....	30
7.2	Tomt A.0 .....	30
7.3	Tomt A.1 .....	30
7.4	Tomt C.1 .....	30
7.5	Tomt X.0 – Hovedbygningen .....	31
7.6	Tomt A.4 .....	31
7.7	B-rekka .....	31
7.8	Tomt C.3 og C.4 .....	31
<b>8</b>	<b>Konklusjon .....</b>	<b>32</b>
8.1	Videre arbeid .....	32
<b>9</b>	<b>Referanser .....</b>	<b>33</b>

## Tegninger

10215021-06-RIG-TEG	-000	Oversiktskart
	-001.3	Borplan/Situasjonsplan med profiler
	-780	Profil J1-J1 – Lagdeling
	-781	Profil M-M – Lagdeling
	-782	Profil N-N – Lagdeling
	-783	Profil O-O – Lagdeling
	-784	Profil P-P – Lagdeling
	-880.1	Profil J1-J1 – Stabilitetsberegninger – Mulig utbygging
	-880.2	Profil J1-J1 – Stabilitetsberegninger – Mulig utbygging med motfylling
	-881.1	Profil M-M – Stabilitetsberegninger – Influensområde mulig utbygging
	-881.2	Profil M-M – Stabilitetsberegninger – Influensområde med motfylling
	-883.1	Profil O-O – Stabilitetsberegninger – Mulig utbygging
	-884.1	Profil P-P – Stabilitetsberegninger – Mulig utbygging

## Vedlegg

- A – Stabilitetsberegninger
- B – Tolkning av laboratorieforsøk og CPTU
- C – Tidligere utførte grunnundersøkelser

## 1 Innledning

### 1.1 Bakgrunn for prosjektet

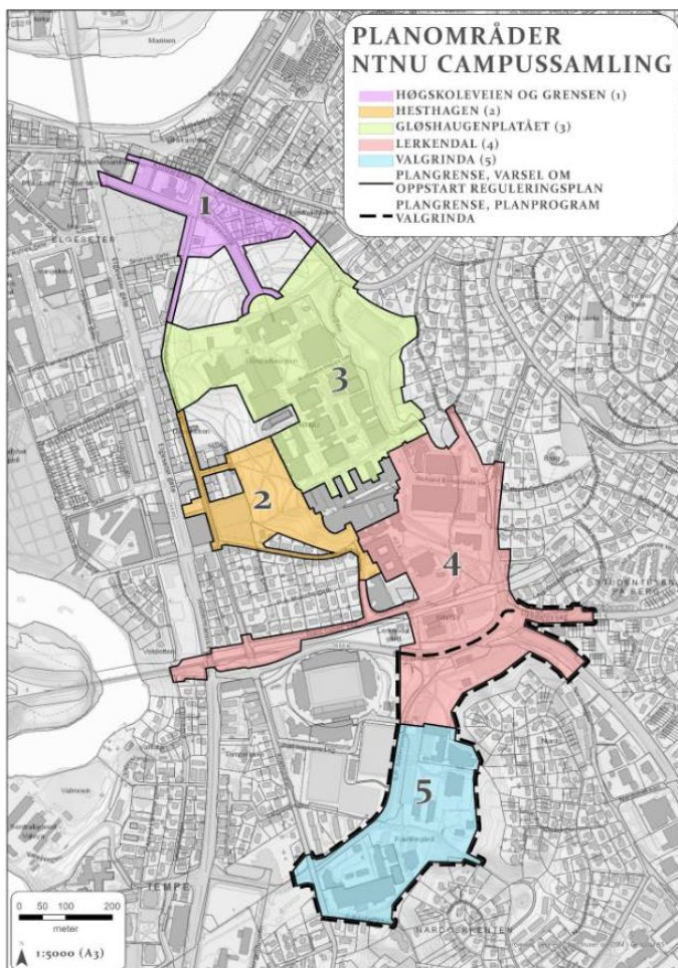
NTNU planlegger en langsiktig utvikling av campus Gløshaugen. Utviklingen innebærer blant annet etablering av en rekke universitetsbygg innenfor flere delområder. Denne rapporten omhandler prosjekter innenfor delområde 3, DO3. Figur 1-1 viser det aktuelle delområdet.

Delområde 3 er avgrenset av Høgskoleveien mot nord, Tidemands gate og Christian Frederiks og Eidsvolls gate mot øst, Klæbuveien mot vest og Sem Sælands vei mot sør.

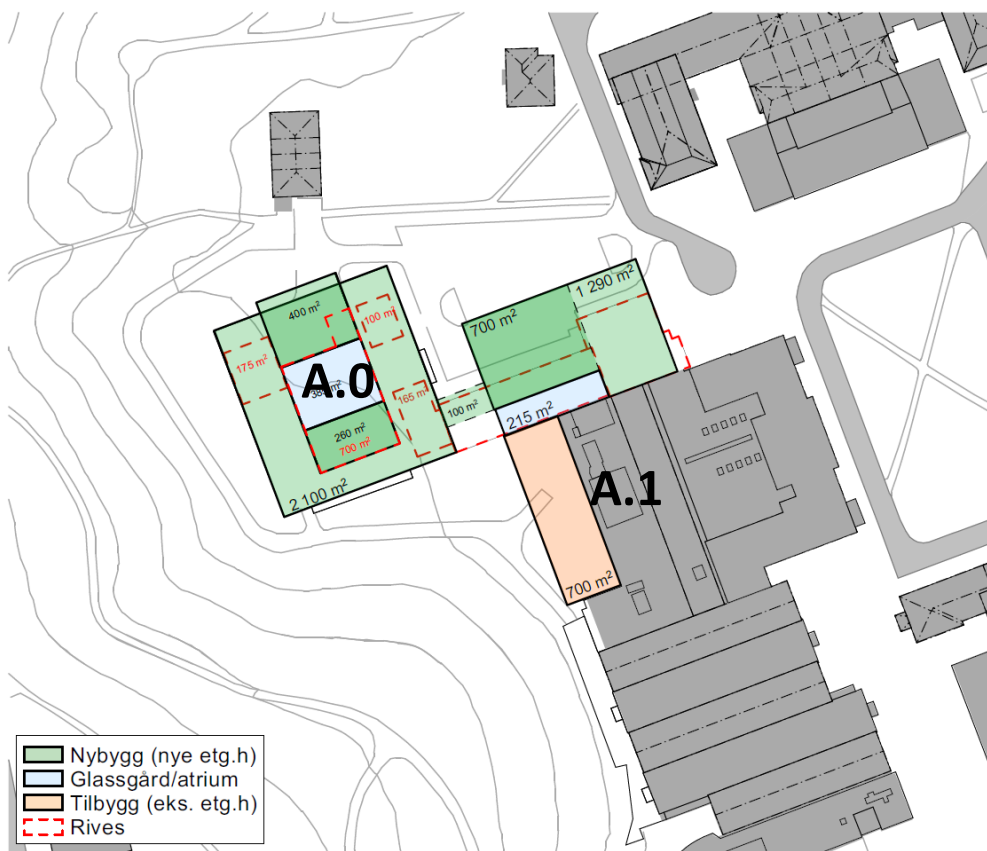
Multiconsult er engasjert for å utføre en vurdering av områdestabiliteten i forbindelse med den planlagte utviklingen, samt vurdere utfordringer knyttet til gjennomførbarhet ved utbygging på tomtene A.0, A.1 og C.2.

Foreliggende rapport omfatter vurderinger av områdestabilitet etter NVEs veileder nr. 1/2019 [1] for tomtene A.0, A.1 og C.2. Vurderingene har et detaljeringsnivå tilsvarende detaljregulering. Figur 1-2 til figur 1-4 viser en oversikt med navn på de ulike tomtene i DO3.

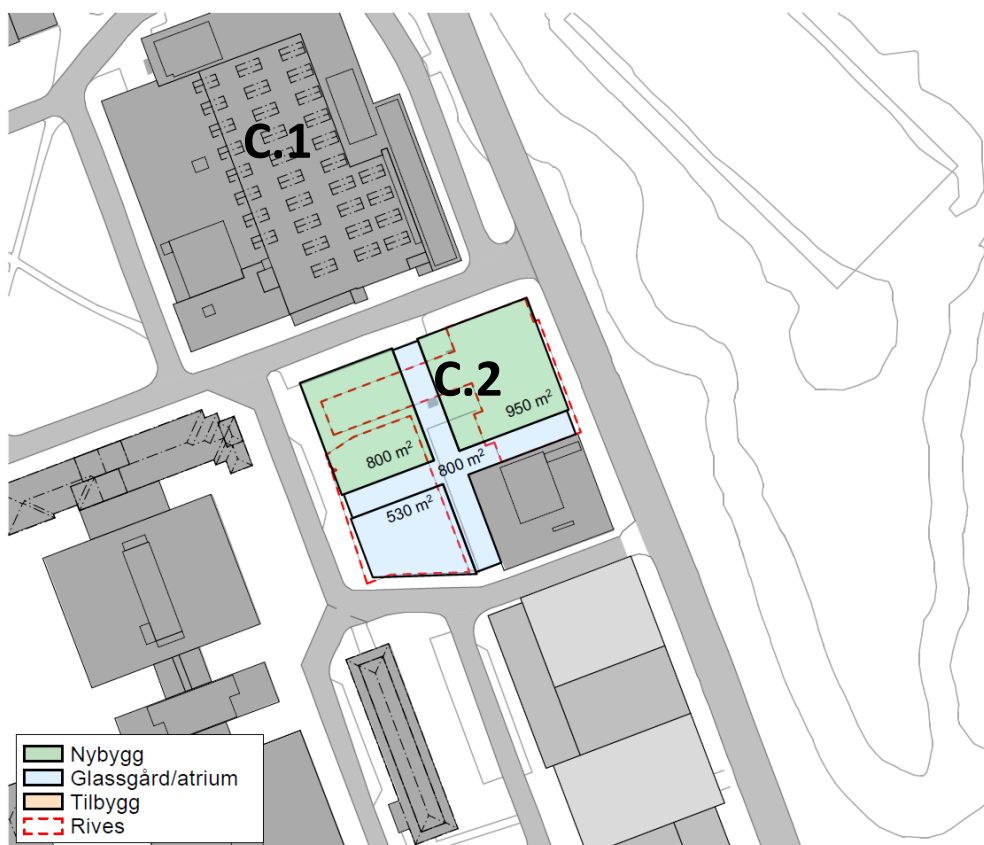
Rambøll utfører vurdering for tomtene X.0 (Hovedbygningen), B-rekka med sentralblokkene, og C.3 og C.4, som vist i figur 1-4. Vurderingen er presentert i Rambøll sin rapport nr. 1350041580-G-rap-003 [2].



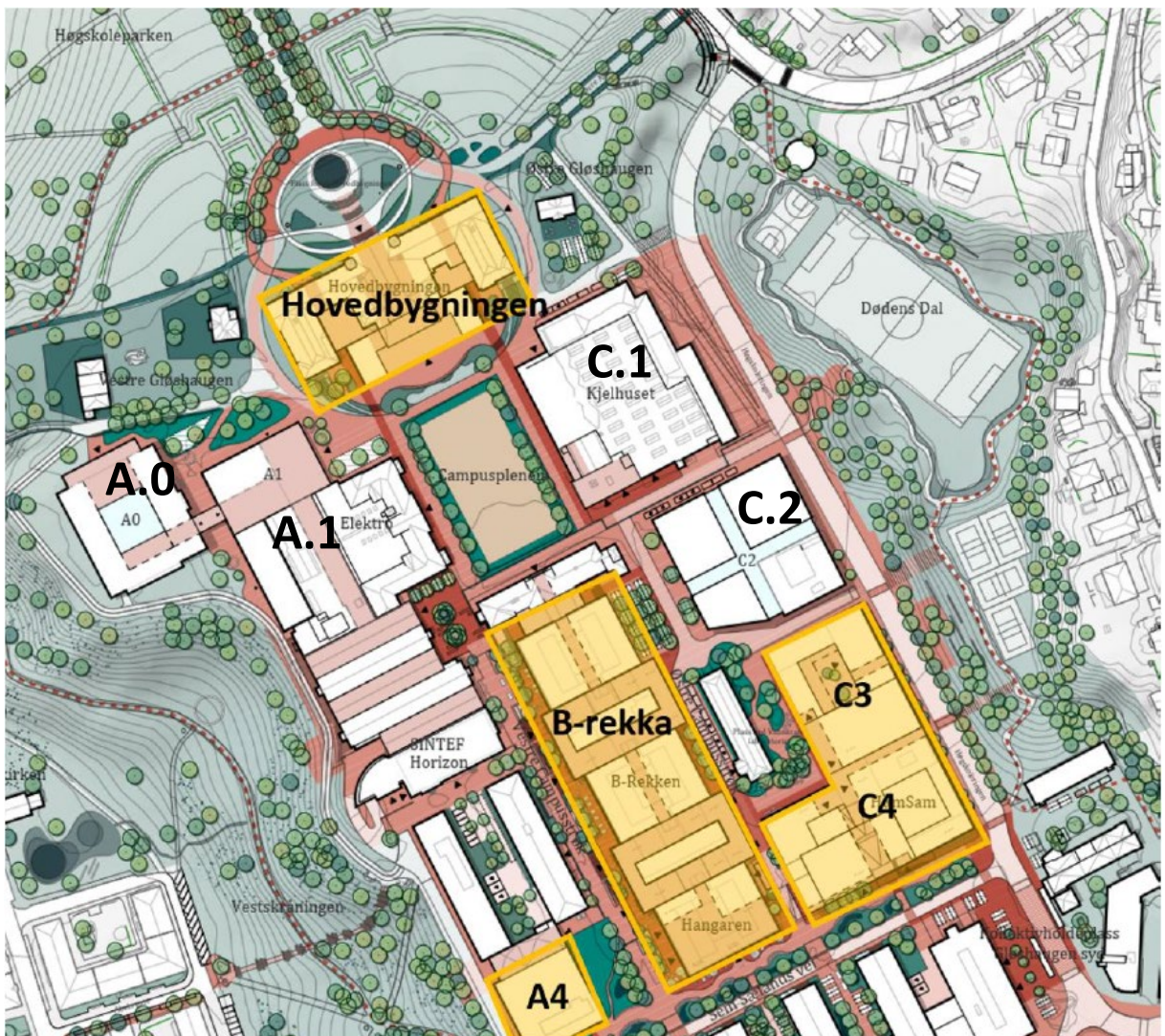
Figur 1-1: Kart som viser delområdene 1-5 som inngår i NTNU Campussamling/Campusutvikling. Hentet fra Rambølls rapport 1350041580-G-rap-003 [2].



Figur 1-2: Plankart med skissert mulige tiltak på A0/A1-tomtene. Hentet fra mulighetsstudie utarbeidet av Lusparken Arkitekter. Datert 02.02.2022.



Figur 1-3: Plankart med skissert mulig tiltak på C2-tomten. Hentet fra mulighetsstudie utarbeidet av Lusparken Arkitekter. Datert 15.10.2021.



Figur 1-4: Plankart med oversikt over tomter vurdert av Rambøll. Hentet fra Rambølls rapport 1350041580-G-  
rap-003 [2].

## 1.2 Tiltakskategorier og relevante steg

Utviklingen omfatter en rekke universitetsbygg, og utredningen plasseres i tiltakskategori K4 i henhold til NVEs veileder nr. 1/2019 [1].

Gjeldende plannivå er detaljregulering. Arbeidet vil undersøke muligheter og begrensninger i plassering av ønskede bygningsvolumer sett ut fra problemstillinger knyttet til områdestabilitet.

Arbeidet tar for seg stegene beskrevet i tabell 3.1 i NVEs veileder nr. 1/2019 [1], se figur 1-5. Punkt 10 vil utredes på et overordnet nivå og må dokumenteres på nytt i en detaljprosjektering for de aktuelle byggene.

UTREDNING AV FARESØNNER AKTSOMHETS- OMRÅDER	Steg i prosedyren	Anbefalt detaljeringsnivå for arealplaner		
		Kommuneplan	Områderegulering	Detaljregulering
1	Undersøk om det finnes registrerte faresoner (kvikkleiresoner) i området	X	X	X
2	Avgrens områder med mulig marin leire	X	X	X
3	Avgrens områder med terreng som kan være utsatt for områdeskred	(x)	X	X
4	Bestem tiltakskategori	(x)	X	X
5	Gjennomgang av grunnlag	(x)	(x)	X
6	Befaring		(x)	X
7	Gjennomfør grunnundersøkelser		(x)	X
8	Vurder akjuelle skredmekanismer og avgrens løsne- og utløpsområder		(x)	X
9	Klassifiser faresoner		(x)	X
10	Dokumentér tilfredsstillende sikkerhet		(x)	X
11	Meld inn faresoner og grunnundersøkelser		(x)	X

Figur 1-5: Prosedyre for utredning av områdeskredfare iht. tabell 3.1 i NVEs veileder nr. 1/2019 [1].

## 2 Regelverk og krav

### 2.1 Relevant regelverk

Den planlagte utbyggingen av området må tilfredsstille følgende regelverk med hensyn til skredfare:

- TEK17 § 7-3 Sikkerhet mot skred
- TEK17 § 10-2 Konstruksjonssikkerhet

Kravene stilt i gjeldende regelverk med tanke på skredfare kan anses som tilfredsstilt der områdestabilitetsvurderinger er utført i henhold til NVEs retningslinjer nr. 2/2011 [3] med tilhørende veileder nr. 1/2019 [1].

I prinsippet skal lokalstabilitet av byggegrop/fundamentering etter Eurokode 7 [4] dokumenteres i byggesak, men det vil omtales her for enkelte tomter etter ønske fra oppdragsgiver og der det er spesielt relevant knyttet til gjennomføring av utbygging i plangrunnlaget.

### 2.2 Sikkerhetskrav

Vurderingen omfatter utbygging av universitetsbygninger og er plassert i tiltakskategori K4.

Sikkerhetskrav som listet opp under gjelder både for midlertidige og permanente faser.

For tiltak plassert i tiltakskategori K4, og som forverrer stabiliteten, stilles det krav til en absolutt sikkerhetsfaktor på  $F_{CU} \geq 1,4 * f_s$  i udrenert tilstand og  $F_{C\phi} \geq 1,25$  i drenert tilstand. Her er  $f_s = 1,15$  og representerer sprøhetsforholdet som korrigerer for sprøbruddeffekten i udrenerte beregninger, der det er sprøbruddmateriale/kvikkleire.

For tiltak som ikke forverrer stabiliteten stilles det krav til sikkerhet på  $F_{CU} \geq 1,4$  i udrenert tilstand og  $F_{C\phi} \geq 1,25$  i drenert tilstand. Disse kravene sammenfaller med krav til lokalstabilitet etter Eurokode 7 [4].

Dersom beregnet sikkerhet er lavere enn kravene kreves det økning av sikkerhetsfaktoren, fortrinnsvis til det gjeldende absolutte sikkerhetsnivå. Prosentvis økning basert på faregrad og beregnet sikkerhet kan også benyttes i enkelte tilfeller.

Der skråninger i faresonen ligger utenfor tiltakets influensområde, stilles det krav til langtidsstabilitet og robusthet på henholdsvis  $F_{C\phi} \geq 1,25$  og  $F_{CU} \geq 1,2$ . Dersom beregnet sikkerhet er lavere enn krav til langtidsstabilitet og robusthet kreves det prosentvis økning basert på faregrad og beregnet sikkerhet.

Erosjon i området må forebygges dersom dette kan utløse skred som igjen kan ramme tiltaket. Det skal her gjøres en vurdering av alle relevante løsne- og utløpsområder for skråninger hvor erosjon kan utløse skred.

#### 2.2.1 Spesielle forhold knyttet til tomrene A.0 og A.1

Basert på tidligere antagelser om utbredelse av sprøbruddmateriale på Gløshaugplatået presentert i rapport 415913 [5], Norconsults tolkning av sprøbruddmateriale like sør for tomt A.0 og A.1 i forbindelse med vurderingsarbeid for SINTEF Horizon [6], samt supplerende grunnundersøkelser utført av Multiconsult i forbindelse med dette prosjektet, er det konservativt antatt at det kiles ut en lomme med sprøbruddmateriale/kvikkleire fra øst mot vest under tomt A.1. Laget med sprøbruddmateriale kiles ut da det fra grunnundersøkelser ikke er påvist kvikkleire fra opptatte prøver i borpunkt MC14-43.

Det vurderes at muligheten for områdeskred, og dermed tilhørende nødvendig sikkerhetskrav etter NVE 1/2019 ikke er relevant, da det er ingen eller svært lite sprøbruddmateriale involvert i kritisk glideflate. Det er dermed vurdert at det ikke vil forekomme en retrogressiv skredutvikling, og det er ikke fare for områdeskred etter definisjonen i NVE 1/2019

Krav til sikkerhet for skråningen fra tomtene A.0 og A.1 ned mot Klæbuveien anses å være tilfredsstilt ved å oppfylle krav gitt i Eurokoden,  $F_{cU} \geq 1,4$  og  $F_{c\phi} \geq 1,25$ .

### 2.3 Uavhengig kvalitetssikring

I tiltakskategori K4 stilles det krav til uavhengig kvalitetssikring av vurderingene etter NVEs veileder nr. 1/2019. I prinsippet gjelder det kun tomt C.2 i dette vurderingsarbeidet, da det i avsnitt 2.2.1 er argumentert for at NVE 1/2019 ikke gjelder for tomt A.0 og A.1. Det anbefales likevel at denne tolkningen av regelverket underlegges samme uavhengig kvalitetssikring.

## 3 Grunnlag

### 3.1 Topografi

Delområde 3 strekker seg fra Høgskoleveien i nord til Sem Sælands vei i sør, og er i tillegg omkranset av Klæbuveien mot vest, Tidemands gate og Christian Frederiks og Eidsvolls gate mot øst.

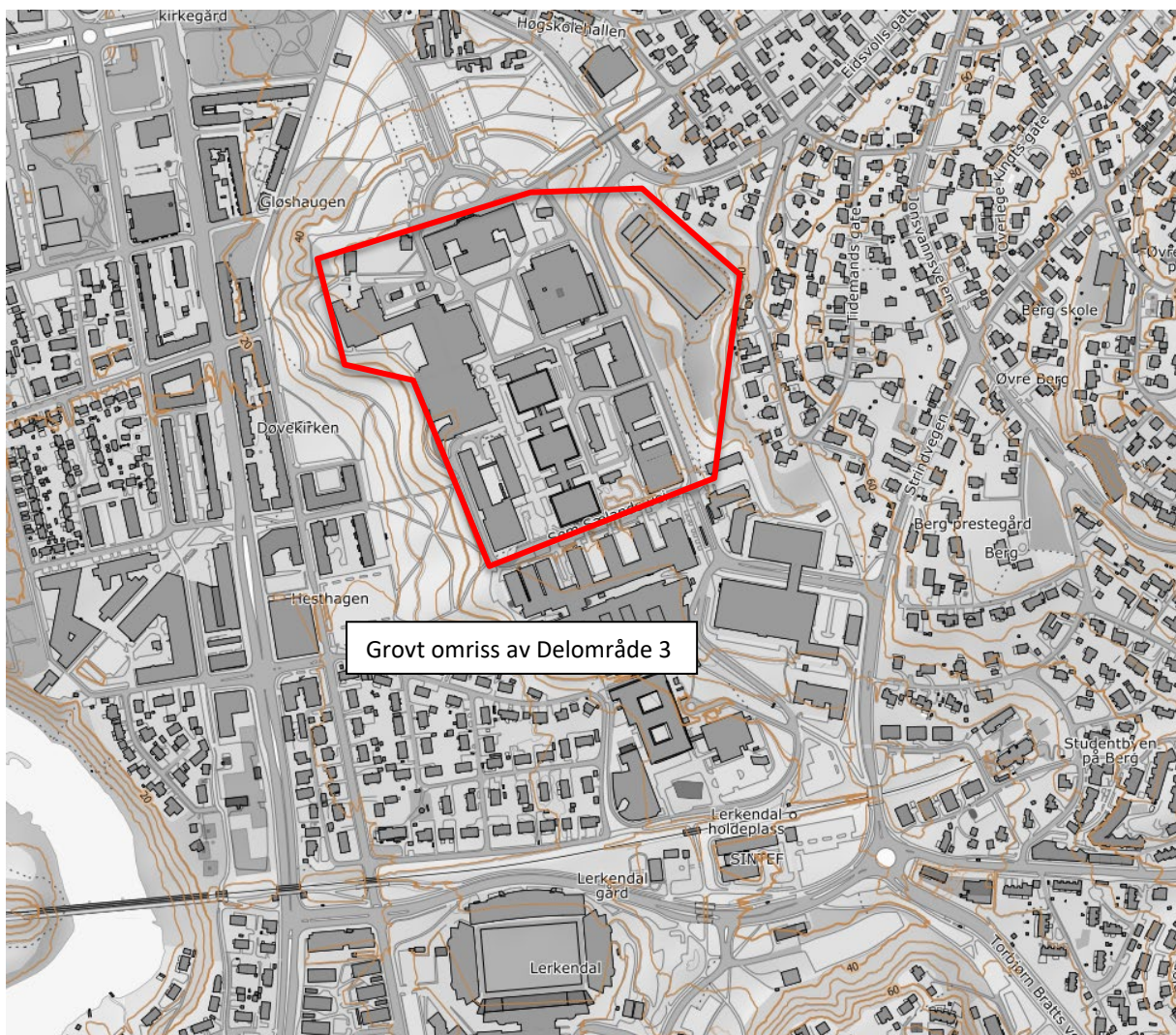
Delområdet ligger på toppen av et platå (Gløshaugen) med fallende terreng mot sidene, henholdsvis mot nord, vest og øst. Platået ligger ca. på kote +45-48.

Generelt faller terrenget mot nord fra ca. kote +45 til ca. kote +22, med en helning på ca. 1:8.

Mot øst, ned mot Dødens Dal, faller terrenget med en helning på ca. 1:5 fra ca. kote +46 til ca. kote +35.

Mot vest, ned mot Klæbuveien, faller terrenget med en helning på ca. 1:4,4 fra ca. kote +46 til ca. kote +21.

Mot sør, på andre siden av Sem Selands vei, ligger delområde 4. For en beskrivelse av dette området vises det til rapport 10215021-06-RIG-RAP-001 [7].



Figur 3-1: Oversiktsbilde over området, hentet fra Høydedata.no [8]. Omrentlig avgrensning av planområdet er markert med rødt.

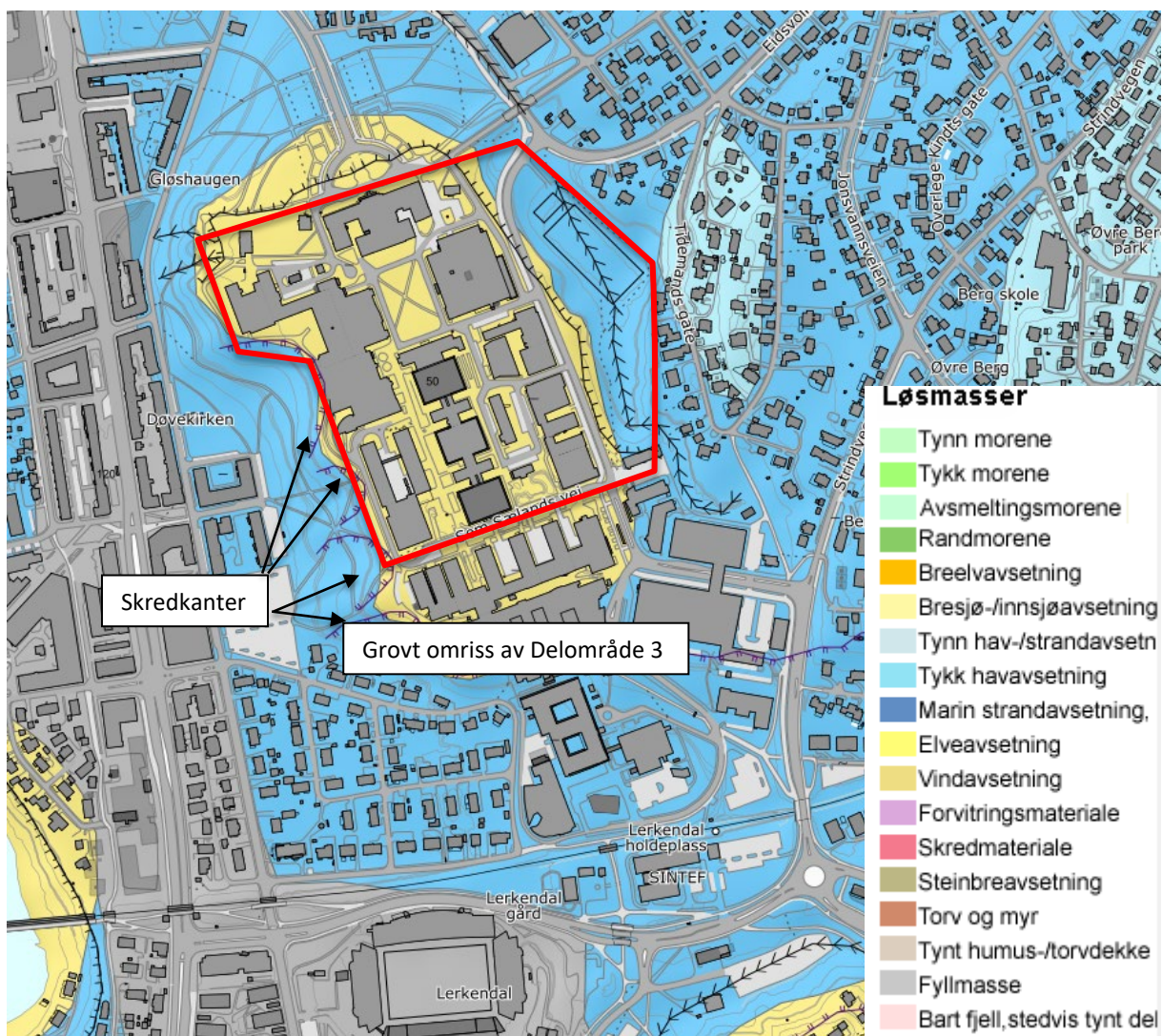
### 3.2 Kvartærgeologisk kart og marin grense

Det kvartærgeologiske kartet over området, se figur 3-2, viser at massene i området hovedsakelig består av elveavsetninger over marine avsetninger. I områder hvor det er markert marine avsetninger kan det forventes å finne finkornige masser som silt og leire, mens det i områder markert med elveavsetninger kan forventes å finne grovere masser som sand og grus.

Det bes merke at det kvartærgeologiske kartet i liten grad er basert på utførte grunnundersøkelser og derfor ikke inneholder informasjon om løsmassenes art i dybden.

Delområdet for den planlagte utbyggingen ligger under marin grense. Kvikkleire og sprøbruddmateriale kan forekomme i marine avsetninger under marin grense.

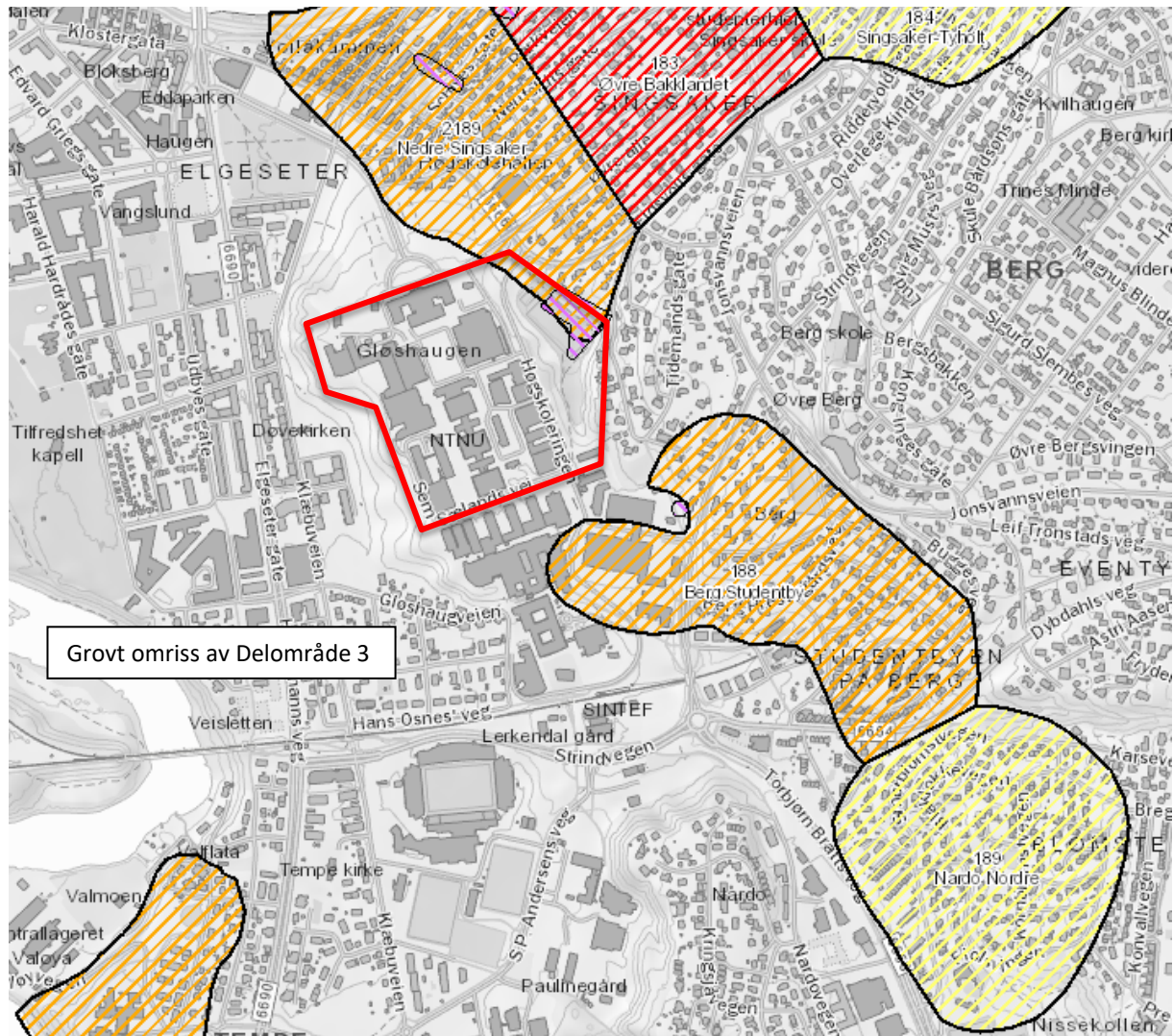
Figur 3-2 viser antatt tidligere skredaktivitet i området på vestsiden av Gløshaugplatået, markert med skredkanter i løsmassekartet.



Figur 3-2: Kvartærgeologisk kart over området, hentet fra NGUs løsmassekart [9]. Omrentlig plassering av delområdet er markert med rødt.

### 3.3 Registrerte kvikkleiresoner

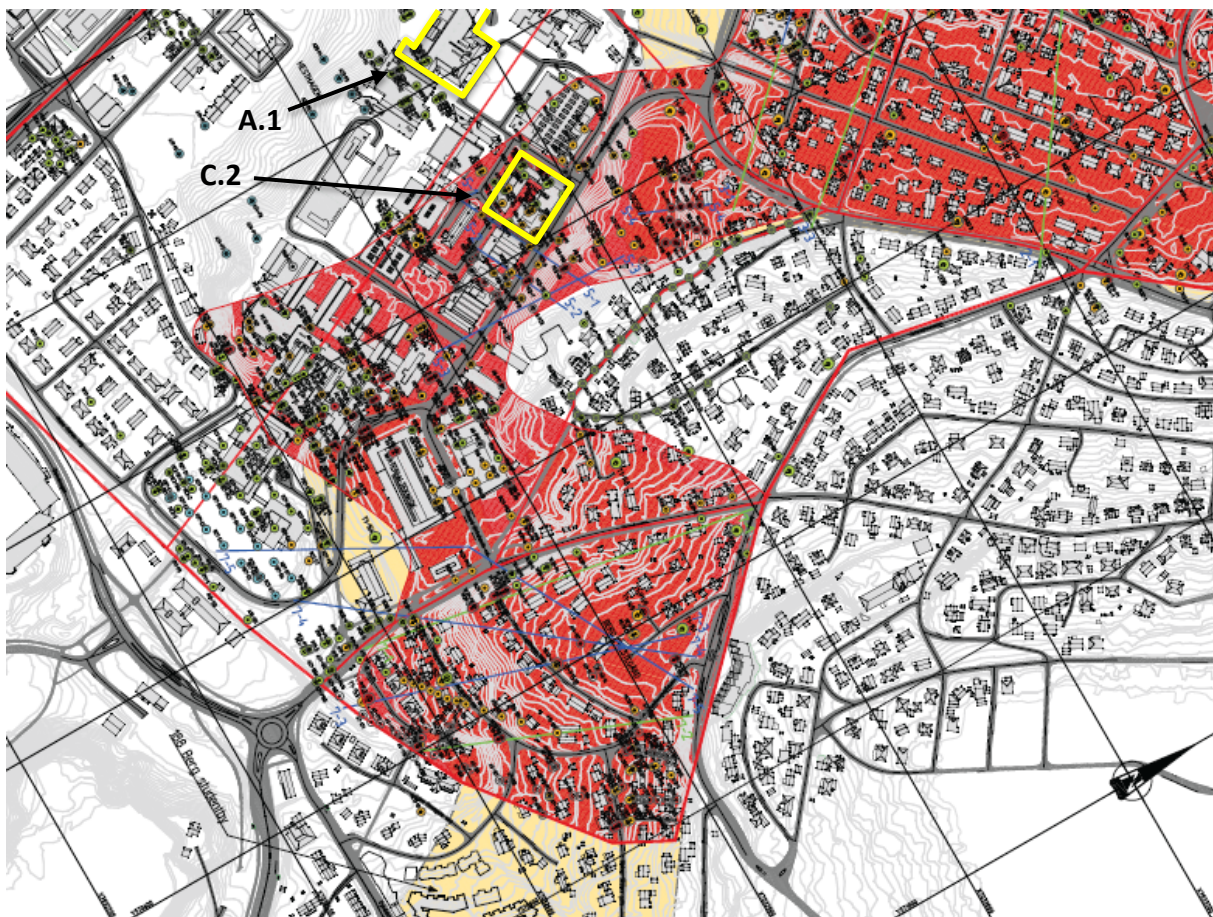
Ifølge NVE Temakart, som figur 3-3 viser, ligger delområde 3 like nordvest for kvikkleiresone 188 Berg Studentby, og akkurat innenfor den sørlige delen av kvikkleiresone 2189 Nedre Singsaker. Faresone 188 Berg Studentby er klassifisert med faregrad «middels» og konsekvens «meget alvorlig» og plassert i risikoklasse 4, mens faresone 2189 Nedre Singsaker er klassifisert med faregrad «middels» og konsekvens «meget alvorlig» og plassert i risikoklasse 5.



Figur 3-3: Kartlagte faresoner for kvikkleireskred, registrerte kvikkleirepunkter og tidligere skredhendelser, hentet fra NVE Temakart [10]. Omtentlig plassering av delområdet er markert med rødt.

Multiconsult utførte i 2014 en vurdering av kvikkleireområdet Gløshaugen-Bakklandet på oppdrag for Trondheim kommune, Studentsamskipnaden i Trondheim og NTNU. Vurderingen innebar en utredning av områdestabiliteten i området, og det ble i den sammenheng utført en detaljert utredning av forekomsten av kvikkleire ut fra alt tilgjengelig grunnlag. Resultatene fra denne utredningen er presentert i Multiconsult rapport nr. 415913-RIG-RAP-002 [5], og et utsnitt fra tegning nr. 415913-RIG-TEG-005 som viser tolket utstrekning av kvikkleire i området er vist i figur 3-4.

En oppdatert vurdering av kvikkleiresonen ble utført av Multiconsult i 2017/2018 og er presentert i notat 10200316-RIG-NOT-002 [11].



Figur 3-4: Utsnitt fra tegning nr. 415913-RIG-TEG-005 som viser tolket utstrekning av kvikkleire. Omtrentlig plassering av aktuelle tomter markert med gult.

### 3.4 Grunnundersøkelser

#### 3.4.1 Tidligere utførte grunnundersøkelser

Tidligere relevante utførte grunnundersøkelser i området er listet opp i tabell 3-1. For flere detaljer rundt kjente utførte grunnundersøkelser i delområdet vises det til tegning nr. 10215021-06-RIG-TEG-001.3.

Tabell 3-1: Tidligere relevante utførte grunnundersøkelser i delområde 3.

Firma	Oppdragsgiver	Oppdragsnavn	Oppdragsnummer	Dato	Ref.
NGI	Plankomiteen for Elektro og Elektrisitetsforsyningens Forskningsinstitutt – NTH	Grunnundersøkelser og stabilitetsberegninger for skråningen på vestsiden av Gløshaugplatået i Trondheim	O.268	12.01.1956	[12]
NGI	Byggkomite Kjemi	Supplerende undersøkelse på vestsiden av Gløshaugplatået vest for kjemiblokkene	O.268.2	05.05.1956	[13]
Norconsult	SINTEF Energi	SINTEF Energi – Geoteknisk datarapport	5175072-RIG03	04.07.2019	[14]

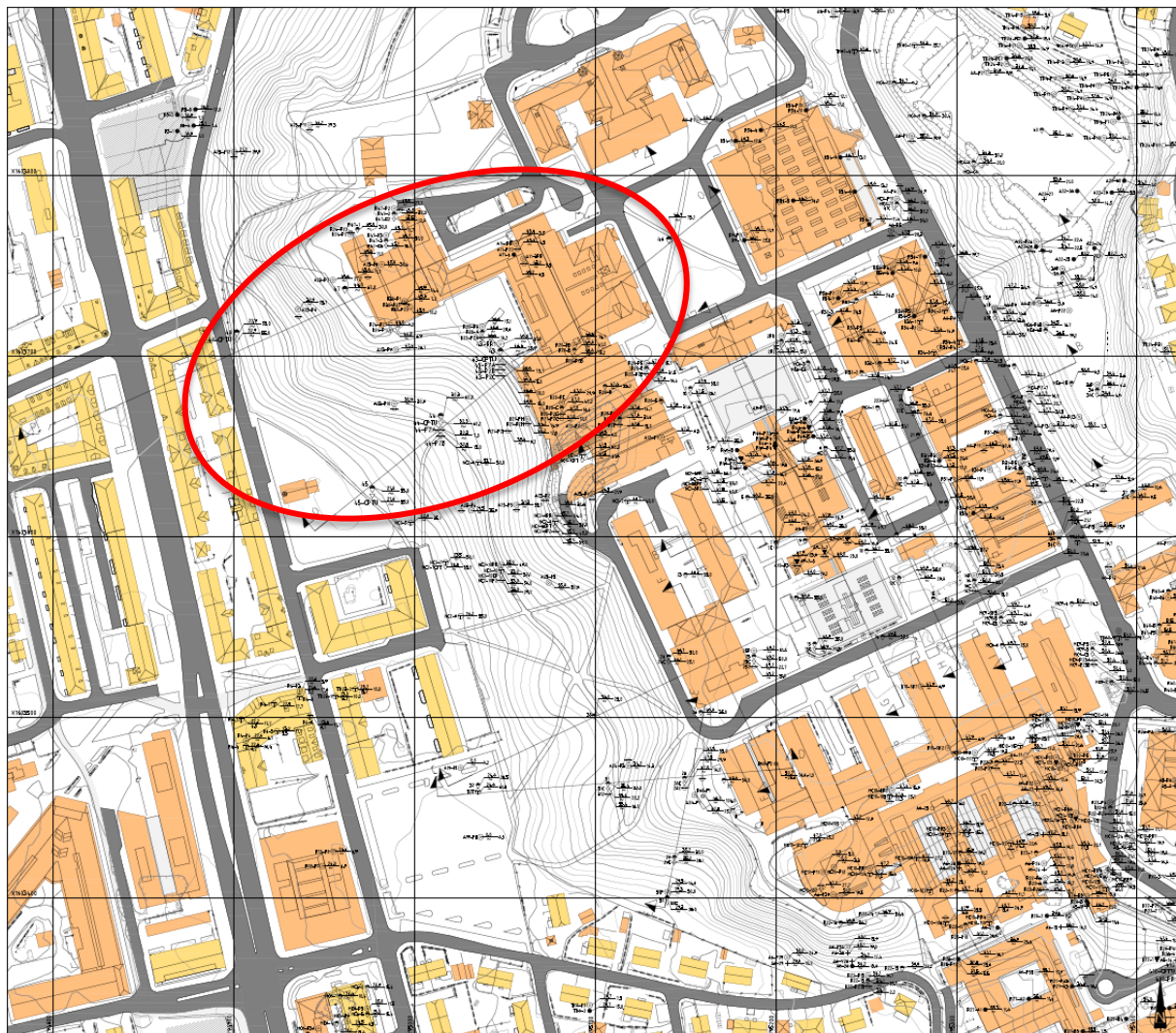
Norconsult	SINTEF Energi	SINTEF Energi Gløshaugen – Geoteknisk datarapport – Grunnundersøkelser i skråning mot vest	5175072-RIG13	10.06.2020	[15]
Rambøll/ Kummeneje	Statens Bygge- og Eiendomsdirektorat	NTH – Elektroteknisk avdeling og Elektrisitets- forsyningens Forskningsinstitutt – Grunnundersøkelser for tilbygg	o.3493	01.04.1981	[16]
Rambøll/ Kummeneje	Statens Bygge- og Eiendomsdirektorat	NTH – Elektroteknisk avdeling. Nybygg/tilbygg. Supplerende grunnundersøkelser med stabilitetsvurdering	o.5027	30.10.1984	[17]
Rambøll/ Kummeneje	Harboe og Leganger	NTH – Elektroblokk D og påbygg av Akustisk laboratorium – Grunnundersøkelse og fundamentering	O.644-2	20.10.1967	[18]
Rambøll	SINTEF Eiendom	SINTEF, Elektro H – Grunnundersøkelser – Datarapport	690090	22.06.2009	[19]
Rambøll/ Kummeneje	NTNU	NTNU – Institutt for Produktdesign – Grunnundersøkelser – Geoteknisk vurdering	11291	13.03.1996	[20]
Rambøll/ Kummeneje	NTNU, Teknisk avdeling	NTNU – Bygg P15 – Grunnundersøkelser – Geoteknisk vurdering	600271	07.09.2020	[21]
Rambøll/ Kummeneje	Stensrud og Danielsen A/S	Kjelhuset, NTH – Ombygging – Grunnundersøkelse. Geoteknisk vurdering	10665	06.03.1995	[22]
Multiconsult	COWI	NTNU, vurdering av byggbarhet – Datarapport – Geotekniske grunnundersøkelser	10215021-RIG- RAP-001_rev01	19.02.2020	[23]
Multiconsult	SINTEF/NTNU	Solbygget, Gløshaugen – Datarapport grunnundersøkelser. Beskrivelse av grunnforhold.	414034-1	29.09.2010	[24]

### 3.4.2 Supplerende grunnundersøkser

Multiconsult utførte supplerende grunnundersøkser i uke 1-4/2022 for tomte A.0 og A.1. Hovedfokuset ved de supplerende undersøkelsene har vært å avdekke kvikkleireforekomster og andre forhold som kan påvirke den planlagte utbyggingen. Resultatene av de utførte supplerende grunnundersøkelsene er vist i Multiconsults reviderte rapport nr. 10215021-01-RIG-RAP-001, rev02 [25].

#### Borplan

Plassering av de supplerende grunnundersøkelsene er vist i figur 3-5, innenfor det rødmarkerte området. De supplerende grunnundersøkelsene er markert med navn BP43 – BP48 i den seneste revisjonen av 10215021-01-RIG-RAP-001\_rev02 [25].



Figur 3-5: Borplan med utførte grunnundersøkser i delområde 3. Hentet fra tegning 10215021-01-RIG-TEG-001\_rev02.

### ***Utførte grunnundersøkelser***

Det er utført dreietrykksønderinger helt ned til 55 – 75 m dybde under terrenget, uten å treffe berg. Videre er det utført CPTU-sønderinger og prøveserier, samt at det er satt ned hydrauliske piezometre. For en grundigere beskrivelse av de utførte undersøkelsene, samt en oversikt over hvilke undersøkelser som er utført hvor, vises det til Multiconsult sin reviderte datarapport nr. 10215021-01-RIG-RAP-001, rev02 [25].

### ***Kvalitet av utførte grunnundersøkelser***

For en vurdering av kvaliteten på de utførte undersøkelsene vises det til Multiconsult sin reviderte datarapport 10215021-01-RIG-RAP-001, rev02 [25].

## **3.5 Grunnforhold**

Det er tidligere utført en rekke grunnundersøkelser. Grunnundersøkelser utført av Multiconsult i 2020 og 2022 er presentert og beskrevet i rapport 10215021-01-RIG-RAP-001\_rev02 [25].

### **Østsiden av Gløshaugplatået ved tomt C.2, borpunkt 37-42**

Grunnundersøkelsene viser at løsmassene i hovedsak består av lagdelinger av leire med innslag av silt. I topplaget indikerer prøveseriene og totalsonderingene at det er fyllmasse. Det er ved prøvetaking påvist kvikkleire i borpunkt 39.

### **Vestsiden av Gløshaugplatået ved tomt A.0/A.1, borpunkt 43-48**

Basert på utførte dreietrykksønderinger, i kombinasjon med resultater fra opptatte prøver i BP43, antas løsmassene i området generelt å bestå av lagdelte masser av sand, silt og leire ned til ca. 15 – 30 m dybde i de ulike borpunktene. Under de lagdelte massene består løsmassene antageligvis av mer homogen leire ned til avsluttede sonderinger mellom 55 – 75 m under terrenget.

## **3.6 Tidligere utredning av eksisterende faresoner**

Kvikkleiresone 188 Berg Studentby ble utredet med tanke på kvikkleireproblematikk og områdestabilitet etter NVEs daværende retningslinjer. Utredningen er utført av Rambøll for østre del av sonen i deres rapport nr. 6070721 [26] i 2008, og kvalitetssikret av Multiconsult i oppdrag nr. 413408 [27]. Se Rambøll sin rapport for detaljer rundt denne utredningen. Vestre del av sonen er utredet av Multiconsult i rapport nr. 413642-2 revisjon nr. 2 [28] og Multiconsult rapport nr. 10200155-RIG-RAP-002 revisjon nr. 1 [29].

I forbindelse med prosjektet NTNU Campusutvikling – Områdeplaner har Multiconsult på nytt vurdert områdestabilitetsproblematikk for potensielle utbygginger av NTNU innenfor, og i tilknytning til, kvikkleiresone 188 Berg studentby. De nye vurderingene er sammenfattet i rapport 10215021-06-RIG-RAP-001\_rev01 [7].

Kvikkleiresone 2189 Nedre Singsaker er vurdert av Multiconsult i 2011 [30], 2014 [5] og 2018 [11] i forbindelse med ulike prosjekter. Rapportene fra 2011 og 2014 er utført i forbindelse med et samarbeidsprosjekt mellom Trondheim kommune, SiT og NTNU hvor det er sett nærmere på områdestabiliteten for Gløshaugen-Bakklandet, mens rapporten fra 2018 er utført i forbindelse med SiTs utbyggingsplaner på fengselstomta og tilhørende ønske om ny vurdering av den gamle kvikkleiresonen 183 Øvre Bakklandet – Nedre Singsaker. Rapporten fra 2018 er kvalitetssikret av Watn Consult AS [31].

### 3.7 Utbyggingsplaner

Foreløpige planer for utbygging per 02.02.2022 er presentert nedenfor, og er utgangspunktet for videre vurdering av områdestabilitet.

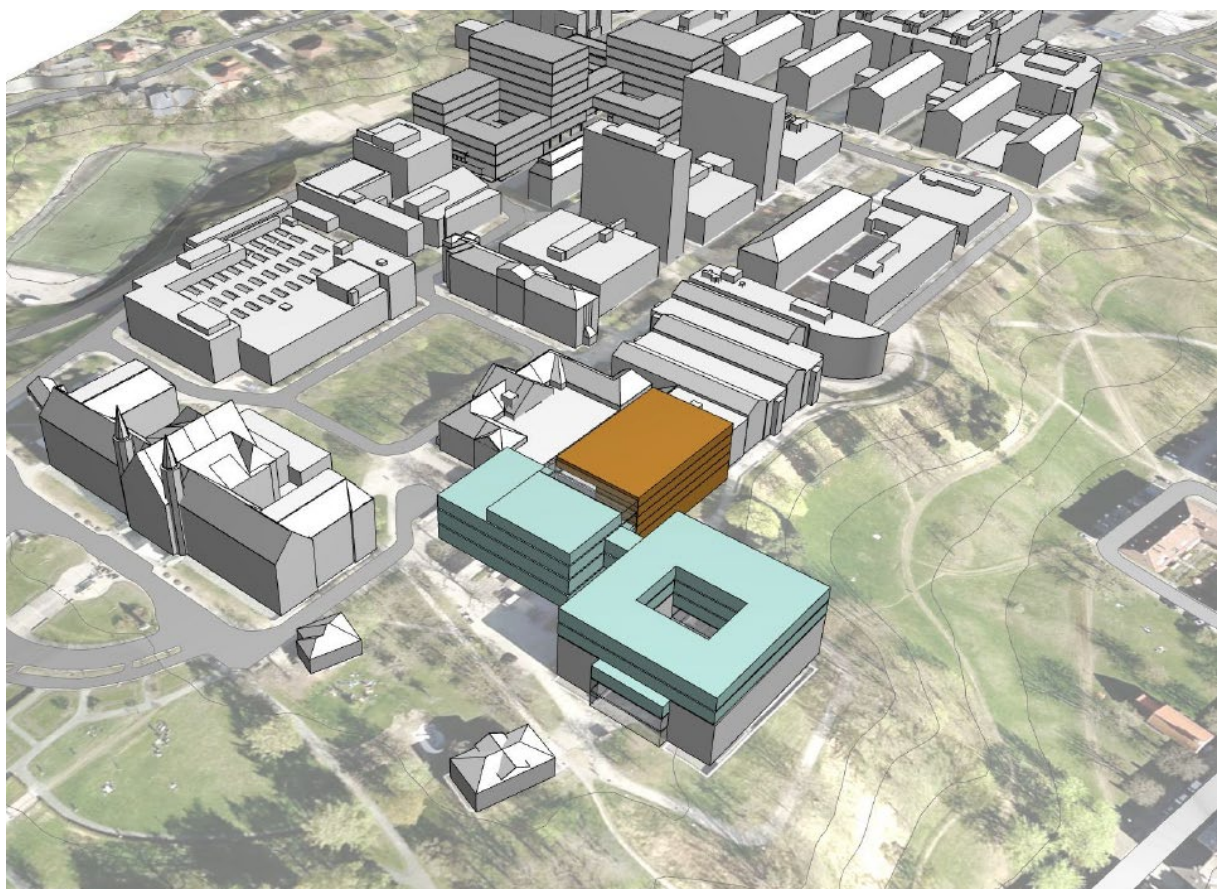
#### 3.7.1 A.0

For A.0 planlegges det påbygg på eksisterende bygg (Elektro D+B2 og Elektro C). Volum skissert i oversendt tegning med presentasjon av mulighetsstudie, utarbeidet av Lusparken Arkitekter, viser påbygg i opptil to etasjer over eksisterende bygg.

#### 3.7.2 A.1

For A.1 er det skissert delvis nybygg og delvis påbygg på eksisterende bygninger. Planlagt utbygging, markert med brun/oransje i figur 3-6, viser maksimalt volum fem etasjer på nybygget og to etasjer påbygg over eksisterende bygg.

Potensiell planlagt utbygging på tomt A.0 og A.1 er skissert i figur 3-6.



Figur 3-6: Utsnitt fra mulighetsstudie for tomt A.0 og A.1, alternativ E. Tegning utarbeidet av Lusparken Arkitekter, datert 02.02.2022.

### 3.7.3 C.2

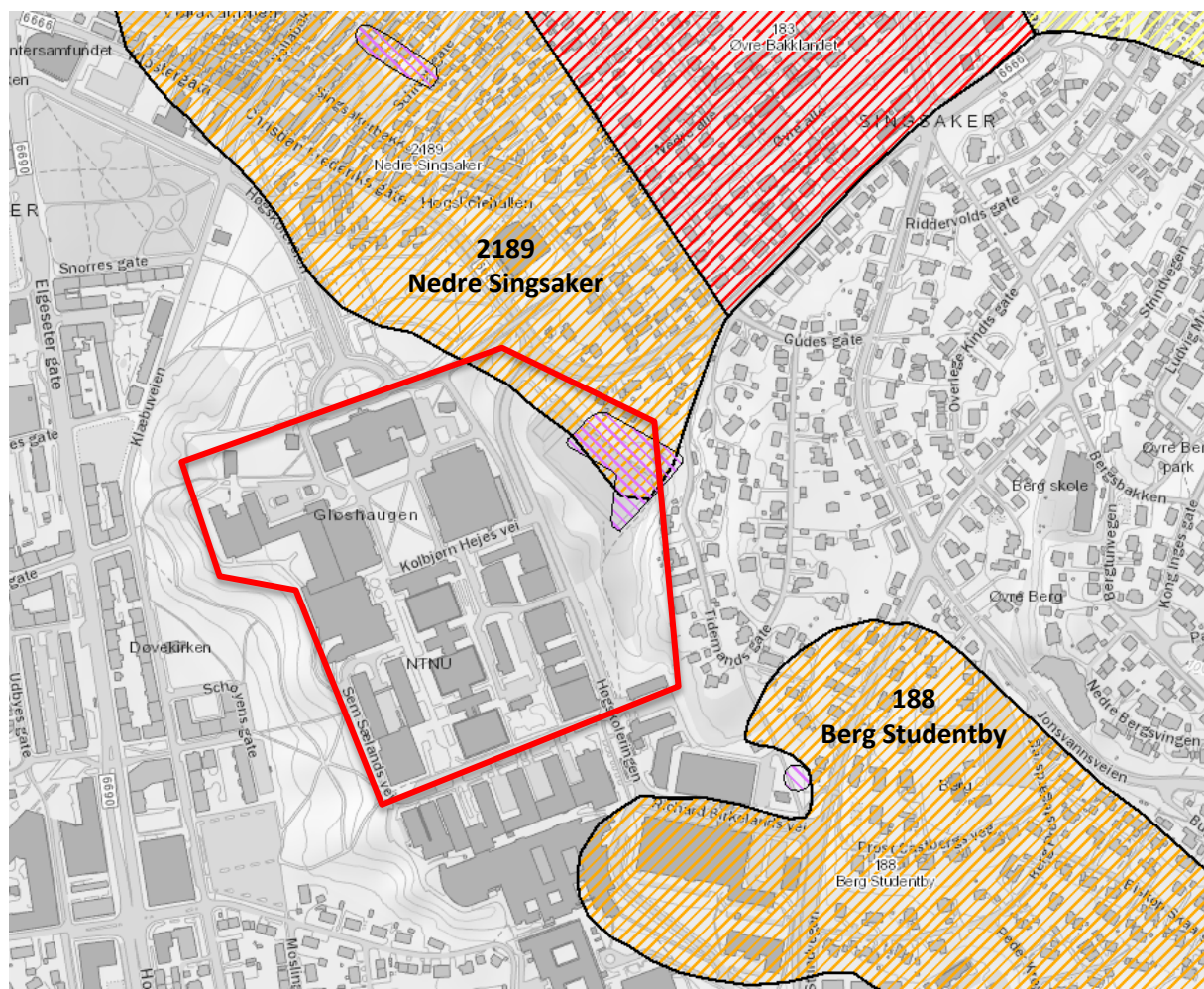
Potensiell planlagt utbygging på tomt C.2 er skissert i figur 3-7. Her er det sett på muligheten for et nybygg med inntil 7 etasjer.



Figur 3-7: Utsnitt fra mulighetsstudie for tomt C.2, alternativ C. Tegning utarbeidet av Lusparken Arkitekter, datert 15.10.2021.

## 4 Identifikasjon av kritiske skråninger og mulig løsneområde

I henhold til kapittel 4.2 i NVEs veileder nr. 1/2019 skal det innledningsvis forutsettes at retrogressive skred kan forekomme [1]. Potensielt størst mulig løsneområde skal avgrenses basert på en maksimal lengde av løsneområdet tilsvarende 15 ganger skråningshøyden. Nærrområdet er tidligere utredet med tanke på områdeskred, og opprettede faresoner, vist i figur 4-1, tas med videre i utredningen.



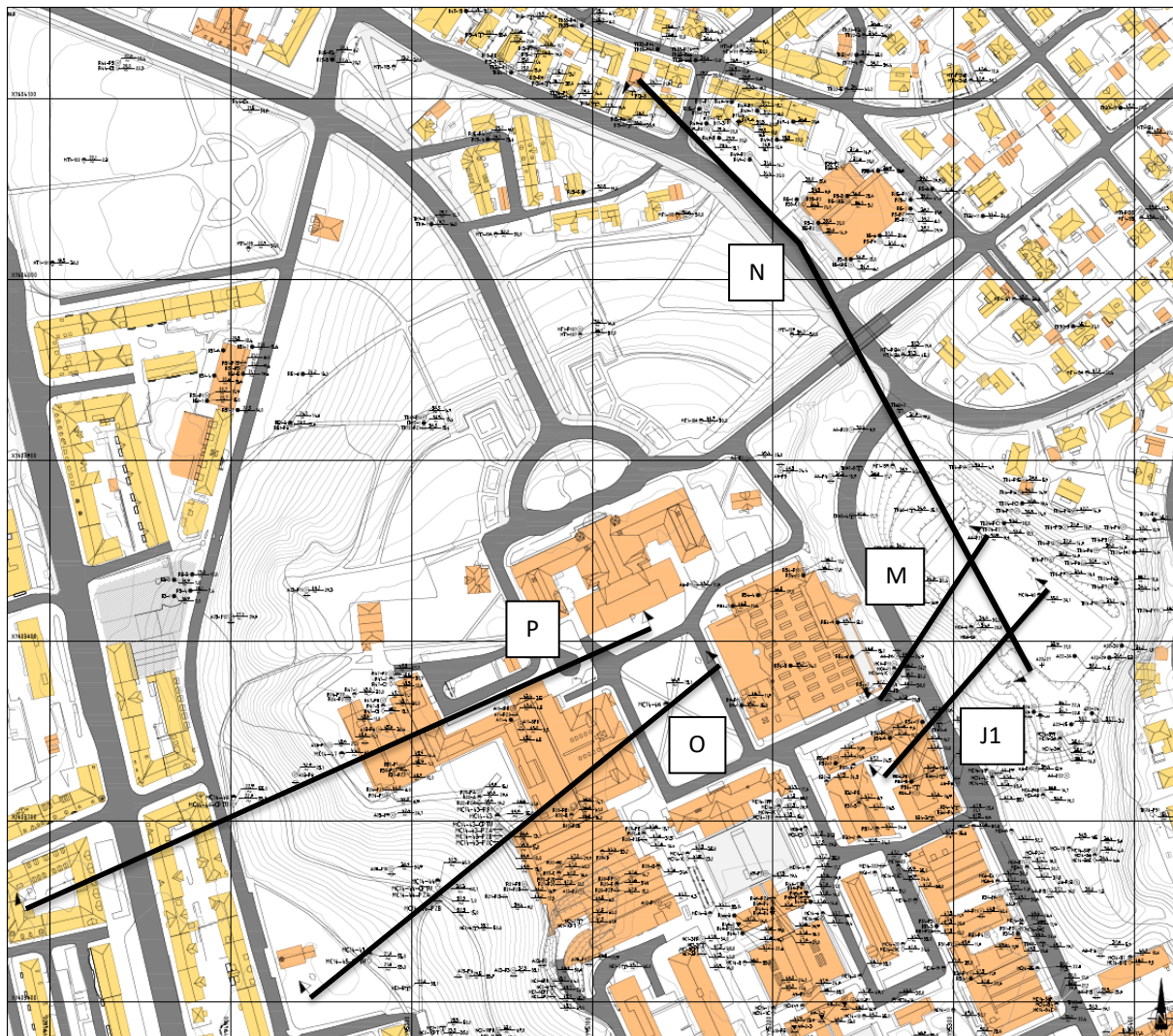
Figur 4-1: Aktuelle kvikkleiresoner i tilknytning til DO3 [10]. Omtentlig plassering av delområdet markert med rødt.

Profilene tegnet ut for vurderingene er vist i figur 4-2 og på tegning 10215021-06-RIG-TEG-001.3.

Profil J1 og M representerer den østlige delen av delområdet, og utbyggingsplanene på tomt C.2.

Profil O og P representerer den vestlige delen av delområdet, og utbyggingsplanene på tomten A.0/A.1.

Profil N representerer skråningen fra Dødens dal og nordover mot Nidelva.



Figur 4-2: Nye profiler for vurdering av områdestabilitet i DO3.

## 4.1 Grunnlag for valg av profiler

### 4.1.1 Profil J1

Profil J1 er valgt som kritisk profil for skråningen fra C.2-tomta, ved Høgskoleringen, og østover, ned mot Dødens dal. Profilet er lagt slik at det oppnås størst mulig høydeforskjell i kombinasjon med brattest mulig skråningshelning ned mot dalbunnen.

### 4.1.2 Profil M

Profil M er valgt for å verifisere tilfredsstillende sikkerhet mot skred i et kritisk snitt som ligger utenfor tiltakets influensområde, men innenfor et potensielt løsneområde. Profilet brukes også for en overordnet vurdering av tomt C.1

### 4.1.3 Profil N

Profil N presenterer skråningen fra baneområdet i Dødens dal, langs Christian Frederiks gate og ned mot Nidelva. Dette profilet er relevant ved behov for å fylle opp hele baneområdet av stabilitetsmessige årsaker.

#### **4.1.4 Profil O**

Profil O er valgt som representativt profil for potensiell utbygging på A.1-tomta. Profilet er lagt slik at en oppnår størst mulig høydeforskjell kombinert med brattest mulig skråning ned mot Klæbuveien.

#### **4.1.5 Profil P**

Profil P er valgt som representativt profil for potensiell utbygging på A.0-tomta. Profilet er lagt slik at en oppnår størst mulig høydeforskjell kombinert med brattest mulig skråning ned mot Klæbuveien.

## 5 Vurdering av områdestabilitet i Delområde 3

Det er utført stabilitetsberegninger for mulige tiltak i utvalgte profiler, presentert i kapittel 4. På bakgrunn av dette er stabiliteten vurdert opp mot krav iht. NVEs veileder nr. 1/2019, og eventuelle behov for stabiliserende tiltak. En sammenstilling av krav til sikkerhet og beregnet sikkerhet for potensiell utbygging og for situasjon med nødvendige stabiliserende tiltak er presentert i tabell 2.1 i vedlegg A.

Gitt at etasjeantall, kjellervolum og fundamentertilsløsning per nå ikke er låst er det valgt et designprinsipp for områdestabilitet som inkluderer en generell lastsituasjon som tar høyde for flere mulige løsninger, enten direktesfundamentering ved få antall etasjer, eller pelefundamentering ved flere etasjer. For beregningene er det derfor tatt utgangspunkt i en bygningslast på 50 kPa for å skape en robusthet og fleksibilitet for fremtidige bygg. Dette prinsippet samsvarer med Rambøll sine vurderinger for tomt C.3 og C.4.

Der sikkerheten er godt over gitte krav for områdestabilitet, er det sett på potensialet til utbyggingen på området ved å øke bygningslasten.

Vurdering av tiltak og begrensninger for utbygging på de ulike tomtene/profilene er omtalt i kapittel 7.

### 5.1 Profil J1 – Tomt C.2

Fra tidligere utførte grunnundersøkelser er det påvist kvikkleire/sprøbruddmateriale i området rundt tomt C.2.

En eventuell utbygging på tomt C.2 vil medføre en forverret situasjon sammenlignet med dagens, og en må dermed oppnå  $F_{Cu} \geq 1,6$  og  $F_{C\phi} \geq 1,25$  for å kunne realisere planene.

Stabilitetsberegninger viser at en potensiell utbygging på tomt C.2 ikke vil være gjennomførbar uten å utføre stabiliserende tiltak i forkant. Et forslag til stabiliserende tiltak kan være å etablere en motfylling i bunnen av skråningen ned mot Dødens dal. En mulig løsning/geometri er presentert i tegning 10215021-06-RIG-TEG-880.2, hvor det er anlagt en motfylling opp til ca. kote +37. Dette tilsvarer en terengheving på ca. 2 m. I praksis vil det være relevant å fylle opp hele baneområdet til samme kotenvå for å kunne bevare områdets funksjon.

### 5.2 Profil M – Tomt C.2 (C.1)

Fra tidligere utførte grunnundersøkelser er det påvist kvikkleire/sprøbruddmateriale i området rundt tomt C.2, og inn i profil M.

Profil M ligger utenfor et eventuelt tiltak på tomt C.2 sitt influensområde (2xH fra skråningstopp), og må derfor tilfredsstille krav til robusthet,  $F_{Cu} \geq 1,2$  og  $F_{C\phi} \geq 1,25$  etter NVE 1/2019.

I sammenheng med vurdering av områdestabilitet for tomt C.2 har vi også sett på helheten av skråningen fra Høgskoleringen ned mot Dødens dal. Når det først må utføres stabiliserende tiltak for utbygging på tomt C.2, er det naturlig å inkludere vurderinger for resterende skråning mot nord, og potensiell utbygging på tomt C.1.

Avhengig av det planlagte tiltakets utbredelse og lastbilde, vil en eventuell utbygging på tomt C.1 influere skråningen i profil M, og aktuelle krav i NVE 1/2019 må tilfredsstilles. Ved forverring i forbindelse med potensiell utbygging på tomt C.1 stiller NVE 1/2019 krav til sikkerhet på  $F_{Cu} \geq 1,6$  og  $F_{C\phi} \geq 1,25$ .

Det er tatt utgangspunkt i en forverring for å ivareta en fleksibilitet for en potensiell videre utvikling av tomt C.1. Krav om  $F_{CU} \geq 1,6$  og  $F_{C\phi} \geq 1,25$  er derfor lagt til grunn for våre vurderinger. Dette må optimaliseres videre når det foreligger mer konkrete planer for utbygging på tomt C.1.

Stabilitetsberegninger viser en sikkerhet på  $F_{CU} = 1,30$  og  $F_{C\phi} = 1,58$  for dagens situasjon. Det må dermed utføres stabiliserende tiltak for å oppnå tilfredsstillende sikkerhet iht. kravene gitt i NVE 1/2019. I likhet med profil J1 kan stabiliserende tiltak være å etablere en motfylling i bunnen av skråningen ned mot Dødens dal. En mulig løsning/geometri er presentert i tegning 10215021-06-RIG-TEG-881.2, hvor det er anlagt en motfylling opp til ca. kote +37. Dvs. at tiltak med oppfylling av baneområdet for å gi tilfredsstillende stabilitet for C.2, samtidig gir tilfredsstillende stabilitet for C.1.

### 5.3 Profil N

Profil N er vist med lagdeling i tegning 10215021-06-RIG-TEG-782. Det er antatt dyptliggende sprøbruddmateriale i retning I-Bygget og videre ned mot Nidelva. En oppfylling av hele baneområdet i Dødens dal må betraktes som en forverring hvis det gjøres som en ren oppfylling med konvensjonelle masser. Det må da dokumenteres tilfredsstillende sikkerhet etter NVE 1/2019 i dette profilet. Gitt skråningens slake helning (under 1:15) vurderes det her at tiltak med oppfylling av baneområdet er gjennomførbart hvis det utføres som «ikke forverring» av stabiliteten. Dvs. at det benyttes et kompensert prinsipp sammen med lettmasser. I en senere detaljeringsfase kan det dokumenteres med beregninger om et konvensjonelt tiltak med ren oppfylling også er gjennomførbart innenfor regelverkets krav.

### 5.4 Profil O – Tomt A.1

Fra tidligere utførte grunnundersøkelser, og supplerende grunnundersøkelser utført i forbindelse med dette prosjektet, er det konservativt tolket et tynt lag med kvikkleire/sprøbruddmateriale som kiler ut mot vest i profil O.

For profil O er det ingen eller svært lite sprøbruddmateriale som er involvert i en kritisk glideflate. Det vurderes at muligheten for områdeskred, og dermed tilhørende nødvendig sikkerhetskrav etter NVE 1/2019 ikke er relevant. Eurokodens krav til lokalstabilitet blir gjeldende, og aktuell utbygging må tilfredsstille krav til sikkerhet  $F_{CU} \geq 1,40$  og  $F_{C\phi} \geq 1,25$ .

Norconsult har i sin rapport nr. 5175072-RIG12 versjon 3 [6] vurdert skråningen videre sør for profilet. Det er her påvist en større mektighet av sprøbruddmateriale. Beregninger viser imidlertid at stabiliteten i skråningen tilfredsstiller kravene stilt i NVEs veileder nr. 1/2019. Det planlagte tiltaket på tomt A.1 kan dermed ikke rammes av et skred som starter i skråningen lenger sør.

### 5.5 Profil P – Tomt A.0

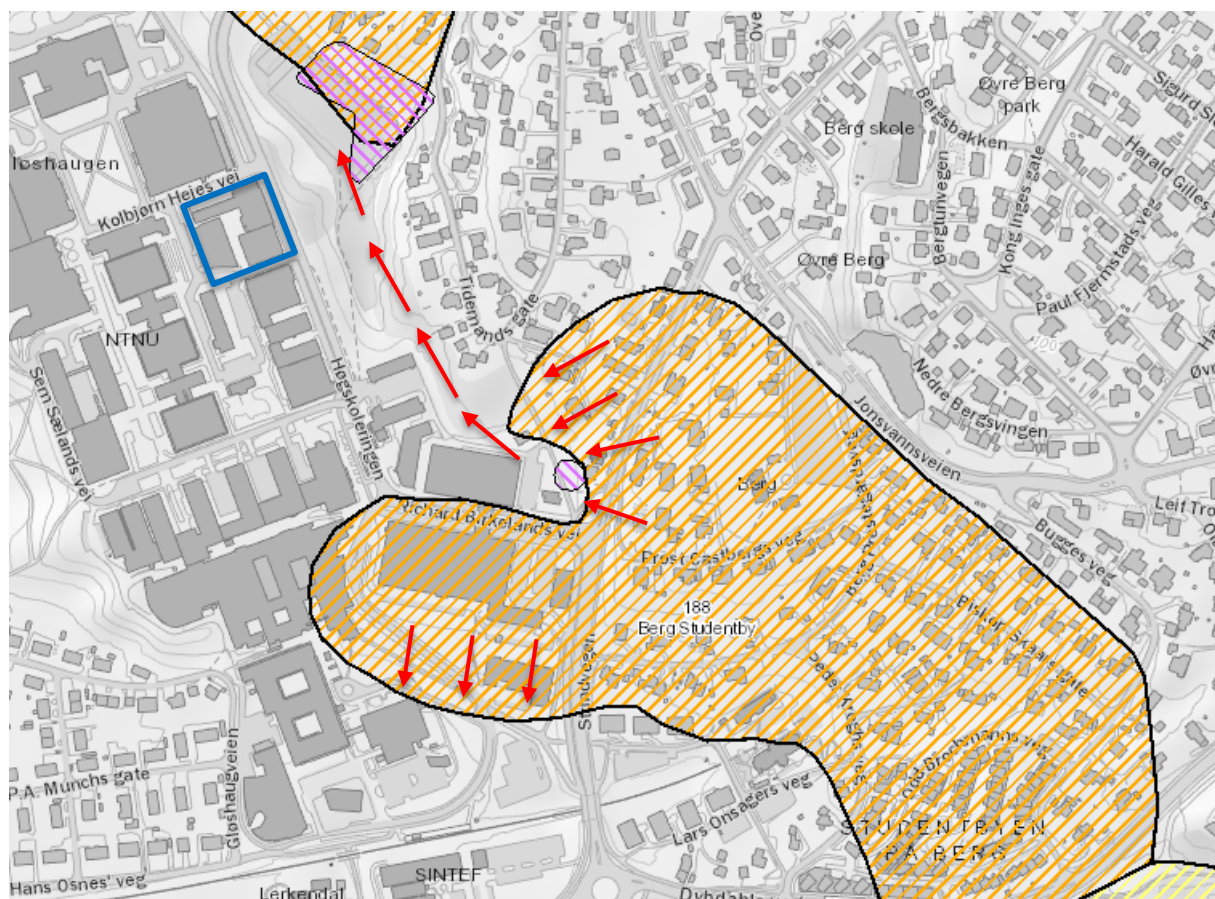
Fra tidligere utførte grunnundersøkelser, og supplerende grunnundersøkelser utført i forbindelse med dette prosjektet, er det ikke avdekket kvikkleire/sprøbruddmateriale i profil P. Eurokodens krav til lokalstabilitet blir gjeldende, og aktuell utbygging må tilfredsstille krav til sikkerhet  $F_{CU} \geq 1,40$  og  $F_{C\phi} \geq 1,25$ .

## 6 Utløpsproblematikk

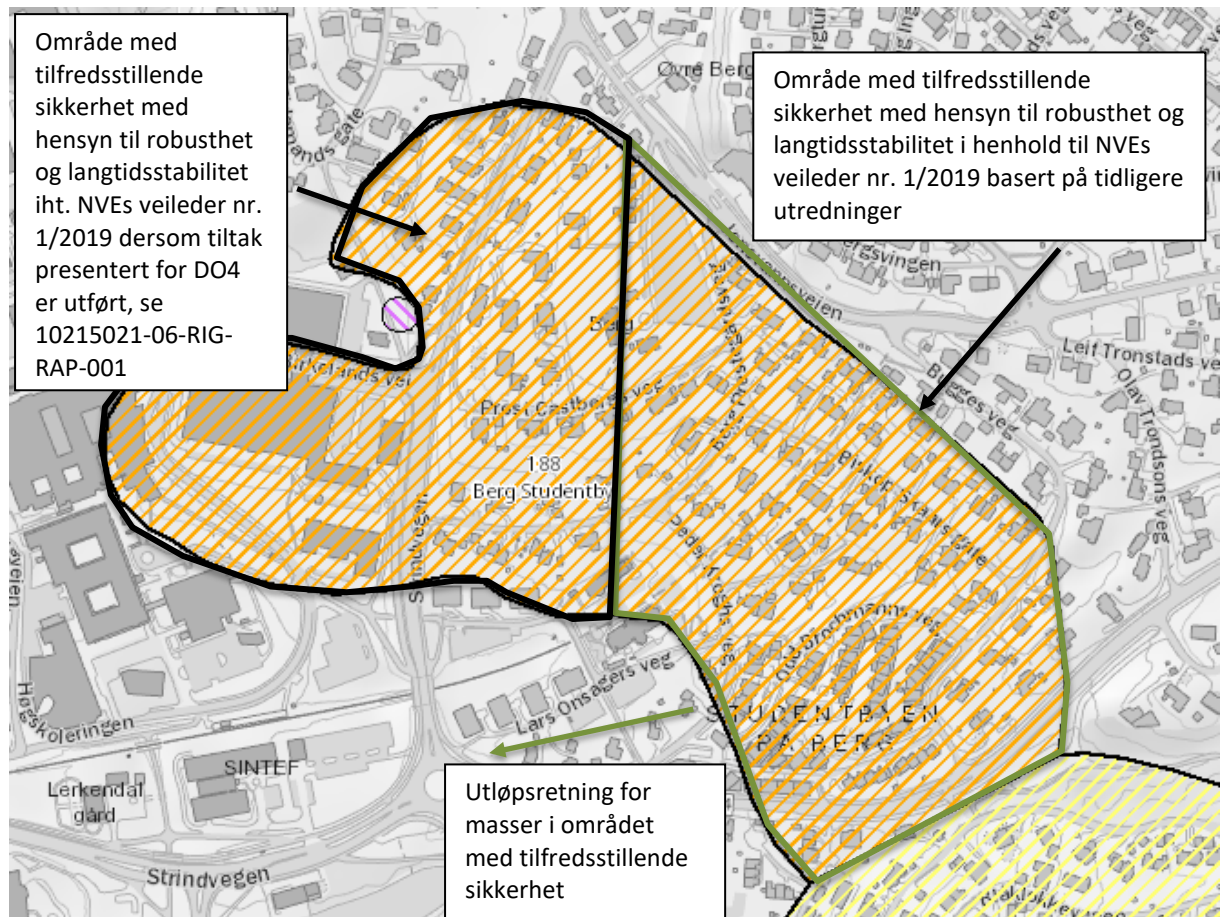
### 6.1 Kvikkleiresone 188 Berg Studentby

Området øst for Berg prestegård, innenfor kvikkleiresone 188 Berg Studentby, har potensielt utløpsområde i retning DO5, i motsatt retning av DO3. Stabiliteten i området er vurdert og funnet tilfredsstillende i henhold til NVEs veileder nr. 7/2014 [32] i Rambøll rapport nr. 6070721 [26], Multiconsult rapport nr. 413642-2 revisjon nr. 2 [28] og Multiconsult rapport nr. 10200155-RIG-RAP-002 revisjon nr. 1 [29]. Denne veilederen er nå erstattet av NVEs veileder nr. 1/2019 [1], hvor stabilitetskravet for skråninger som ligger utenfor tiltakets influensområde i en faresone er senket fra  $F_{CU}=1,4$  til  $F_{CU}=1,2$ , samt at reduksjonsfaktoren for udrenert skjærstyrke i sprøbruddmaterialer er fjernet. I tillegg er også sikkerhetskravet for drenerte beregninger senket fra  $F_{c\phi}=1,4$  til  $F_{c\phi}=1,25$ . De utførte vurderingene er derfor vurdert tilfredsstillende i henhold til den nye veilederen, og det må ikke utføres tiltak i kvikkleiresone 188 Berg studentby, øst for Berg Prestegård. En oppsummering av vurderingene er gitt i figur 6-2.

For den vestlige delen av kvikkleiresonen er det utført vurderinger av områdestabilitet iht. ny veileder, se rapport 10215021-06-RIG-RAP-001 [7]. Såfremt krav til sikkerhet for utbygging i DO4 innenfor sonen blir ivaretatt, vil også krav for skråninger som ligger utenfor tiltakets influensområde for DO3 ivaretas. Potensielt utløp vil i utgangspunktet passere delområdet på tilstøtende ravinedal, vist på figur 6-1.



Figur 6-1: Potensielt utløp fra kvikkleiresone 188 Berg studentby mot Delområde 3.

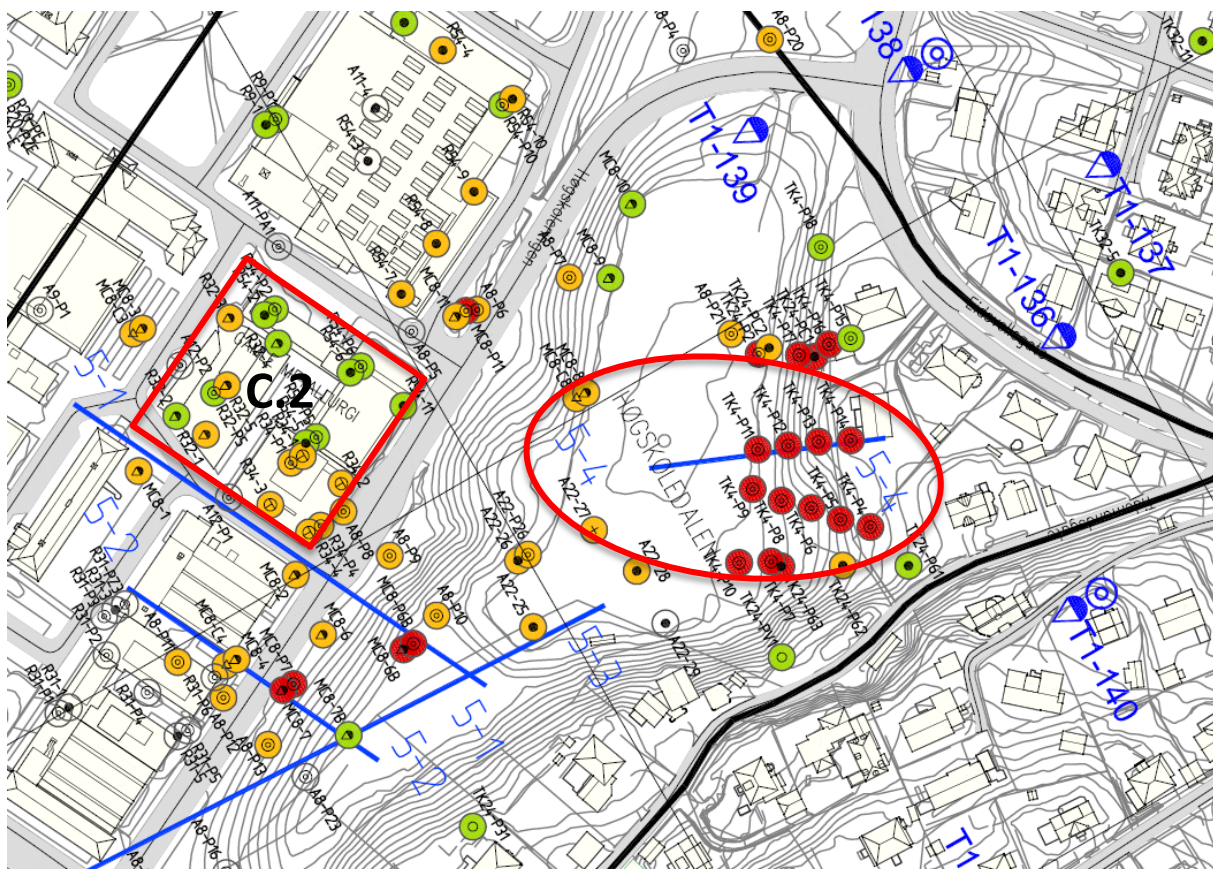


Figur 6-2: Oversikt over områder som tilfredsstiller krav til sikkerhet i henhold til NVEs veileder nr. 1/2019.

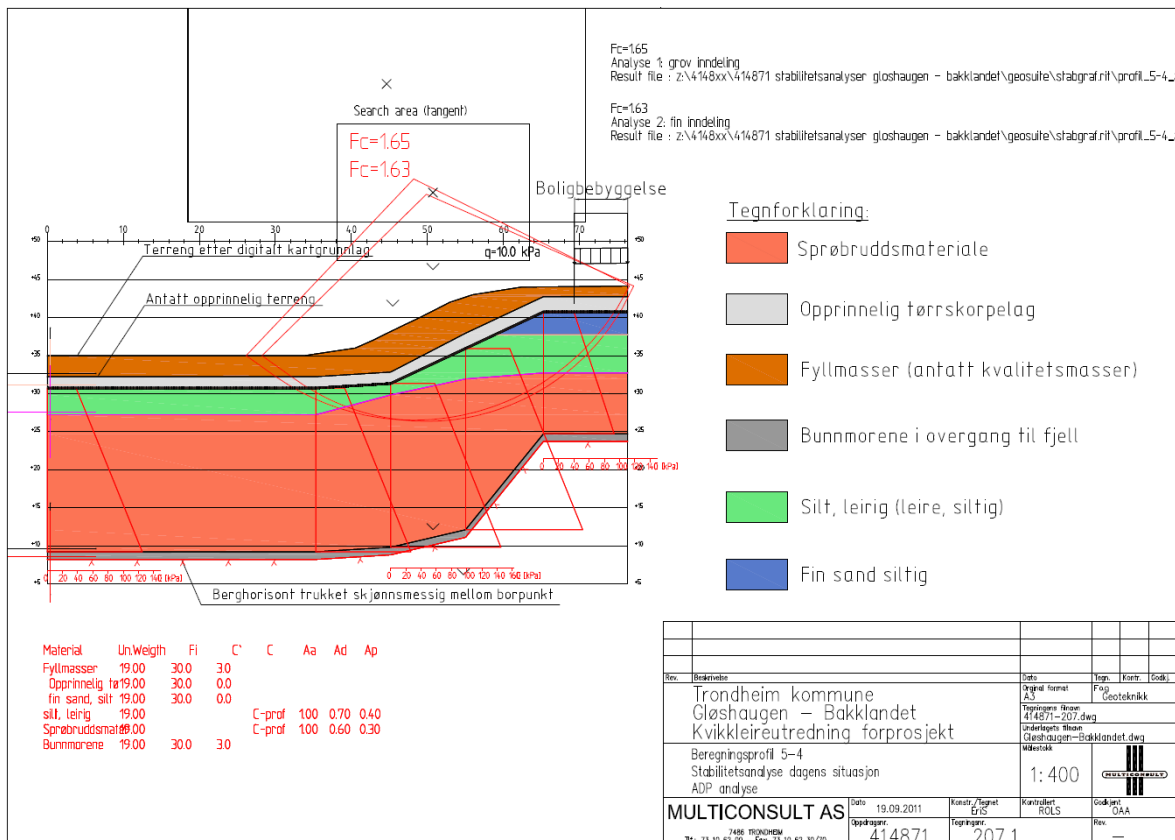
## 6.2 Kvikkleiresone 2189 Nedre Singsaker

Delområde 3 ligger i et potensielt utløpsområde for områdeskred fra kvikkleiresone 2189 Nedre Singsaker. Stabilitetssituasjonen i kvikkleiresonen er utredet av Multiconsult i 2011 [30] basert på NVE 1/2008, rev. 2/2011. Ut fra daværende regelverk ble det konkludert med at stabiliteten i kvikkleiresone 2189 Nedre Singsaker var tilstrekkelig og at tomta ikke ville bli inkludert i et utløpsområde for et eventuelt skred i sonen.

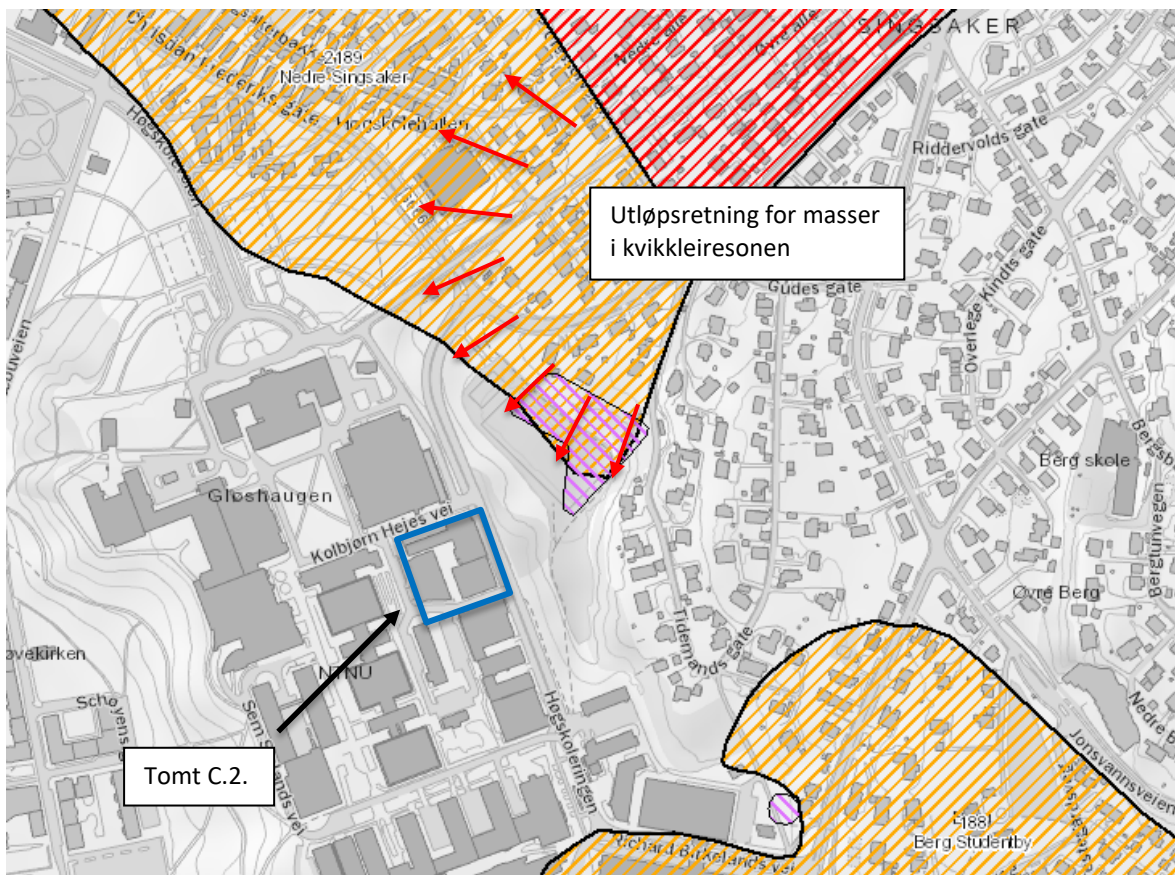
Som nevnt i kapittel 3.6 er kvikkleiresone 2189 Nedre Singsaker utredet ved tidligere anledninger i forbindelse med ulike prosjekter. Utførte stabilitetsberegninger viser at skråningen fra Eidsvolls gate og ned mot Dødens dal har tilfredsstillende sikkerhet iht. krav i NVE 1/2019, og det er dermed ingen fare for at Delområde 3 skal være utsatt for skredfare/områdeskredfare fra kvikkleiresone 2189 Nedre Singsaker. Figur 6-3 viser plassering av aktuelt beregningsprofil, mens figur 6-4 viser selve beregningene. Beregningene er utført med utgangspunkt i daværende gjeldende regelverk.



Figur 6-3: Profil 5-4 er beregnet i forbindelse med Gløshaugen - Baklandet kvikkleireutredning utført i 2011 [30] og 2014 [5]. Tegningen er hentet fra rapport 414871-1-RIG-RAP-001 og tegning nr. 6. Aktuell tomt og aktuelt profil er markert med rødt.



Figur 6-4: Stabilitetsberegning for Profil 5-4, fra rapport 414871 [30].



Figur 6-5: Illustrasjon av utløpsproblematikk fra kvikkleiresone 2189 Nedre Singsaker. Tomt C.2 er markert med blått.

## 7 Gjennomførbarhet – Delområde 3

### 7.1 Tomt C.2

Tomt C.2 ligger på toppen av en skråning med kvikkleire. Basert på utførte beregninger må det utføres stabilisering tilfredsstillende sikkerhet i Profil J1.

Stabilisering må etableres før utbyggingen på tom C.2 kan påbegynnes. Det bemerkes at også stabilisering tilfredsstillende sikkerhet i Profil J1. Det er ikke mulig å etablere byggene med én eller to kjelleretasjer, avhengig av nærhet til nabobygg og valg av utforming for byggegrop (åpen utgraving/spunt). Bygg på 7 etasjer dekkes av vurderingene.

Skisserte planer viser bygninger med opp mot 6 etasjer. Direktfundamentering eller en pelet løsning kan velges, avhengig av størrelse på bygg og aktuelt lastbilde. Det kan være mulig å etablere byggene med én eller to kjelleretasjer, avhengig av nærhet til nabobygg og valg av utforming for byggegrop (åpen utgraving/spunt). Bygg på 7 etasjer dekkes av vurderingene.

### 7.2 Tomt A.0

Tomta er vurdert til å ikke være berørt av problemstillinger knyttet til kvikkleire eller områdestabilitet. Utførte stabilitetsberegninger i profil P viser at skråningsstabiliteten, for en lastsituasjon tilsvarende 50 kPa belastning på eksisterende terreng, er tilfredsstillende iht. krav i Eurokode 7 for tom A.0.

Basert på tegning «311 036 Snitt C-C m/ fasade øst» (oversendt av NTNU den 04.02.22) er det forutsatt at eksisterende bygg på tom A.0 (Elektro D+B2) er fundamentert på ca. kote +42,8 (Trondheim lokal) og med 6 overliggende etasjer. Dette betyr at eksisterende bygg antas å ikke ha kompensert fundamentering, og at mulig tilleggsbelastning på eksisterende bygg begrenser seg til to ekstra etasjer, med tanke på sikkerhet mot skred. Det må gjøres en vurdering av bæreevne og setninger for eksisterende fundamenter når tiltaket er mer detaljert.

### 7.3 Tomt A.1

Som redegjort for i kapittel 2.2.1 antas det at tom A.1 ikke er berørt av problemstillinger knyttet til kvikkleire eller områdestabilitet. Stabilitetsberegningene i profil O viser at skråningsstabiliteten er tilfredsstillende for en lastsituasjon tilsvarende 80 kPa for planlagt utbygging på tom A.1 iht. krav i Eurokode 7 [4].

Av oversendt tegning «231.016 – Elektro, Blokk A – Snitt» er eksisterende bygg på tom A.1 fundamentert på ca. kote +45 (Trondheim lokal). Det er antatt at eksisterende bygg er etablert ved kompensert fundamentering. En tilleggsbelastning på 80 kPa vil være gjennomførbar med hensyn til skredsikkerhet, men vil antageligvis medføre behov for kompliserte/revende tiltak i forbindelse med fundamentering. Løsning med to ekstra etasjer, som skissert i figur 3-6, er gjennomførbar.

Direktfundamentering eller en pelet løsning kan velges, avhengig av størrelse på bygg og aktuelt lastbilde. Det kan være mulig å etablere nybygget med én eller to kjelleretasjer, avhengig av nærhet til nabobygg og valg av utforming for byggegrop (åpen utgraving/spunt). Det må gjøres en vurdering av bæreevne og setninger for eksisterende og nye fundamenter når tiltaket er mer detaljert. Det må spesielt vies oppmerksomhet til potensielle differansesetninger mellom nytt og eksisterende bygg.

### 7.4 Tomt C.1

Per 28.02.2022 foreligger det ingen utbyggingsplaner for tom C.1, og den er følgelig ikke inkludert som en del av foreliggende vurderingsrapport. Det er i midlertidig sett på ev. nødvendige stabilisering tilfredsstillende sikkerhet i Profil J1. Det er ikke mulig å etablere byggene med én eller to kjelleretasjer, avhengig av nærhet til nabobygg og valg av utforming for byggegrop (åpen utgraving/spunt). Det må gjøres en vurdering av bæreevne og setninger for eksisterende og nye fundamenter når tiltaket er mer detaljert. Det må spesielt vies oppmerksomhet til potensielle differansesetninger mellom nytt og eksisterende bygg.

og ned mot Dødens dal. For nødvendige stabiliseringe tiltak, se tegning 10215021-06-RIG-TEG-001.3 og -881.2.

### **7.5 Tomt X.0 – Hovedbygningen**

Gjennomførbarheten av tomta er vurdert av Rambøll i deres rapport nr. 1350041580-G-rap-003 [2].

### **7.6 Tomt A.4**

Gjennomførbarheten av tomta er vurdert av Rambøll i deres rapport nr. 1350041580-G-rap-003 [2].

### **7.7 B-rekka**

Gjennomførbarheten av tomtene er vurdert av Rambøll i deres rapport nr. 1350041580-G-rap-003 [2].

### **7.8 Tomt C.3 og C.4**

Gjennomførbarheten av tomtene er vurdert av Rambøll i deres rapport nr. 1350041580-G-rap-003 [2].

## 8 Konklusjon

Oppsummert kan kravene i NVEs veileder nr. 1/2019 sies å være oppfylt:

- Det vurderes at tiltak i delområdet ikke står i fare for å utløse et kvikkleireskred forutsatt at stabilisering tilskrekkelig grunnlag for vurderinger til detaljreguleringsnivå.
- Det vurderes at tiltak i delområdet ikke vil bli involvert i skred fra utenfor undersøkelsesområdet
- Det vurderes at tiltak i delområdet ikke vil bli påvirket av skredmasser fra et eventuelt skred i nærliggende kvikkleiresoner

### 8.1 Videre arbeid

Løsningene som her er skissert som mulige løsninger for utbyggingen, må vurderes og detaljeres i en senere detaljprosjekteringsfase. Det kan her også anbefales å utføre supplerende grunnundersøkelser, med målsetning om å kunne optimalisere de nødvendige tiltakene og øke bærekraften i prosjektet.

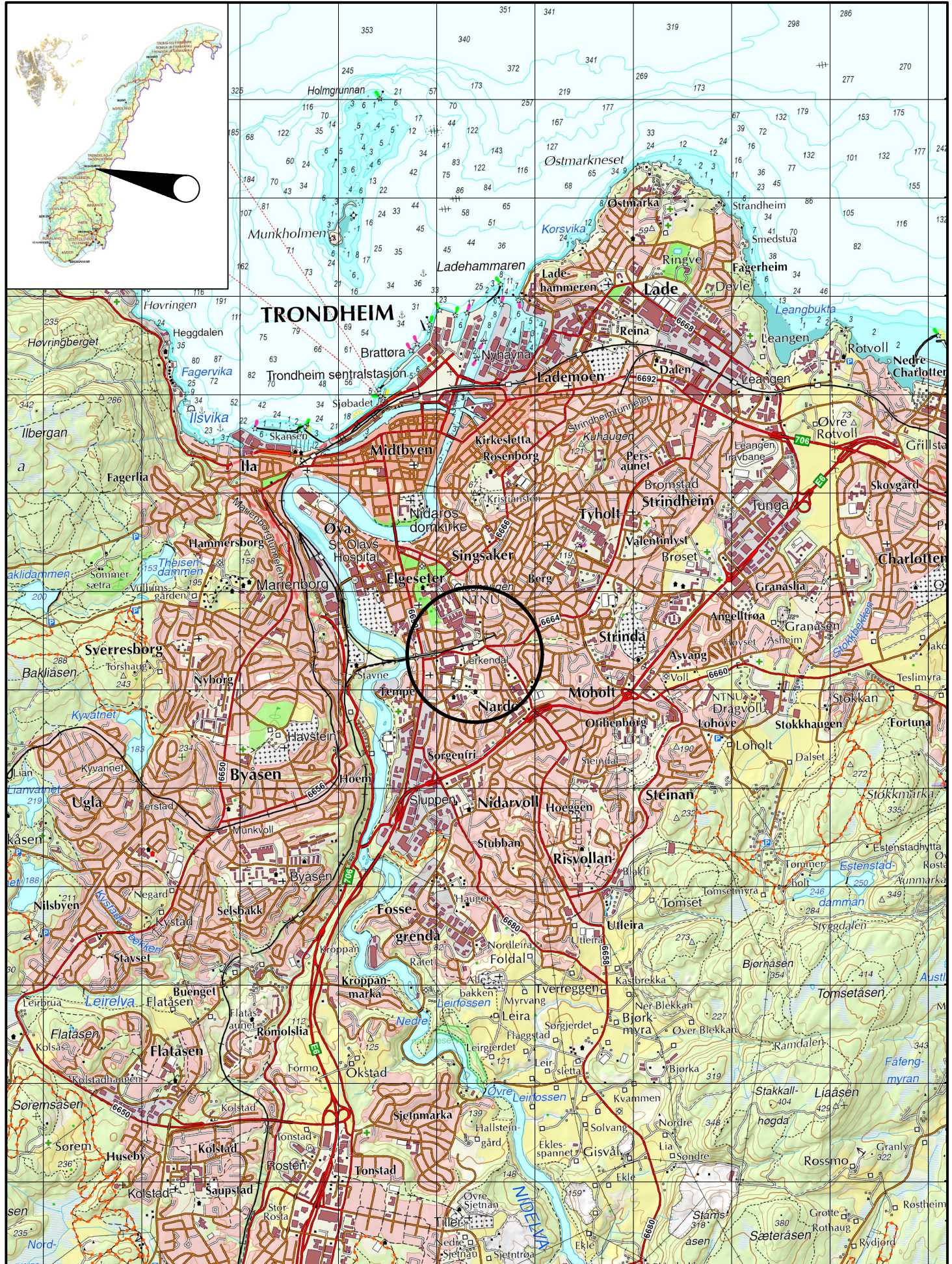
Utførte grunnundersøkelser gir tilstrekkelig grunnlag for vurderinger til detaljreguleringsnivå.

Videre må den planlagte utbyggingens innvirkning på omkringliggende infrastruktur og eksisterende bebyggelse vurderes nærmere for hver enkelt utbygging.

## 9 Referanser

- [1] NVE, «Veileder 1/2019: 'Sikkerhet mot kvikkleireskred. Vurdering av områdestabilitet ved arealplanlegging og utbygging i områder med kvikkleire og andre jordarter med sprøbruddegenskaper'», des. 2020.
- [2] Rambøll Norge AS, «1350041580-G-rap-003 - NTNU Campussamling - Områdestabilitetsvurdering av utvalgte tomter på delområde 3», jan. 2022.
- [3] NVE, «Retningslinjer 2/2011: 'Flaum- og skredfare i arealplanar'», mai 2014.
- [4] Standard Norge, «Eurokode 7: Geoteknisk prosjektering - Del 1: Allmenne regler (NS-EN 1997-1:2004)», Standard Norge, Norsk standard (Eurokode) NS-EN 1997-1:2004 + A1:2013 + NA:2020, des. 2020.
- [5] Multiconsult Norge AS, «415913-RIG-RAP-002\_rev00 - Gløshaugen-Bakklandet kvikkleireområde. Hovedprosjekt Trinn 1. Geoteknisk vurdering - prinsipper for videre utredning av områdestabilitet», apr. 2014.
- [6] Norconsult, «5175072-RIG12 - SINTEF Horizon – Områdestabilitetsutredning av Gløshaugens vestskråning ved EFI», jul. 2021.
- [7] Multiconsult Norge AS, «10215021-06-RIG-RAP-001\_rev01 - Områdestabilitetsvurdering iht. NVE 1/2019, Delområde 4 - NTNU Campusutvikling - Områdeplaner», jan. 2022.
- [8] Norgeskart, «www.høydedata.no».
- [9] NGU, «Løsmasser - Nasjonal løsmassedatabase - kvartærgeologiske kart».
- [10] Norges Vassdrags- og energidirektorat (NVE), «atlas.nve.no».
- [11] Multiconsult Norge AS, «10200316-RIG-NOT-002\_rev02 - Fengselstomta - Stabiliseringstiltak i Nidelva - Revisjon av kvikkleiresone 183 Øvre Bakklandet - Nedre Singsaker», feb. 2018.
- [12] NGI, «O.268 - Grunnundersøkelser og stabilitetsberegringer for skråningen på vestsiden av Gløshaugplatået i Trondheim», jan. 1956.
- [13] NGI, «O.268.2 - Supplerende grunnundersøkelse på vestsiden av Gløshaugplatået vest for kjemiblokene», mai 1956.
- [14] Norconsult, «5175072-RIG03 - SINTEF Energi – Geoteknisk datarapport», jul. 2019.
- [15] Norconsult, «5175072-RIG13 - SINTEF Energi Gløshaugen – Geoteknisk datarapport – Grunnundersøkelser i skråning mot vest», jun. 2020.
- [16] Kummeneje, «o.3493 - NTH – Elektroteknisk avdeling og Elektrisitets-forsyningens Forskningsinstitutt – Grunnundersøkelser for tilbygg», apr. 1981.
- [17] Kummeneje, «o.5027 - NTH – Elektroteknisk avdeling. Nybygg/tilbygg. Supplerende grunnundersøkelser med stabilitetsvurdering.», okt. 1984.
- [18] Kummeneje, «O.644-2 - NTH – Elektroblokk D og påbygg av Akustisk laboratorium – Grunnundersøkelse og fundamentering», okt. 1967.
- [19] Rambøll Norge AS, «690090 - SINTEF, Elektro H – Grunnundersøkelser – Datarapport», jun. 2009.
- [20] Kummeneje, «11291 - Institutt for Produktdesign, NTNU - Grunnundersøkelser - Geoteknisk vurdering», mar. 1996.
- [21] Kummeneje, «600271 - NTNU – Bygg P15 – Grunnundersøkelser – Geoteknisk vurdering», sep. 2020.
- [22] Kummeneje, «10665 - Kjelhuset, NTH – Ombygging – Grunnundersøkelse. Geoteknisk vurdering», mar. 1995.
- [23] Multiconsult Norge AS, «10215021-01-RIG-RAP-001\_rev01 - Datarapport - Geotekniske grunnundersøkelser», feb. 2020.
- [24] Multiconsult Norge AS, «414034-1 - Solbygget, Gløshaugen - Datarapport grunnundersøkelser. Beskrivelse av grunnforhold», sep. 2010.
- [25] Multiconsult Norge AS, «10215021-01-RIG-RAP-001\_rev02 - Datarapport - Geotekniske grunnundersøkelser», feb. 2022.
- [26] Rambøll Norge AS, «6070721 - Berg studentby. Reguleringsplan. Geoteknisk utredning rev 1», sep. 2008.
- [27] Multiconsult Norge AS, «413408-Verifikasjonsskjema\_rev02», jan. 2009.
- [28] Multiconsult Norge AS, «413642-2 - Vurdering av områdestabilitet Gløshaugen - utredning av kvikkleiresone Berg vest - Beregnings- og vurderingsrapport», feb. 2011.

- [29] Multiconsult Norge AS, «10200155-RIG-RAP-002\_rev01 - NTNU Campusutvikling - Geoteknisk vurdering - Områdestabilitet sørrområdene», sep. 2018.
- [30] Multiconsult Norge AS, «414871-1-RIG-RAP-001\_rev00 - Gløshaugen - Bakklandet kvikkleireutredning», okt. 2011.
- [31] Watn Consult AS, «1062 - Samfunnet-Fengselstomta - Uavhengig kvalitetssikring», des. 2017.
- [32] NVE, «Veileder 7/2014: 'Sikkerhet mot kvikkleireskred. Vurdering av områdestabilitet ved arealplanlegging og utbygging i områder med kvikkleire og andre jordarter med sprøbruddegenskaper'», apr. 2014.



**TEGNFORKLARING:**

- DREIESONDERING
- ENKEL SONDERING
- ▼ RAMSONDERING
- ▽ TRYKKSONDERING
- ⊗ TOTALSONDERING
- ◎ PORETRYKKMÅLING
- PRØVEGROP
- ▼ DREIETRYKKSONDERING
- ⊗ SKRULATEFORSØK
- + VINGEBORING
- ◊ KJERNEBORING
- ✖ FJELLKONTROLLBORING
- ☒ BERG I DAGEN

KARTGRUNNLAG  
KOORDINATSYSTEM  
HOYDREFERANSE  
UTGANGSPUNKT FOR NIVELLMENT:  
BORBOK NR:  
LAB.BOB NR:  
Digitalt kart fra SOSI  
NTM, sone 10  
NN 2000  
GPS GLONASS CPOS  
Digital  
Digital

EKSEMPEL  
BP 1 BP 1 TERRENGKOTE/SJØBUNKKOTE  
BP 1 BP 1 BORET DYBDE + BORET I BERG  
ANTATT BERGKOTE

**FORKLARING:**

Moffylling

Digitalt kart fra SOSI  
NTM, sone 10  
NN 2000  
GPS GLONASS CPOS  
Digital  
Digital

**TIDLIGERE BORINGER:**

Noen tidligere borer er oppgitt fra scannet kopi og kan ha noe avvik.  
Tidligere borer er angitt med indeksverdier for borhullsnr, viser til Vedlegg 4 i rapport 10215021-RIG-RAP-001\_rev02.

MC4-1-30	TK4-7A-00	TK4-7B-00	MC4-1	MC4-1	MC4-1
10215021	10215021	10215021	MC4-1	MC4-1	MC4-1
MC4-1-48	TK4-7A-00	TK4-7B-00	MC4-1	MC4-1	MC4-1
10215021	10215021	10215021	MC4-1	MC4-1	MC4-1

**COWI**

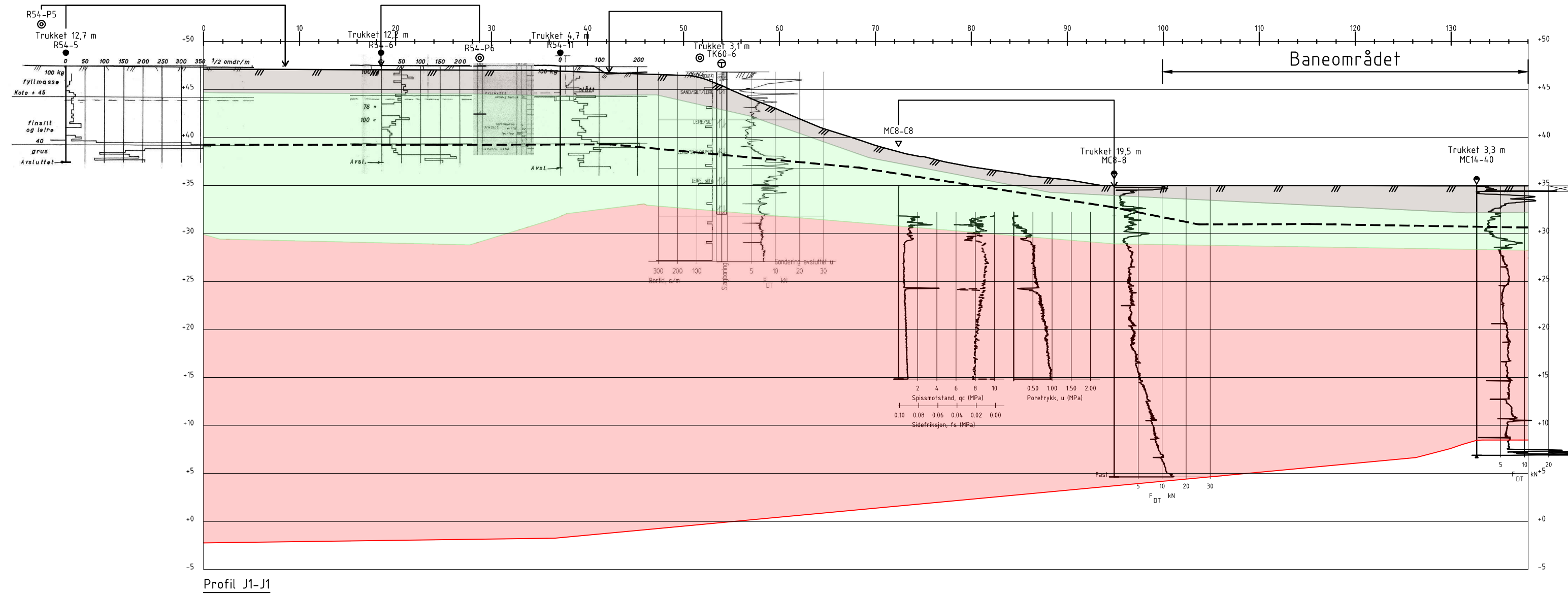
NTNU Campusutvikling - Områdeplaner

Delområde 3

Situasjonsplan med profiler

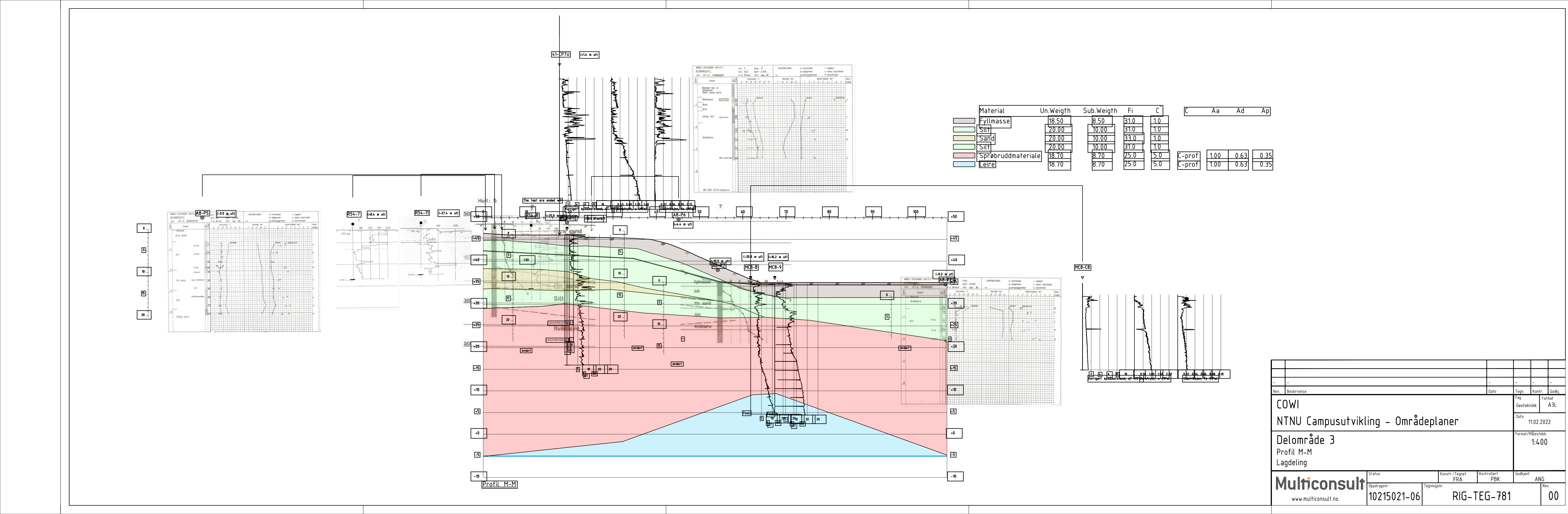
**Multiconsult**  
www.multiconsult.no

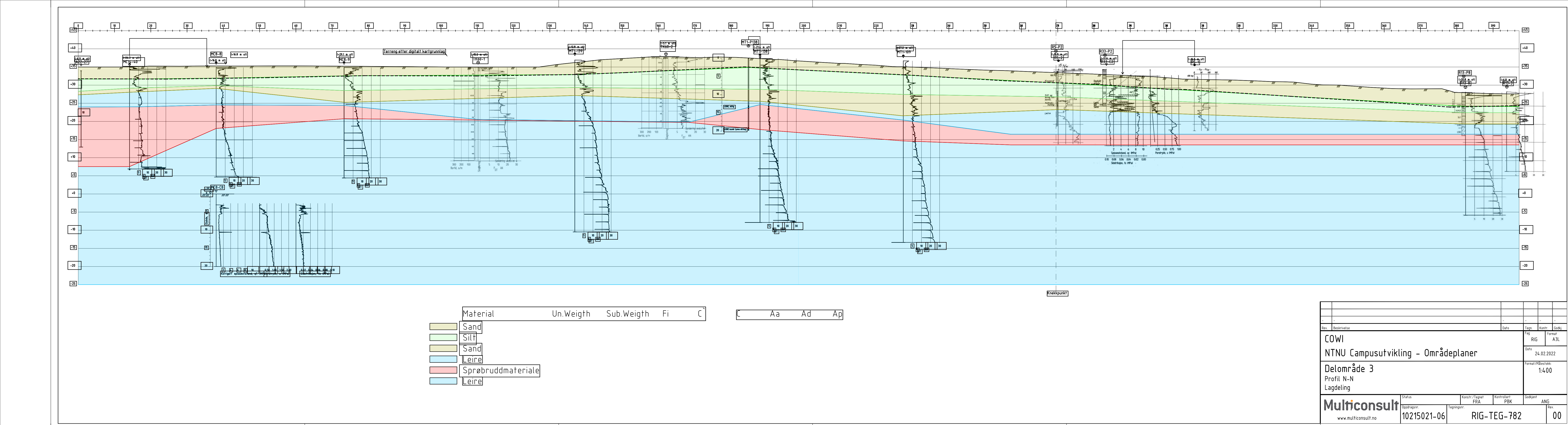
Status	Utsendt	Konstr./Tegnet	JKM/FRA	Kontrollert	PBK	Godkjent
Oppdrager:						ANG
Tegningsnr.	10215021-06	RIG-TEG-001.3				
Rev.	00					



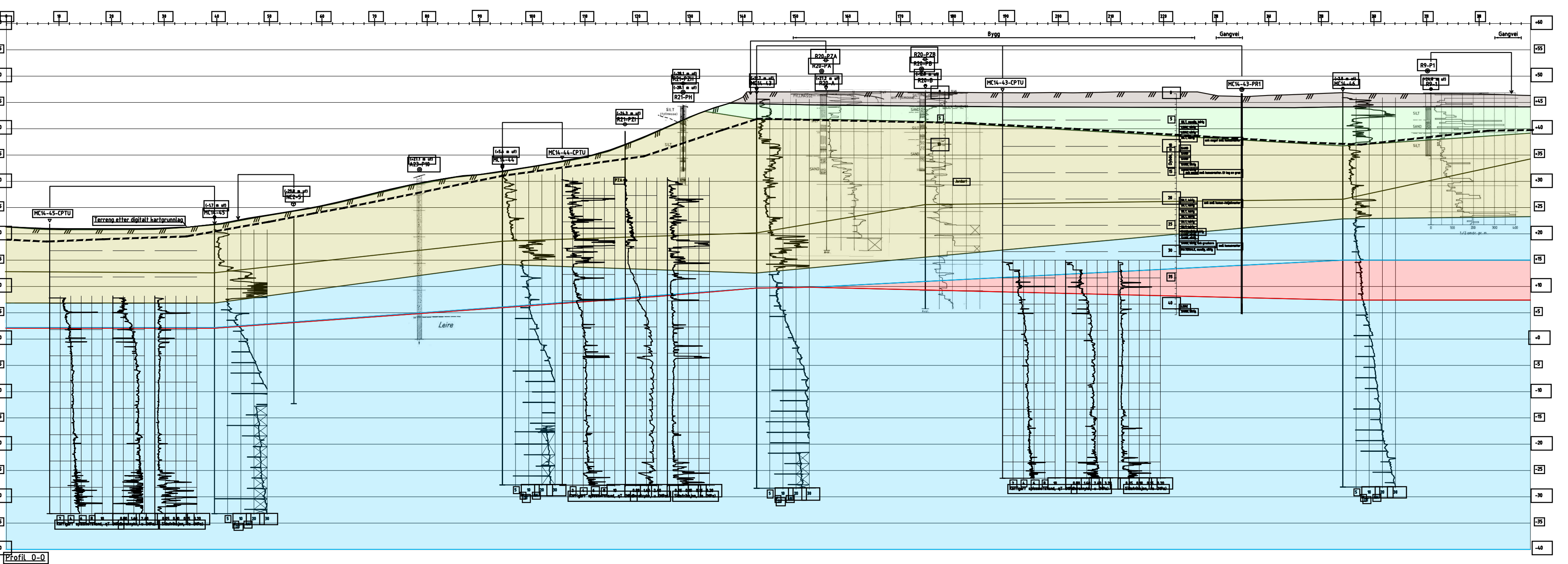
Material	Un.Weight	Sub.Weigth	Fi	C'	C	Aa	Ad	Ap
Fyllmasse	18.50	8.50	31.0	1.0				
Silt	20.00	10.00	31.0	1.0				
Sprøbruddsmateriale	18.70	8.70	25.0	5.0	C-prof	1.00	0.63	0.35

Rev.	Beskrivelse	Dato	Tegn.	Kontr.	Godkj.
-	-	-	-	-	-
-	COWI NTNU Campusutvikling - Områdeplaner	Fag Geoteknikk Format A3L Dato 11.02.2022			
-	Delområde 3 Profil J1-J1 Lagdeling	Format/Målestokk: 1:400			
Status	Konstr./Tegnet	Kontrollert	Godkjent		
Utsendt	FRA	PBK	ANG		
Oppdragsnr.	Tegningsnr.				
10215021-06	RIG-TEG-780				
Rev.					



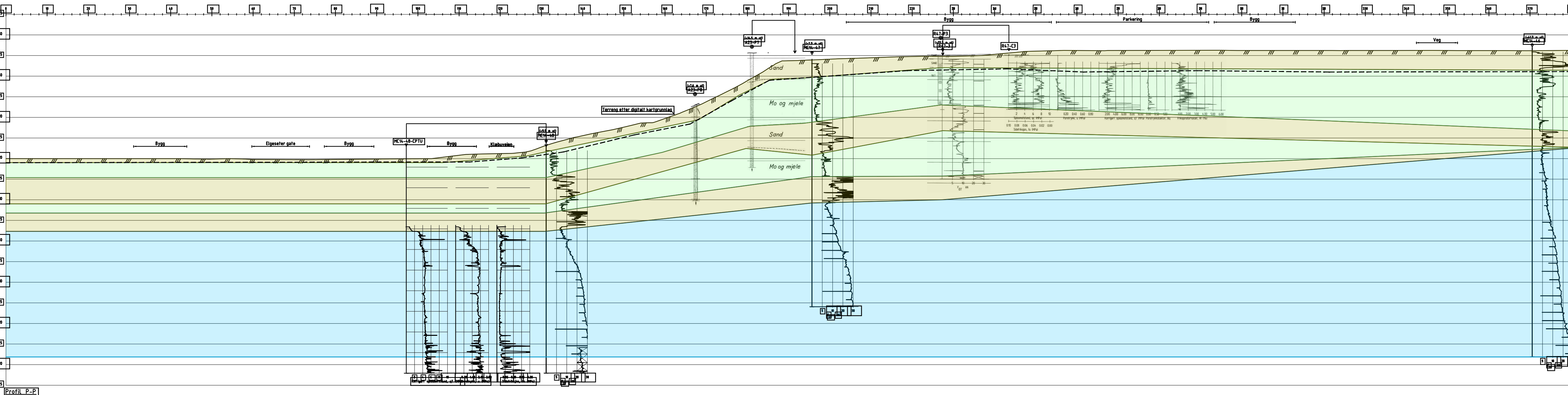


Material	Un.Weigth	Sub.Weigth	Fi	C'	C	Aa	Ad	Ap
Fyllmasse	18.50	8.50	31.0	1.0				
Silt	18.00	8.00	32.0	3.1				
Sand	18.00	8.00	32.0	3.1				
Fast sand	19.00	9.00	36.0	3.6				
Leire	19.00	9.00	28.0	5.3	C-prof	1.00	0.63	0.35
Sprøbruddmateriale	19.00	9.00	28.0	5.3	C-prof	1.00	0.63	0.35
Leire	19.00	9.00	28.0	5.3	C-prof	1.00	0.63	0.35



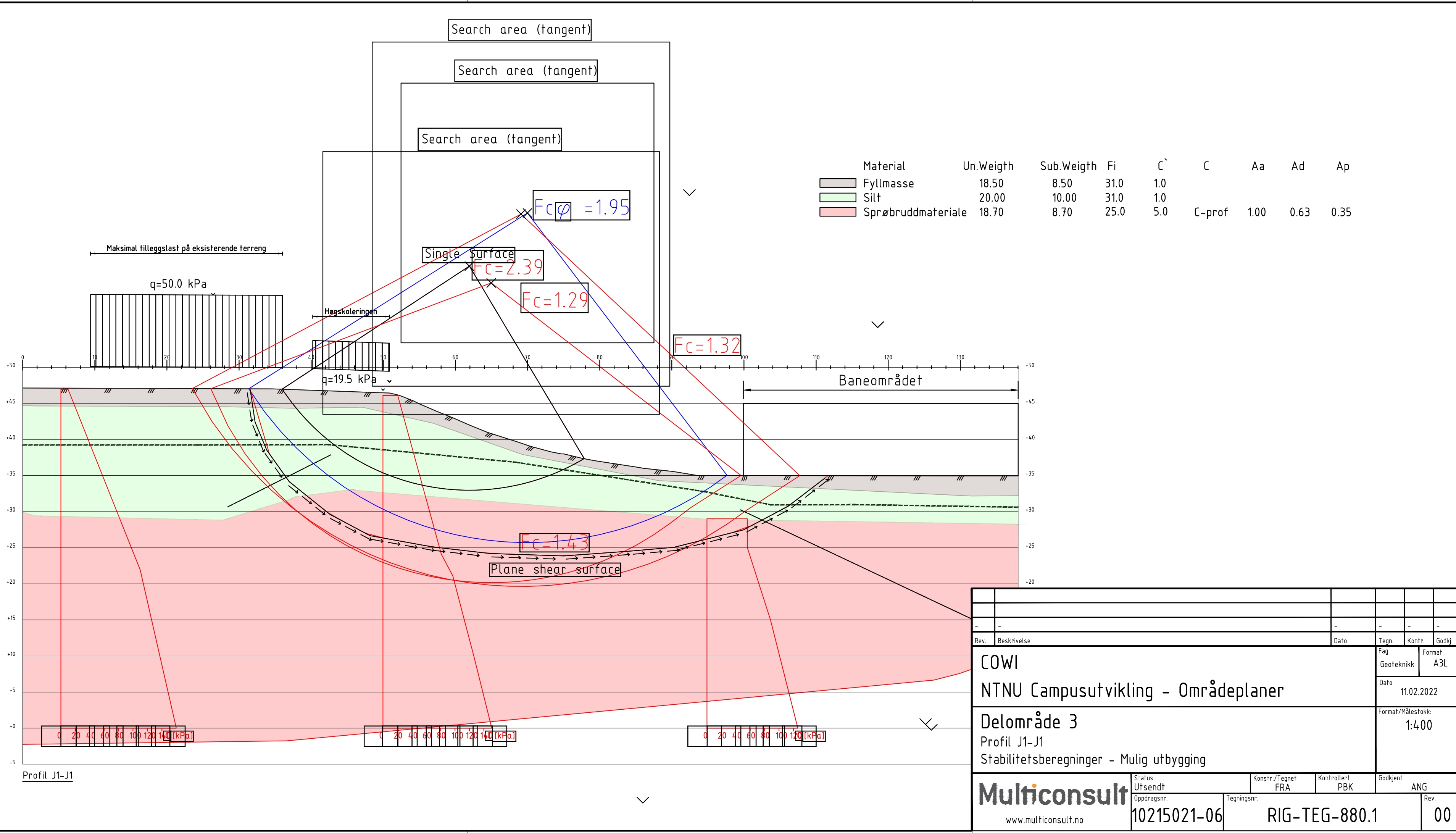
Rev.	Beskrivelse	Dato	Tegn	Kontr.	Godkj.	
COWI						
NTNU Campusutvikling - Områdeplaner						
Delområde 3						
Profil 0-0						
Lagdeling						
Multiconsult			Status Utsendt	Konstr./Tegnet FRA	Kontrollert PBK	Godkjent ANG
			Oppdragsnr.	Tegningsnr.		
			10215021-06	RIG-TEG-783		00
			Rev.			

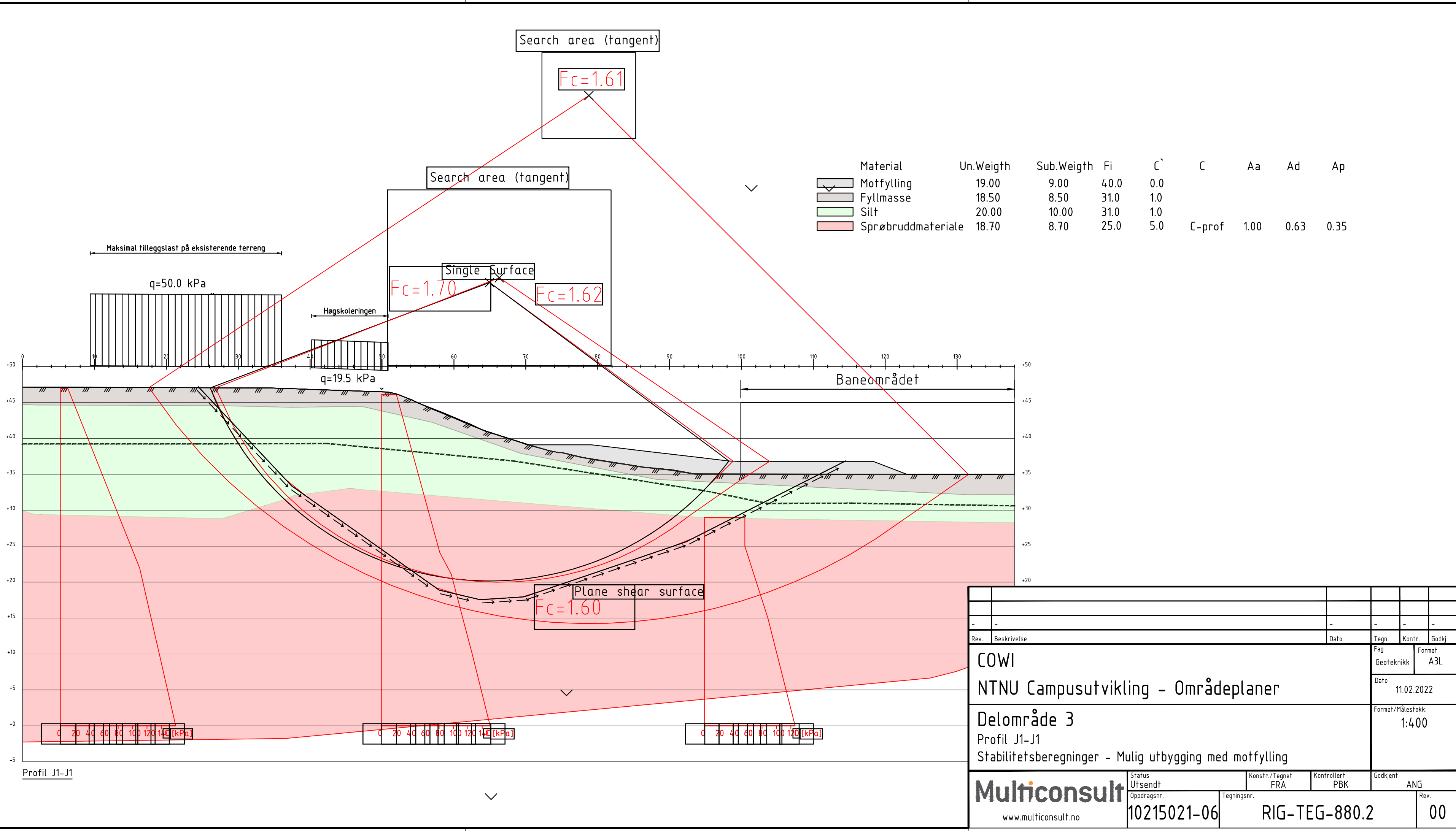
Material	Un.Weigth	Sub.Weigth	Fi	C'	C	Aa	Ad	Ap
Sand	18.00	8.00	32.0	3.1				
Silt	18.00	8.00	32.0	3.1				
Sand	18.00	8.00	32.0	3.1				
Silt	19.00	9.00	31.0	6.0				
Sand	19.00	9.00	36.0	3.6				
Leire	19.00	9.00	28.0	5.3	C-prof	1.00	0.63	0.35

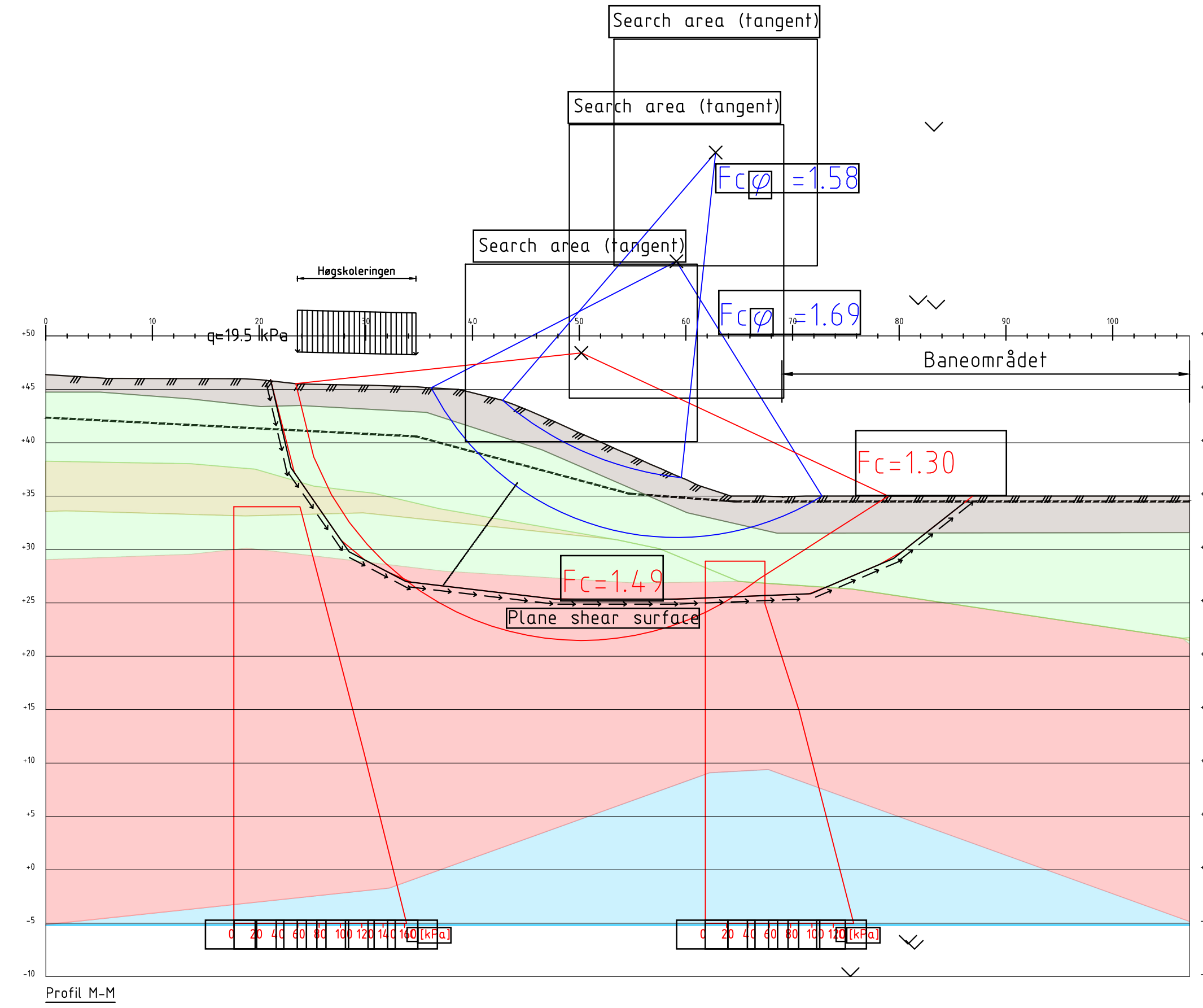


Rev.	Beskrivelse	Dato	Tegn.	Kontr.	Godkj.
COWI NTNU Campusutvikling - Områdeplaner			Fag	Format	
			Geoteknikk	A3L	
			Dato	11.02.2022	
			Formål/Målestokk:	1:600	
Delområde 3 Profil P-P Lagdeling					
Multiconsult www.multiconsult.no		Status Utsendt	Konstr./Tegnet FRA	Kontrollert PBK	Godkjent ANG
Oppdragsnr. 10215021-06		Tegningsnr.			
					Rev. 00

RIG-TEG-784

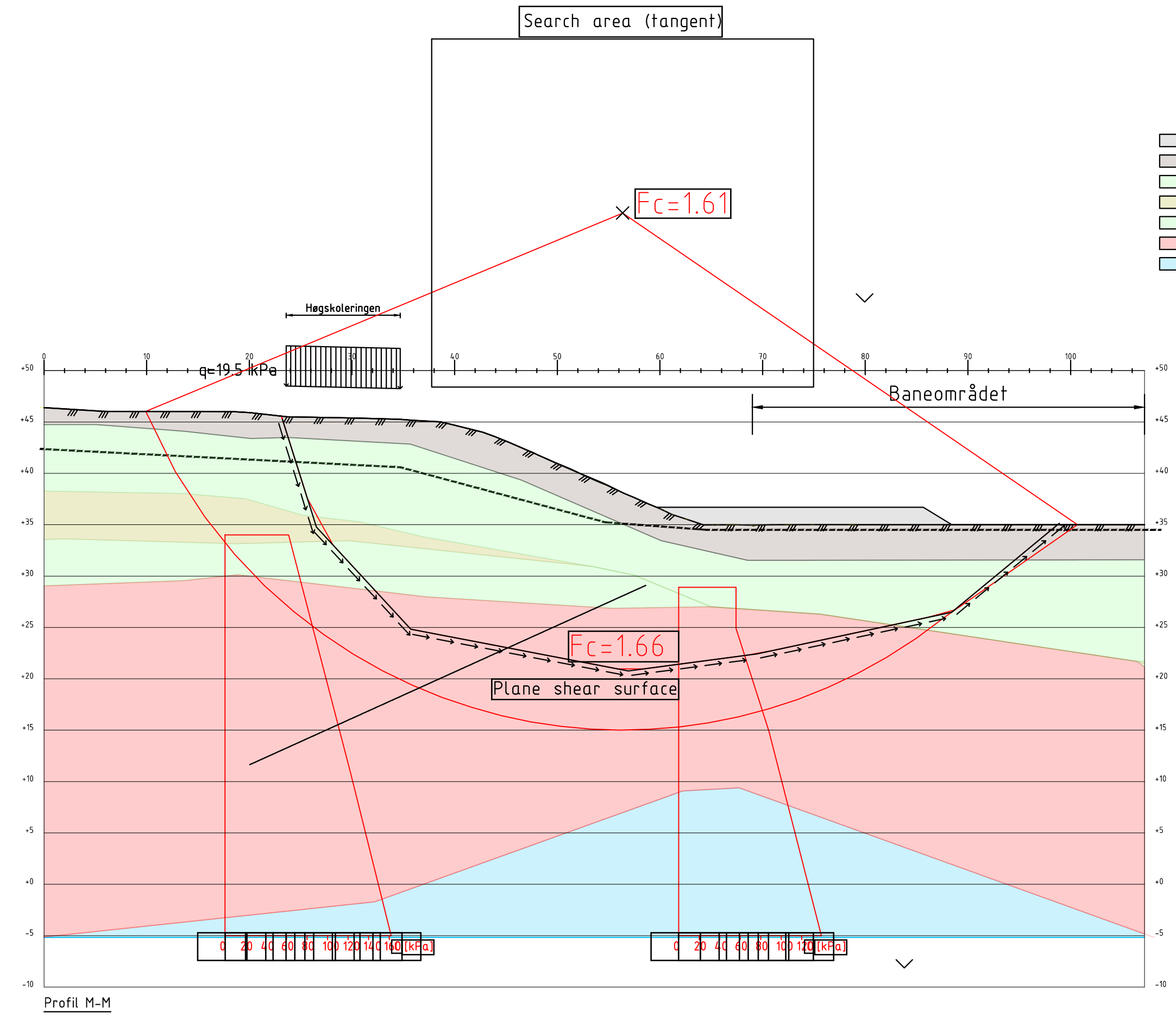






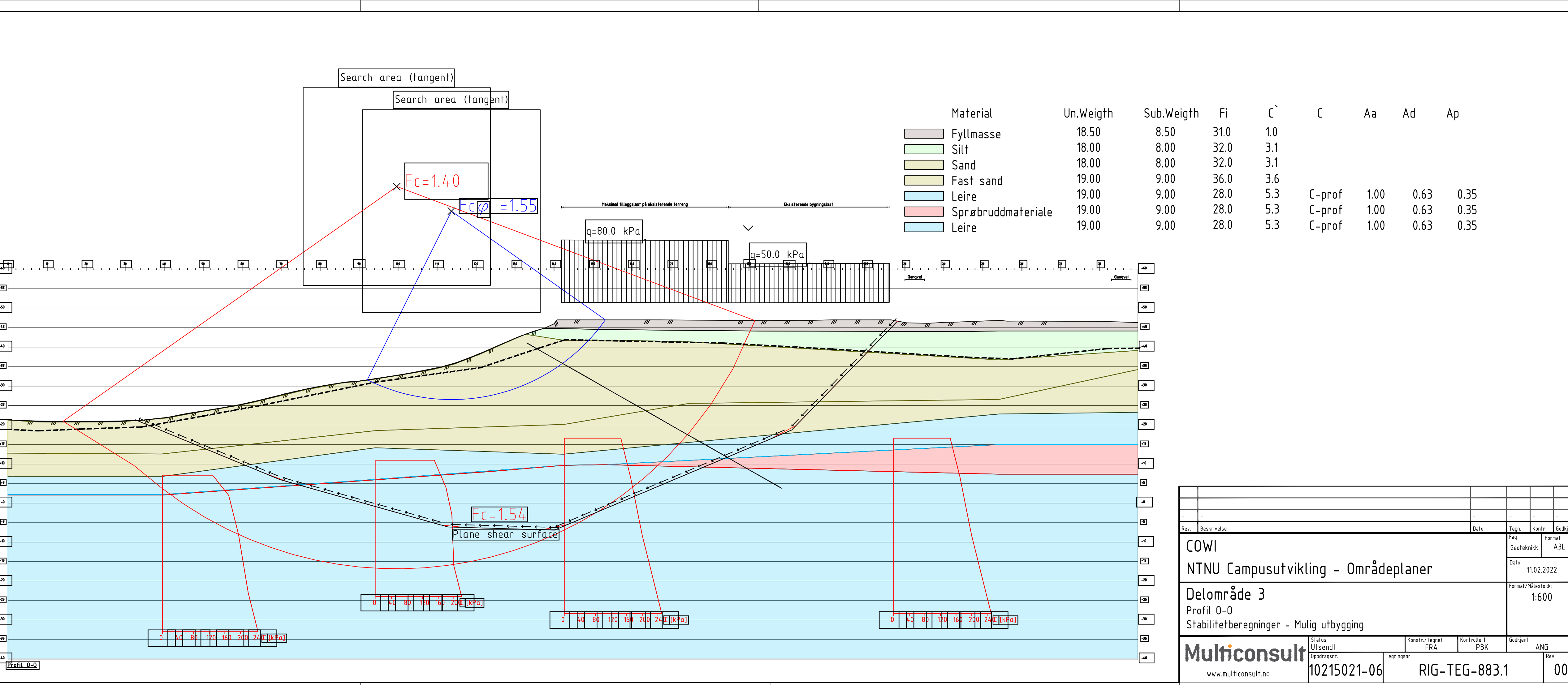
Material	Un.Weighth	Sub.Weighth	Fi	C	C	Aa	Ad	Ap
Fyllmasse	18.50	8.50	31.0	1.0				
Sitt	20.00	10.00	31.0	1.0				
Sand	20.00	10.00	33.0	1.0				
Silt	20.00	10.00	31.0	1.0				
Sprøbruddsmateriale	18.70	8.70	25.0	5.0				
Leire	18.70	8.70	25.0	5.0				
C-prof	1.00	0.63	0.35					
C-prof	1.00	0.63	0.35					

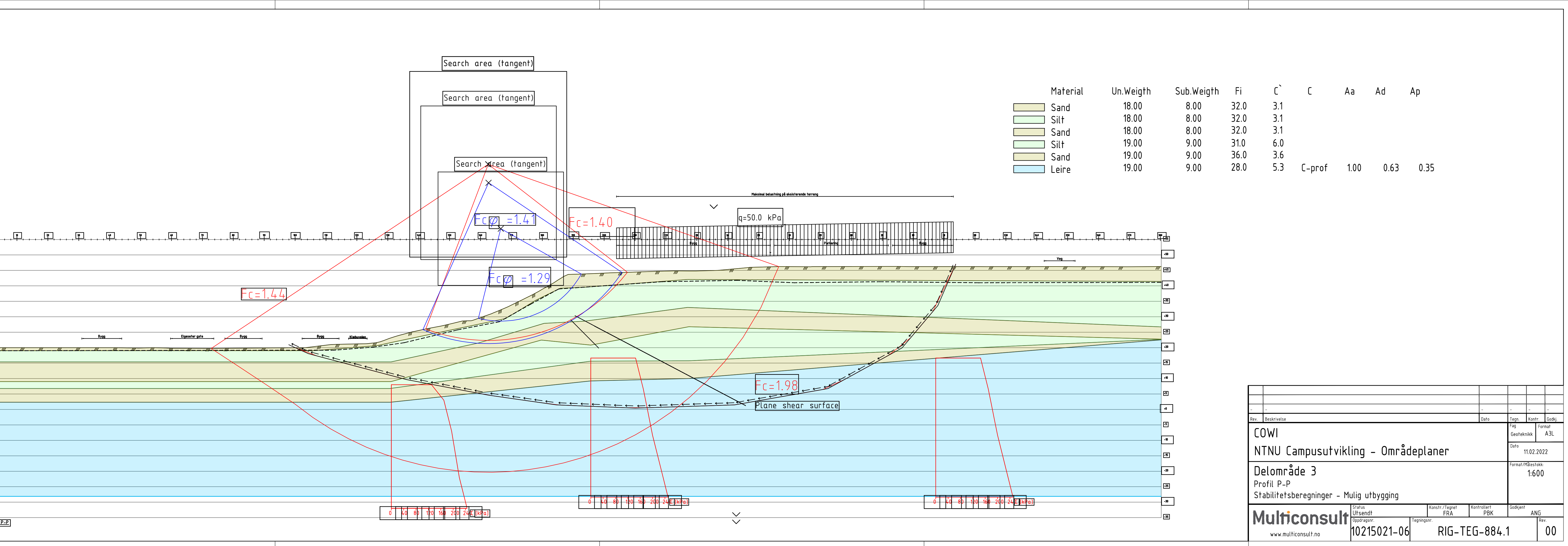
-	-	-	-	
Rev. Beskrivelse	Dato	Tegn.	Kontr.	Godkj.
COWI NTNU Campusutvikling - Områdeplaner				
Delområde 3 Profil M-M Stabilitetsberegninger - Influensområde mulig utbygging				
Format/Målestokk: A3L				
Format/Målestokk: 1:400				
Status Utsendt	Konstr./Tegnet FRA	Kontrollert PBK	Godkjent ANG	
Oppdragsnr. 10215021-06	Tegningsnr. RIG-TEG-881.1	Rev. 00		



Material	Un.Weighth	Sub.Weighth	Fi	C	C	Aa	Ad	Ap
Motfylling	19.00	9.00	4.0	0.0				
Fyllmasse	18.50	8.50	31.0	1.0				
Silt	20.00	10.00	31.0	1.0				
Sand	20.00	10.00	33.0	1.0				
Silt	20.00	10.00	31.0	1.0				
Sprøbruddsmateriale	18.70	8.70	25.0	5.0				
Leire	18.70	8.70	25.0	5.0				
C-profil	1.00	0.63	0.35					
C-profil	1.00	0.63	0.35					

-	-	-	-
Rev.	Beskrivelse	Dato	Tegn. Kontr. Godkj.
COWI		Fag	Format
NTNU Campusutvikling - Områdeplaner		Geoteknikk	A3L
		Dato	11.02.2022
Delområde 3		Format/Målestokk:	1:400
Profil M-M		Status	
Stabilitetsberegninger - Influensområde mulig utbygging m/motfylling		Utsendt	
		Konstr./Tegnet	
		FRA	
		Kontrollert	
		PBK	
		Godkjent	
		ANG	
<b>Multiconsult</b>		Oppdragsnr.	Tegningsnr.
		10215021-06	RIG-TEG-881.2
		Rev.	00





# Vedlegg A

## Stabilitetsberegninger

### Innholdsfortegnelse

<b>A.1 Tolkning av beregningsparametere .....</b>	<b>1</b>
A.1.1 Tyngdetetthet .....	1
A.1.2 Effektivspenningsparametere .....	1
A.1.3 Grunnvannsnivå og poretrykksfordeling .....	1
A.1.4 Tolkning av konsolideringsforhold .....	1
A.1.5 Tolkning av styrkeparametere .....	2
A.1.6 Anisotropifaktorer .....	3
<b>A.2 Stabilitetsberegninger .....</b>	<b>3</b>
A.2.1 Generelt .....	3
A.2.2 Beregningsverktøy .....	3
A.2.3 Laster .....	3
A.2.4 Beregningsresultater .....	4
<b>A.3 Referanser .....</b>	<b>5</b>

### A.1 Tolkning av beregningsparametere

Tolkning er gjort på basis av utførte laboratorieundersøkelser på opptatte prøveserier og utførte CPTU-sonderinger. Det er også benyttet erfaringsverdier iht. Statens vegvesen Håndbok V220 [1].

#### A.1.1 Tyngdetetthet

Målt tyngdetetthet på opptatte prøver, både fra nye og tidligere grunnundersøkelser, er benyttet som grunnlag. Ved store variasjoner i målte verdier er gjennomsnittlige verdier benyttet.

Se tegning nr. 10215021-06-RIG-TEG-880.1 og -884.1 for geotekniske data som er benyttet i beregningene.

#### A.1.2 Effektivspenningsparametere

For effektivspenningsparametere er det sett til utførte grunnundersøkelser, samt vurdert opp mot tidligere vurderingsrapporter som er utført i området. Multiconsult har tidligere kontrollert Norconsults områdestabilitetsvurderinger for vestsiden av Gløshaugplatået ved SINTEF Horizon [2], og har i den anledning samkjørt effektivspenningsparameterne benyttet i denne rapporten.

#### A.1.3 Grunnvannsnivå og poretrykksfordeling

Grunnvannsnivå og poretrykksfordeling er modellert konservativt i henhold til utførte piezometeravlesninger.

I borhullene hvor det er registrert poreundertrykk i dybden, og hvor massene er homogene, er det antatt et poreundertrykk også over det øverste piezometeret.

Avlesningene av piezometerene er vist i Multiconsults reviderte datarapport 10215021-01-RIG-RAP-001, rev02 [3].

#### A.1.4 Tolkning av konsolideringsforhold

Ødometerforsøkene brukes til å fremskaffe informasjon om prekonsolideringsspenninger og overkonsolideringsgrad for bruk i korrelasjonen mellom CPTU-sonderinger og treaksialforsøk. For tolkning av prekonsolideringsspenning i ødometerforsøkene er metoden, først presentert av Karlsrud

[4], benyttet. Prekonsolideringsspenningen finnes her som gjennomsnittet av spenningen der tangentmodulen begynner å avta og spenningen der helningen på den normalkonsoliderte linjen starter.

Tolkning av ødometerforsøkene er vist i vedlegg B.2, mens en vurdering av kvaliteten på de utførte ødometerforsøkene er gitt i Multiconsults reviderte datarapport 10215021-01-RIG-RAP-001\_rev02 [3].

#### A.1.5 Tolkning av styrkeparametere

Generelt skal karakteristisk skjærstyrkeprofil ( $S_{UA}$ ) med aktive verdier tolkes ved hvert enkelt borpunkt der mulig. Med et godt datagrunnlag velges mest sannsynlig opptrædende verdier for profilet. Dersom målte styrkeverdier viser store variasjoner i forhold til normal variasjon i området, velges profilene i henhold til anbefalinger i NIFS veileder nr. 77/2014 [5] med forsiktighet.

Generelt skal et  $S_{UA}$ -profil velges ut ifra følgende rangering:

1. Treaksialforsøk av god kvalitet (Kvalitetsklasse 1)
2. CPTU (Anvendelsesklasse 1)
3. Erfaringsverdier ( $S_{UA}/p_0'$ , SHANSEP)
4. Konus/Enaks

Erfaringer beskrevet i NIFS veileder nr. 77/2014 [5] viser at karakteristisk skjærstyrkeprofil ikke bør ligge under  $0,25 * p_0'$ . Dette er lagt til grunn som en nedre terskelverdi for opptrædende aktiv skjærstyrke.

Treaksialforsøkene er tolket basert på en vurdering av tøyning ved brudd og kvalitet av forsøkene. For vurdering av de drenerte styrkeparameterne plottes radiell spenning mot opptrædende skjærspenning, også kalt NTNU-plott [6]. Friksjonsvinkelen kan her tolkes ut fra helningen på bruddlinjen og kan uttrykkes som:

$$\tan \phi = \frac{S_f}{\sqrt{1 + 2 * S_f}}$$

Hvor:  
 $S_f$  er stigningstallet på bruddlinjen  
 $\phi$  er friksjonsvinkelen

Tolkning av treaksialforsøkene er vist i vedlegg B.1, mens en vurdering av kvaliteten på de utførte treaksialforsøkene er gitt i Multiconsults reviderte datarapport 10215021-01-RIG-RAP-001\_rev02 [3]. For tørrskorpe er friksjonsvinkelen satt til  $30^\circ$  og attraksjonen satt til 0 kPa, i henhold til erfaringsverdier i SVV håndbok V220 [1].

For tolkning av CPTU-sonderingene lastes resultatene fra rutineundersøkelsene inn sammen med tolket prekonsolideringsspenning og overkonsolideringsgrad fra ødometerforsøkene.

Prekonsolideringsspenningen funnet i ødometerforsøket sammenstilles med korrelasjonene funnet ved CPTU-sonderingene, og det utarbeides en linje som beskriver forløpet av prekonsolideringsspenninger og overkonsolideringsgrad med dybden. Styrkeprofilene tolkes så med hjelp av metodene beskrevet av Lunne m.fl. [7] og Karlsrud m.fl. [8] der de ulike metodene ligger innenfor det relevante arbeidsområdet. De beregnede styrkekorrelasjonene fra CPTU-sonderingene sammenstilles så med tolkede treaksialforsøk for valg av skjærstyrkeprofil. Tolkning av aktive skjærstyrkeprofil er vist i vedlegg B.3.

SHANSEP-korrelasjonen beskrevet av Karlsrud og Hernandez-Martinez [9] er benyttet. Artikkelen beskriver en sammenheng mellom målt vanninnhold og overkonsolideringsgrad som følger:

$$\frac{S_{UC}}{\sigma'_{v0}} = S * OCR^m$$

Hvor:  $S = (0,27 + 0,10w)$   
 $m = 0,58 + 0,33w$

S og m ligger normalt under en øvre grense på henholdsvis 0,35 og 0,75, og over en nedre grense på henholdsvis 0,25 og 0,65. Det er her benyttet S=0,30 og m=0,68 med utgangspunkt i at SHANSEP da gir godt samsvar med andre kilder til udrenert skjærfasthet i området.

Det er også sett til tidligere vurderingsrapporter og relevante tolkninger av skjærfasthet i tilsvarende grunnforhold og dybder, blant annet Norconsult i rapport 5175072-RIG12 [2].

### A.1.6 Anisotropifaktorer

Det er kun utført aktive treaksialforsøk i oppdraget, og korrelasjonene beskrevet i NIFS rapport nr. 14/2014 [10], og vist i tabell 1-1, legges derfor til grunn for vurdering av anisotropifaktorer.

Tabell 1-1: Omforent anbefaling av anisotropifaktorer (ADP-faktorer) hentet fra NIFS rapport nr. 14/2014 [10].

I <sub>P</sub>	S <sub>UD</sub> / S <sub>UA</sub>	S <sub>UP</sub> / S <sub>UA</sub>
I <sub>P</sub> ≤10%	0,63	0,35
I <sub>P</sub> >10%	0,63+0,00425*(I <sub>P</sub> -10)	0,35+0,00375*(I <sub>P</sub> -10)

Se tegning nr. 10215021-06-RIG-TEG-880.1 til -884.1 for geotekniske data som er benyttet i beregningene.

## A.2 Stabilitetsberegninger

### A.2.1 Generelt

Det er utført stabilitetsberegnning i fire profiler; J1, M, O og P. Det er utført beregninger både på effektiv- og totalspenningsbasis. Tolket lagdeling er vist i tegning nr. 10215021-06-RIG-TEG-780 til -784. Plassering av profilene er vist på situasjonsplan i tegning nr. 10215021-06-RIG-TEG-001.3

### A.2.2 Beregningsverktøy

Stabilitetsberegningene er utført i beregningsprogrammet «GeoSuite Stability» versjon 22.0.3.0 med beregningsmetode «BEAST 2003». Beregningsmetoden er basert på grenselikevektsmetoden, og anvender en versjon av lamellemetoden som tilfredsstiller både kraft- og momentlikevekt. Programmet søker selv etter kritisk sirkulærsvindrisk glideflate for definerte variasjonsområder av sirkelsentrums. Det er også søkt etter sammensatte skjærflater.

### A.2.3 Laster

Ved stabilitetsberegningene er det benyttet en jevnt fordelt last for bygninger på 10 kPa per etasje, med fratrekkslast for bygg med kjeller.

Det er konservativt antatt at ny bebyggelse vil tilføre 50 kPa på eksisterende terregn, ut mot ravinekantene, med forutsetning om at eksisterende bebyggelse er anlagt kompensert. Der hvor 50 kPa ikke er nok til å overskride aktuell sikkerhetsfaktor er lasten økt inntil laveste nødvendig sikkerhetsfaktor er oppnådd.

Det er også benyttet trafikklast på 15 kPa der hvor det er aktuelt. For ugunstig last er det inkludert lastfaktor  $\gamma Q = 1,3$ .

#### A.2.4 Beregningsresultater

Beregningsresultat er vist i tegning nr. 10215021-06-RIG-TEG-880.1 og -884.1.

For mulig utbygging i profil J1 er laveste beregnede sikkerhet ved en udrenert analyse (ADP) beregnet til 1,29. Laveste beregnede sikkerhet for en drenert analyse (afi) for mulig utbygging er beregnet til 1,95. For å tilfredsstille krav til NVE 1/2019 er det gjort stabilitetsberegninger med en motfylling i foten av skråningen. Geometrien av motfyllingen er justert inntil tilfredsstillende sikkerhetsfaktor (1,61) er oppnådd.

For å se på helheten av skråningen ned mot Dødens dal er det utført en tilsvarende beregning i profil M. For dagens situasjon, uten bygningslast, er laveste beregnede sikkerhet for skråningen i profil M beregnet til 1,30 ved udrenert analyse (ADP). For drenert analyse (afi) er laveste beregnede sikkerhet 1,58. Som i profil J1 er det gjort stabilitetsberegninger med en motfylling i foten av skråningen for å tilfredsstille krav til NVE 1/2019. Geometrien av motfyllingen er justert inntil tilfredsstillende sikkerhetsfaktor (1,61) er oppnådd.

For mulig utbygging i profil O ble det utført stabilitetsberegninger for å finne ut hvor mye last som kan påføres eksisterende terrenge før krav til tilfredsstillende sikkerhet iht. Eurokode 7 overskrides. Beregninger viser at en kan påføre inntil 80 kPa på eksisterende terrenge før beregnet sikkerhet ved udrenert analyse (ADP) blir lavere enn 1,40. Tilsvarende lastsituasjon gir en beregnet sikkerhet for drenert analyse (afi) på 1,55.

For mulig utbygging i profil P ble det utført stabilitetsberegninger for en tilleggslast på 50 kPa på eksisterende terrenge. Laveste beregnede sikkerhet ved en udrenert analyse (ADP) beregnet til 1,40, mens laveste beregnede sikkerhet for en drenert analyse (afi) er beregnet til 1,29.

*Tabell 2-1: Beregningsresultater for mest kritiske glidesirkler ved stabilitetsberegninger i delområde 3.*

Profil	Analyse	Krav	Resultater – Mulig utbygging	Resultater – Stabiliserende tiltak
J1	ADP	1,61	1,29	1,61
	aφ	1,25	1,95	-
M	ADP	1,61	1,30	1,61
	aφ	1,25	1,58	-
O	ADP	1,40	1,40	-
	aφ	1,25	1,55	-
P	ADP	1,40	1,40	-
	aφ	1,25	1,29	-

### A.3 Referanser

- [1] Statens vegvesen, Vegdirektoratet, «Geoteknikk i vegbygging (Håndbok V220)», Vegdirektoratet, Oslo, Veileddning V220, 2018.
- [2] Norconsult, «5175072-RIG12 - SINTEF Horizon – Områdestabilitetsutredning av Gløshaugens vestskråning ved EFI», jul. 2021.
- [3] Multiconsult Norge AS, «10215021-01-RIG-RAP-001\_rev02 - Datarapport - Geotekniske grunnundersøkelser», feb. 2022.
- [4] Kjell Karlsrud, «521500-6. Sammenstilling av noen erfaringer med prøvetaking og effekt av proveforstyrrelse i norske marine leire.», NGI, 1991.
- [5] NVE, «NIFS Rapport 77/2014. Valg av karakteristisk cuA-profil basert på felt- og laboratorieundersøkelser.», mai 2015.
- [6] NTNU, «Kompendium for TBA4110 Geotechnics Field and Laboratory investigations», Geoteknisk avdeling, 2017.
- [7] T. Lunne, P.K. Robertson & J.J.M. Powell, «Cone penetration testing - In geotechnical practice», 1997.
- [8] K. Karlsrud, T. Lunne, D.A. Kort & S. Strandvik, «CPTU Correlations for Clays», 2005.
- [9] K. Karlsrud og F. G. Hernandez-Martinez, «Strength and deformation properties of Norwegian clays from laboratory tests on high-quality block samples», *Can. Geotech. J.*, bd. 50, nr. 12, s. 1273–1293, des. 2013, doi: 10.1139/cgj-2013-0298.
- [10] NVE, «NIFS Rapport 14/2014. En omforent anbefaling for bruk av anisotropifaktorer i prosjektering i norske leirer.», jan. 2014.

**Vedlegg B**  
**Tolkning av laboratorieforsøk og CPTU**

**B.1 – Treaksialforsøk**

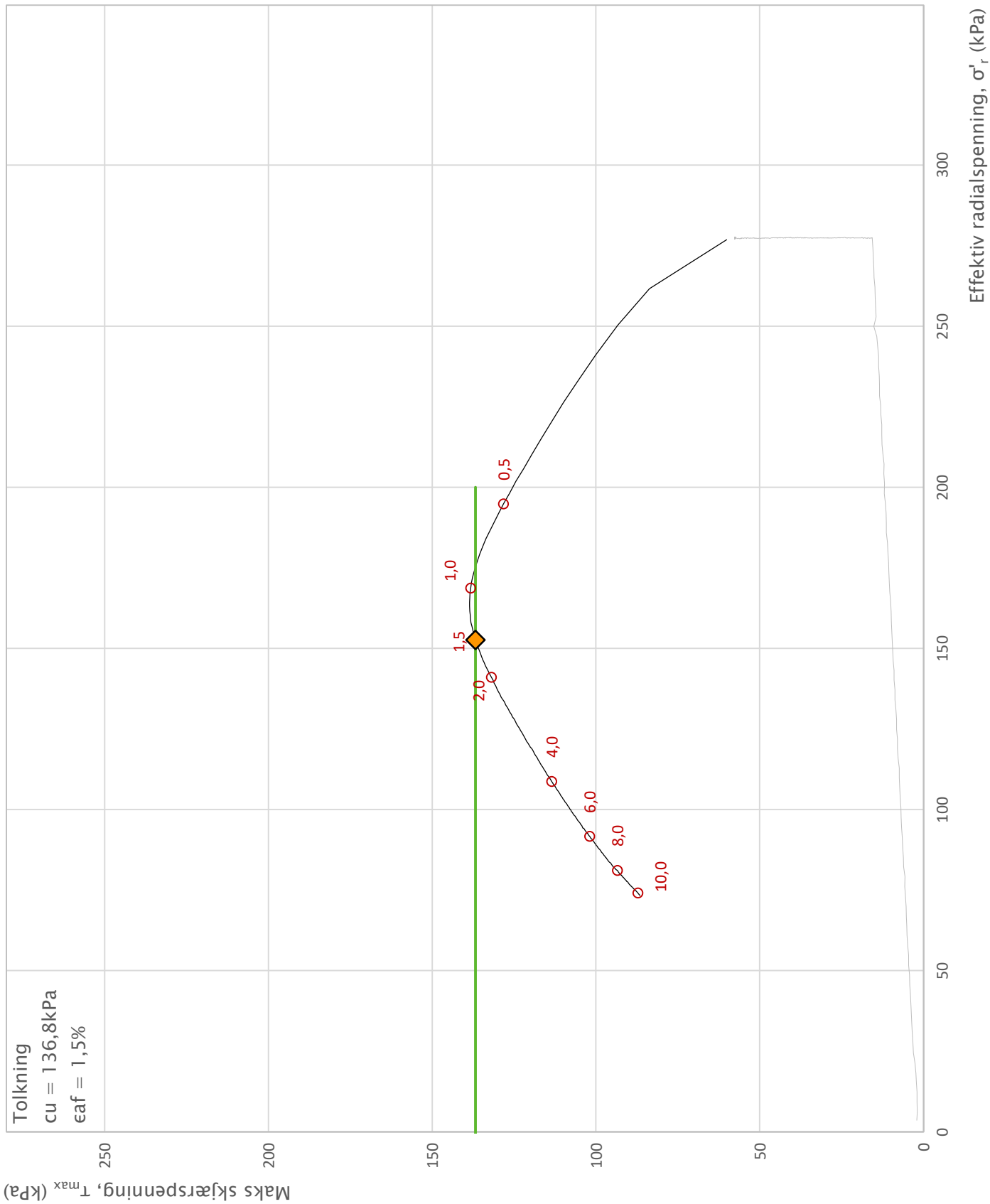
**B.2 – Ødometerforsøk**

**B.3 – CPTU-tolkning**

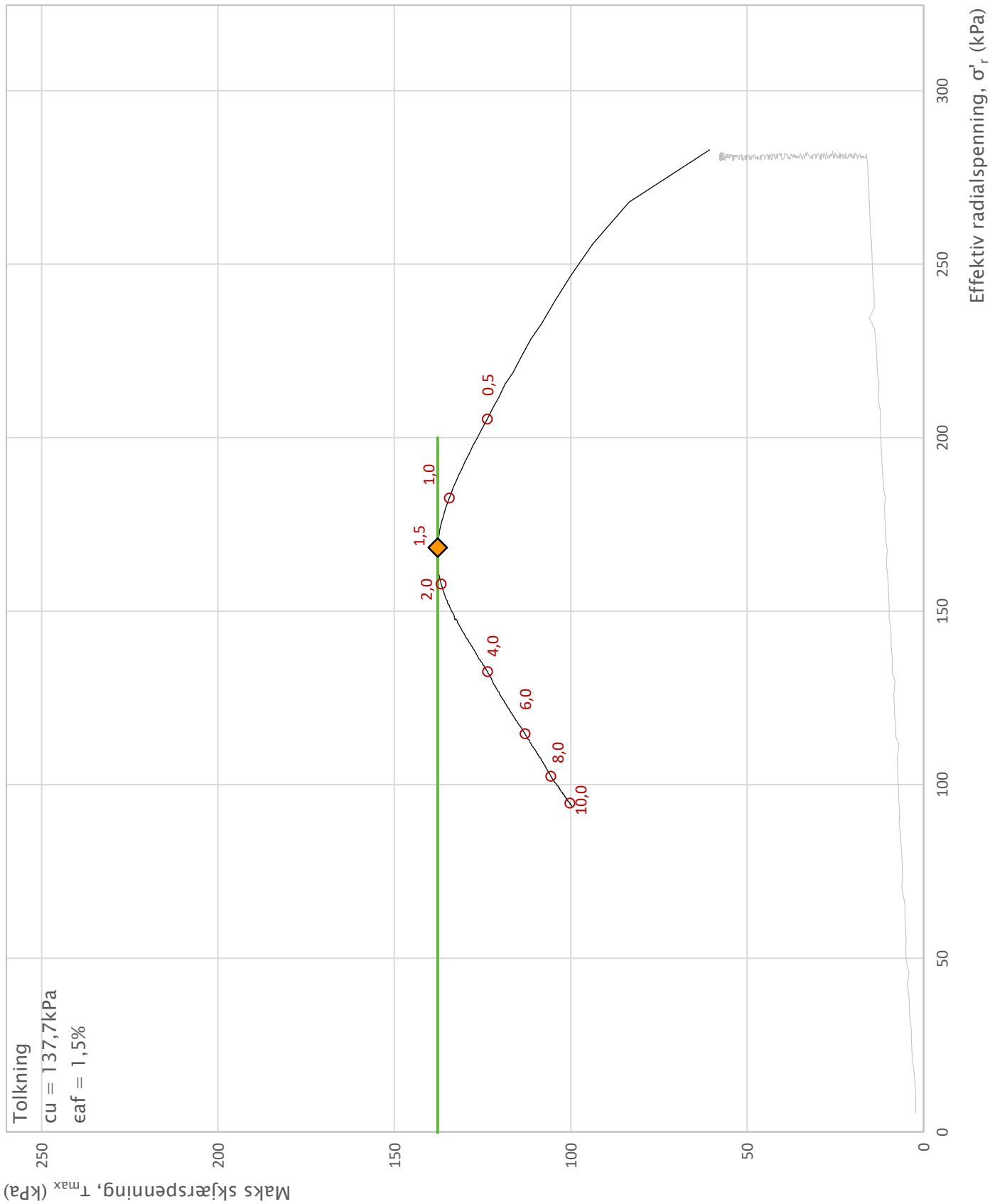
## **B.1 Treaksialforsøk**

Borpunkt 43 – Dybde 38,35 m

Borpunkt 43 – Dybde 39,5 m



Prosjekt	Prosjektnummer: 10215021-06. Rapportnummer: RIG-RAP-003			Borhull
<b>NTNU Campusutvikling – Områdeplaner</b>				<b>1</b>
Innhold				Dybde (m)
Spenningssti i skjærfase, $\sigma'_r$ - $\tau$ plott (NTNU)				<b>38,35</b>
<b>Multiconsult</b>	Utført FRA	Kontrollert PBK	Godkjent ANG	Forsøkstype <b>CAUc</b>
Region Midt	Dato utført 31.01.2022	Revisjon 0	Rev. dato 21.02.2022	Figur <b>B.1</b>



Prosjekt <b>NTNU Campusutvikling – Områdeplaner</b>	Prosjektnummer: 10215021-06. Rapportnummer: RIG-RAP-003			Borhull <b>1</b>
Innhold Spenningssti i skjærfase, $\sigma'_r$ - $\tau$ plott (NTNU)				Dybde (m) <b>39,50</b>
<b>Multiconsult</b>	Utført FRA	Kontrollert PBK	Godkjent ANG	Forsøkstype <b>CAUc</b>
Region Midt	Date utført 31.01.2022	Revisjon 0	Rev. dato 21.02.2022	Figur <b>B.1</b>

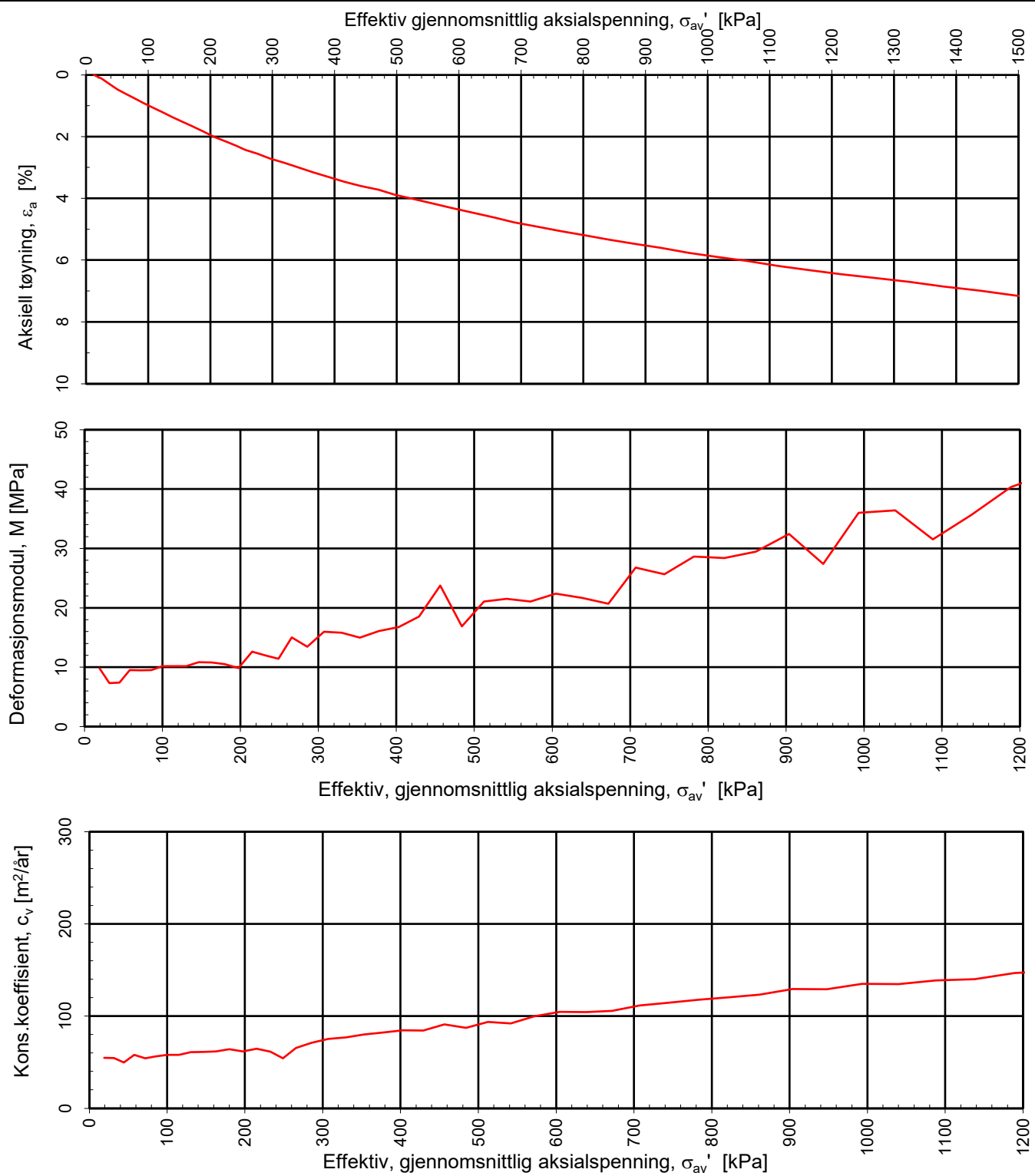
## **B.2 Ødometerforsøk**

Borpunkt 43 – Dybde 21,2 m

Borpunkt 43 – Dybde 38,47 m

Borpunkt 43 – Dybde 39,43 m

Borpunkt 43 – Dybde 41,2 m



Densitet  $\rho$  ( $\text{g}/\text{cm}^3$ ):

**2,11**

Vanninnhold  $w$  (%):

**23,70**

**COWI**

**NTNU, vurdering av byggbarhet**

Tegningens filnavn:

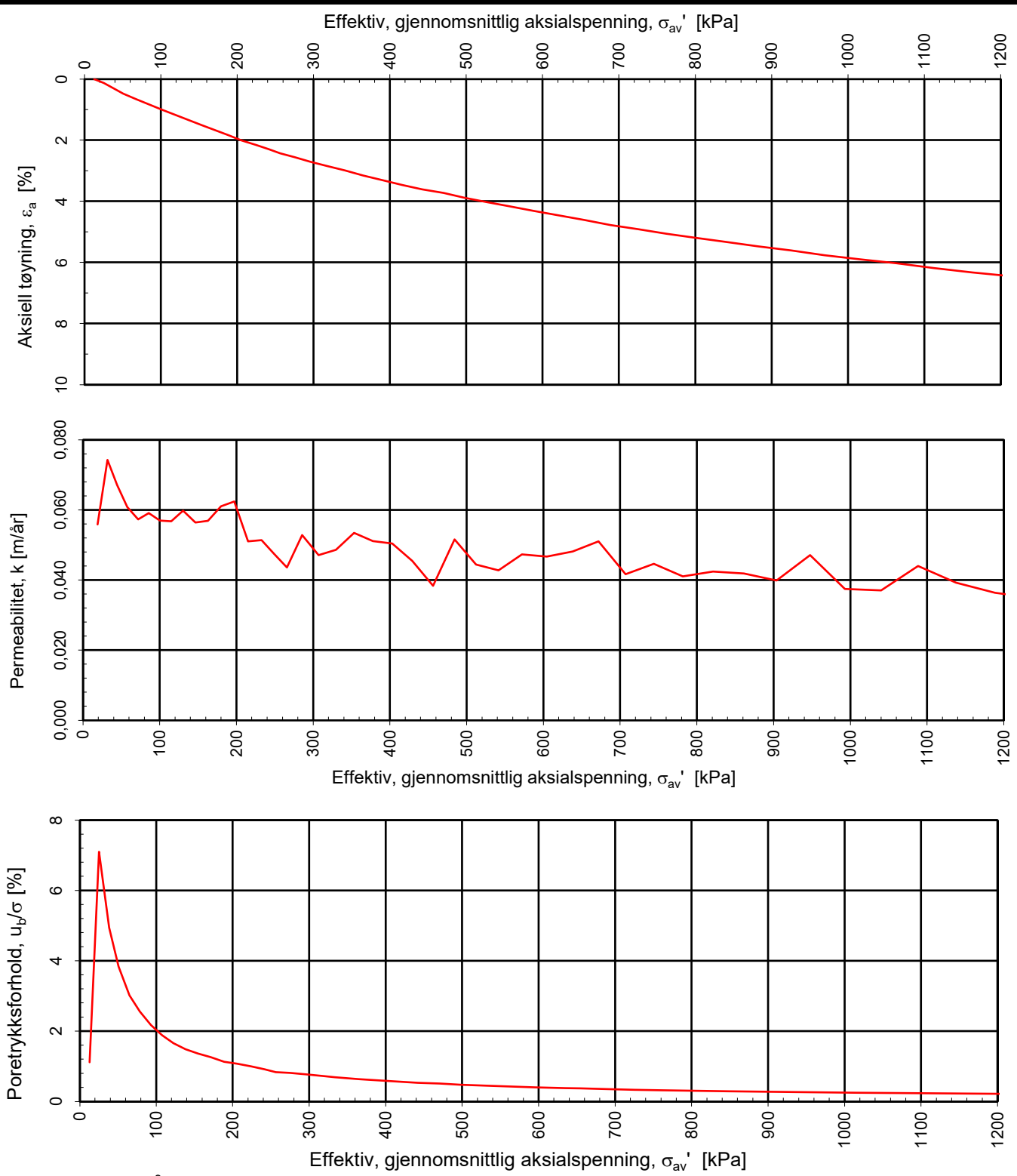
10215021-07-RIG-TEG-415\_h1, 21,2m.xlsx

Kontinuerlig ødometerforsøk, CRS-rutine. Plott A:  $\sigma_{av}' - \varepsilon_a$ ,  $M$  og  $c_v$ .

**Multi  
consult**

**MULTICONSULT  
NORGE AS**  
Sluppenvegen 15,  
7486 TRONDHEIM  
Tlf.: 73 10 62 00  
Faks: 73 10 62 30

Forsøksdato:	01.02.2022	Dybde, $z$ (m):	21,20	Borpunkt nr.:	43
Forsøknr.:	15	Tegnet av:	truk	Kontrollert:	vt
Oppdrag nr.:	10215021	Tegning nr.:	RIG-TEG-415.1	Prosedyre:	CRS
				Programrevisjon:	16.07.2018



Densitet  $\rho$  (g/cm<sup>3</sup>):

2,11

Vanninnhold w (%):

23,70

**COWI**

**NTNU, vurdering av byggbarhet**

Kontinuerlig ødometerforsøk, CRS-rutine. Plott B:  $\sigma'_{av}$  -  $\varepsilon_a$ ,  $k$  og  $u_b/\sigma$ .

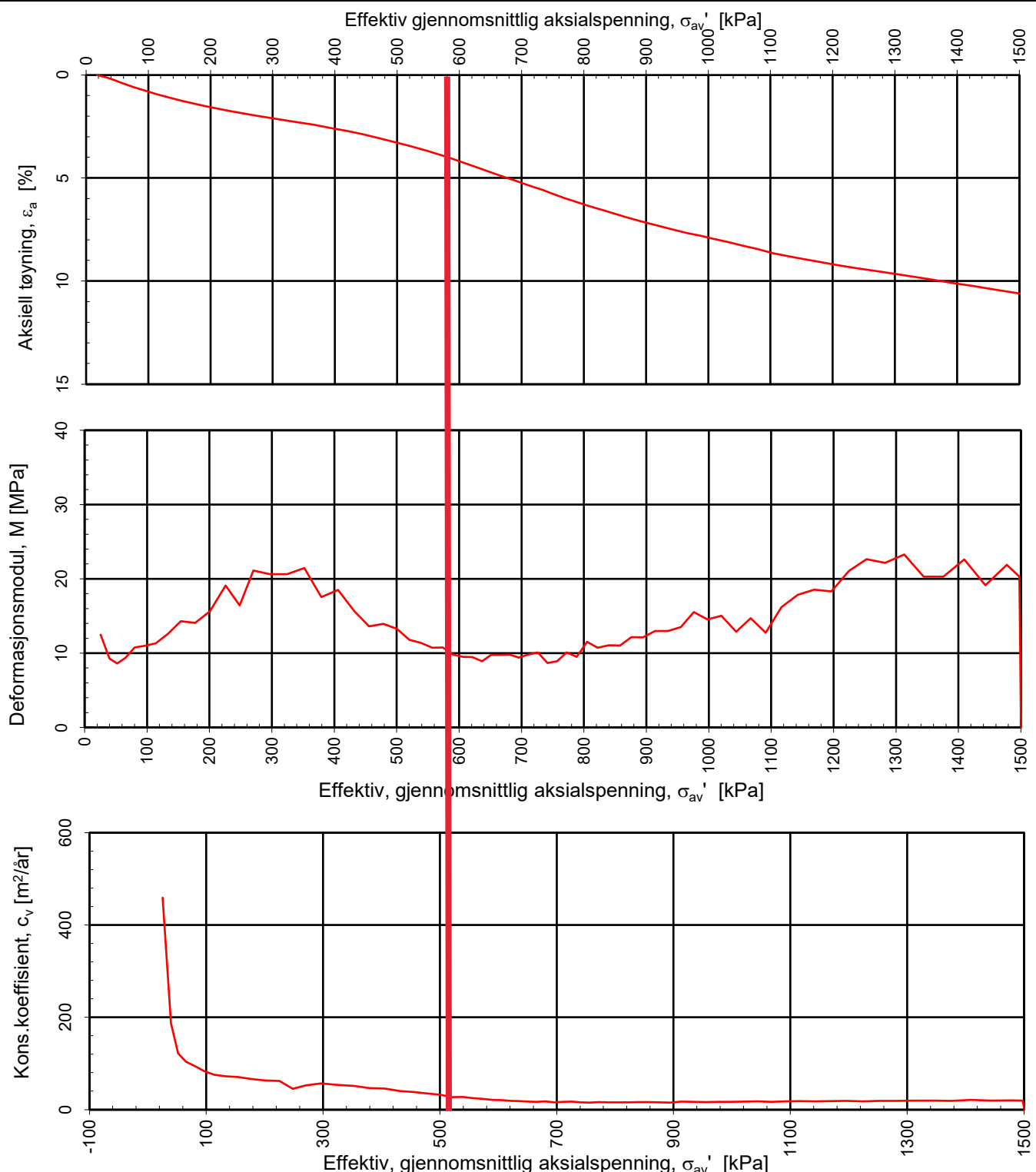
Tegningens filnavn:

10215021-07-RIG-TEG-415\_h1, 21,2m.xlsx

**Multi  
consult**

**MULTICONSULT  
NORGE AS**  
Sluppenvegen 15,  
7486 TRONDHEIM  
Tlf.: 73 10 62 00  
Faks: 73 10 62 30

Forsøksdato:	01.02.2022	Dybde, z (m):	21,20	Borpunkt nr.:	43
Forsøknr.:	15	Tegnet av:	truk	Kontrollert:	vt
Oppdrag nr.:	10215021	Tegning nr.:	RIG-TEG-415.2	Prosedyre:	CRS
				Programrevisjon:	16.07.2018



Densitet  $\rho$  ( $\text{g}/\text{cm}^3$ ):

**2,08**

Vanninnhold  $w$  (%):

**24,80**

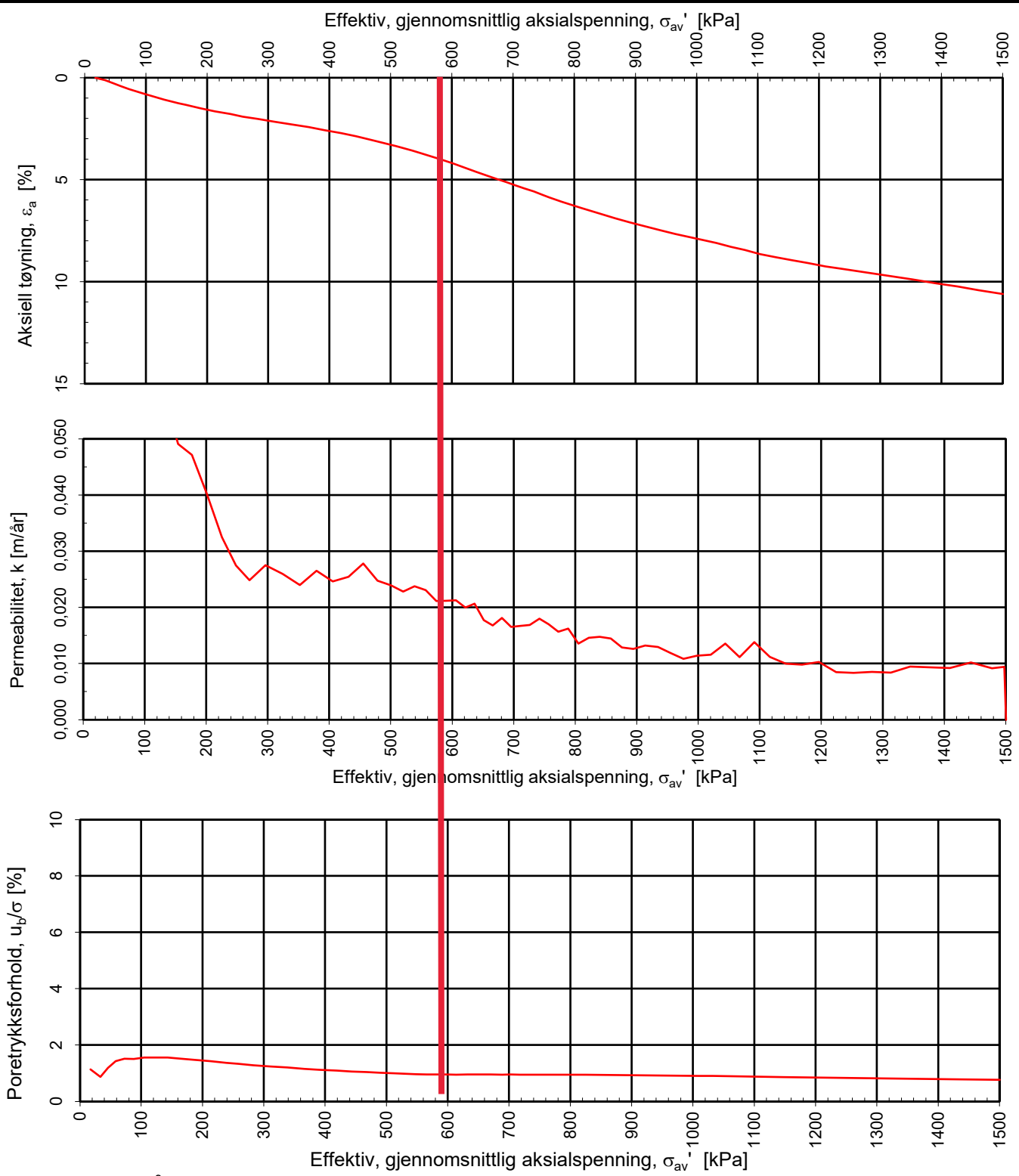
**COWI**

**NTNU, vurdering av byggbarhet**

Tegningens filnavn:

10215021-07-RIG-TEG-416\_h1, 38,47m.xlsx

<b>MULTICONSULT NORGE AS</b> Sluppenvegen 15, 7486 TRONDHEIM Tlf.: 73 10 62 00 Faks: 73 10 62 30	Forsøksdato:	Dybde, $z$ (m):	Borpunkt nr.:	<b>Multi consult</b>
	31.01.2022	38,47	43	
	Forsøknr.:	Tegnet av:	Kontrollert:	
	16	truk	vt	
Oppdrag nr.:		Tegning nr.:	Prosedyre:	Programrevasjon:
10215021		RIG-TEG-416.1	CRS	16.07.2018



Densitet  $\rho$  (g/cm<sup>3</sup>):

2,08

Vanninnhold w (%):

24,80

**COWI**

**NTNU, vurdering av byggbarhet**

Kontinuerlig ødometerforsøk, CRS-rutine. Plott B:  $\sigma'_{av}$  -  $\varepsilon_a$ ,  $k$  og  $u_b/\sigma$ .

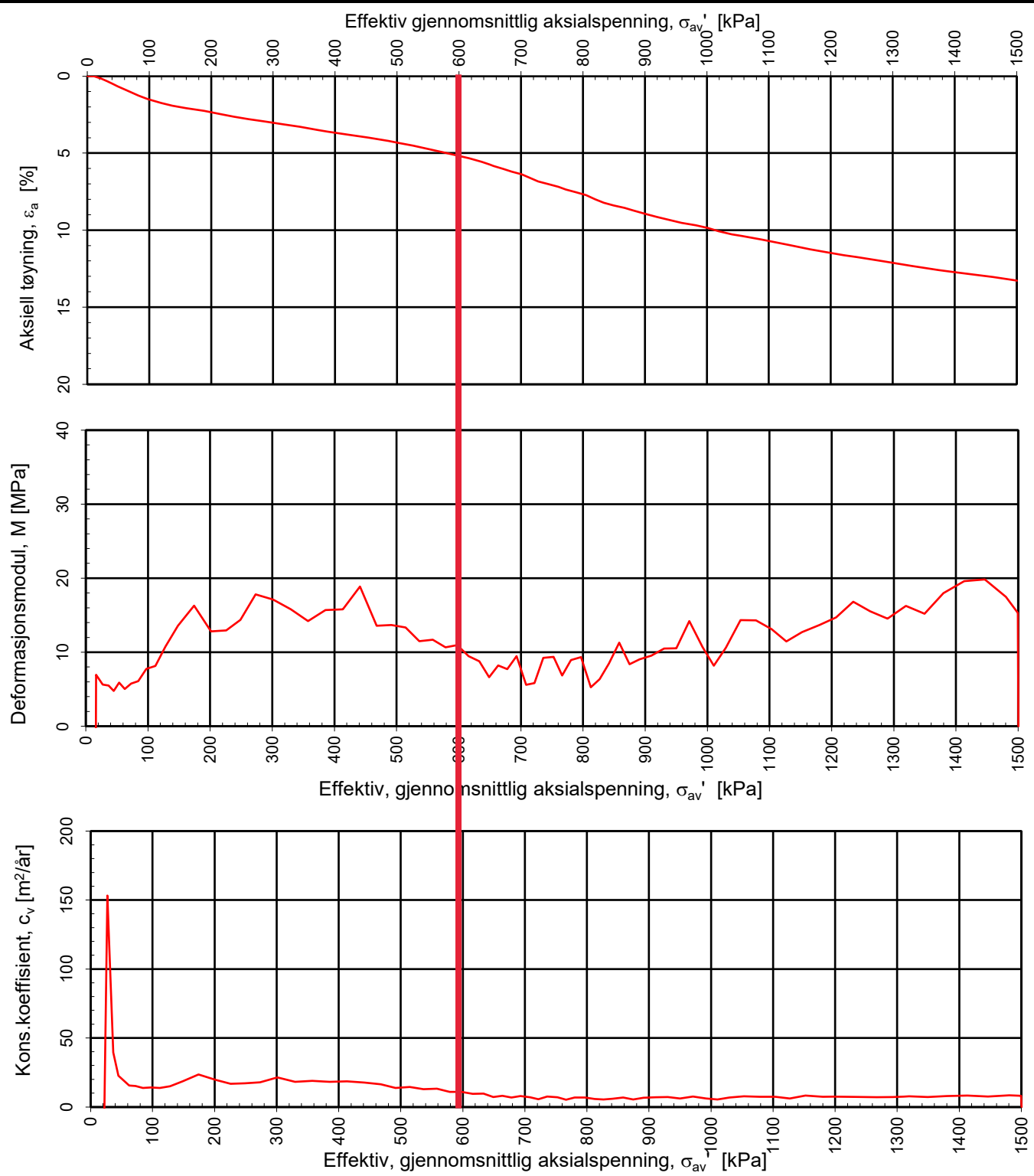
Tegningens filnavn:

10215021-07-RIG-TEG-416\_h1, 38,47m.xlsx

**Multi  
consult**

**MULTICONSULT  
NORGE AS**  
Sluppenvegen 15,  
7486 TRONDHEIM  
Tlf.: 73 10 62 00  
Faks: 73 10 62 30

Forsøksdato:	31.01.2022	Dybde, z (m):	38,47	Borpunkt nr.:	43
Forsøknr.:	16	Tegnet av:	truk	Kontrollert:	vt
Oppdrag nr.:	10215021	Tegning nr.:	RIG-TEG-416.2	Prosedyre:	CRS
				Programrevisjon:	16.07.2018



Densitet  $\rho$  ( $\text{g}/\text{cm}^3$ ):

**1,95**

Vanninnhold  $w$  (%):

**34,50**

**COWI**

**NTNU, vurdering av byggbarhet**

Tegningens filnavn:

10215021-07-RIG-TEG-417\_h1, 39,43.xlsx

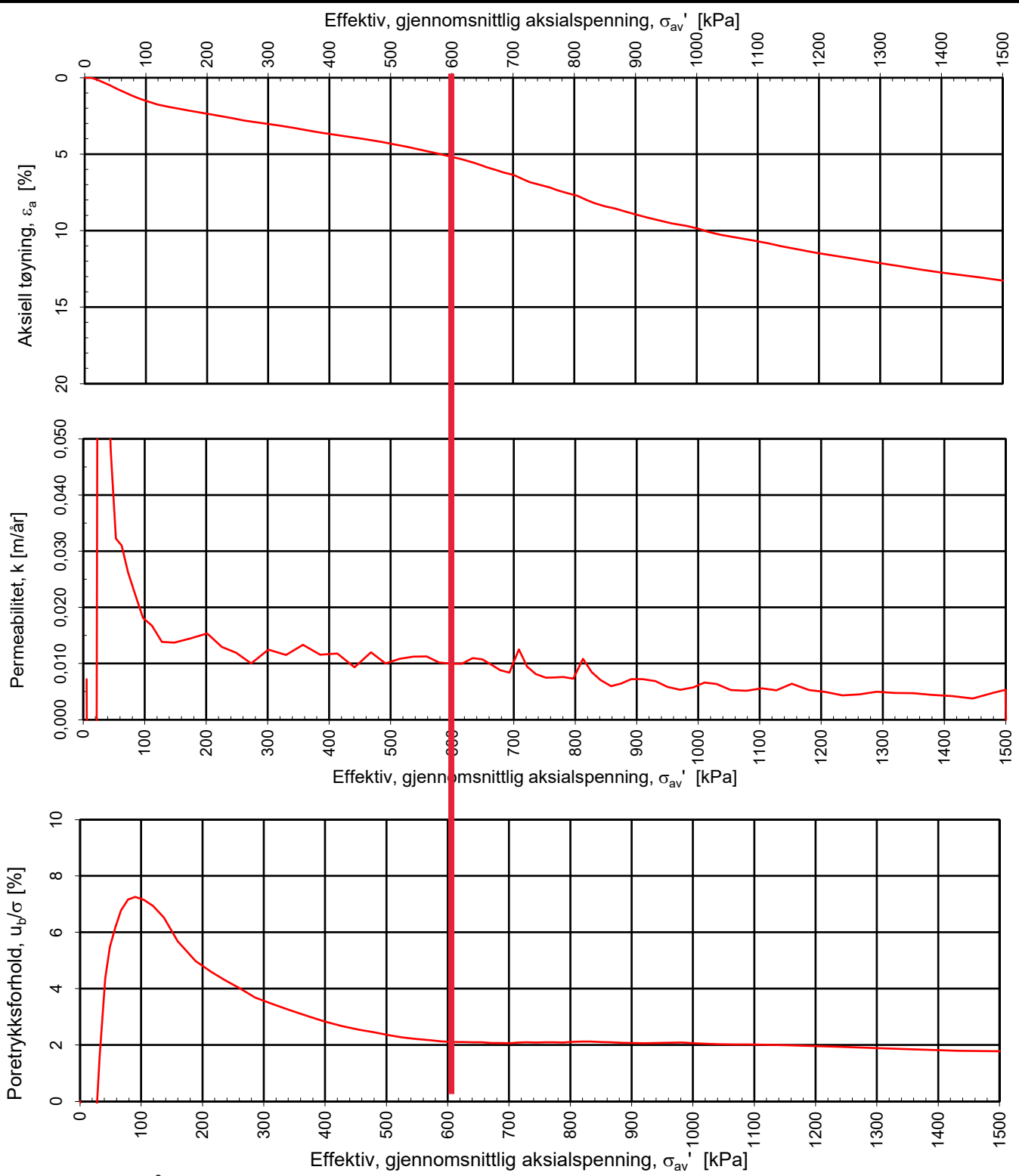
Kontinuerlig ødometerforsøk, CRS-rutine. Plott A:  $\sigma_{av}' - \varepsilon_a$ ,  $M$  og  $c_v$ .

**Multi  
consult**

**MULTICONSULT  
NORGE AS**

Sluppenvegen 15,  
7486 TRONDHEIM  
Tlf.: 73 10 62 00  
Faks: 73 10 62 30

Forsøksdato:	31.01.2022	Dybde, $z$ (m):	39,43	Borpunkt nr.:	43
Forsøknr.:	17	Tegnet av:	truk	Kontrollert:	vt
Oppdrag nr.:	10215021	Tegning nr.:	RIG-TEG-417.1	Prosedyre:	CRS
				Programrevisjon:	16.07.2018



Densitet  $\rho$  (g/cm<sup>3</sup>):

1,95

Vanninnhold w (%):

34,50

**COWI**

**NTNU, vurdering av byggbarhet**

Kontinuerlig ødometerforsøk, CRS-rutine. Plott B:  $\sigma'_{av}$  -  $\varepsilon_a$ ,  $k$  og  $u_b/\sigma$ .

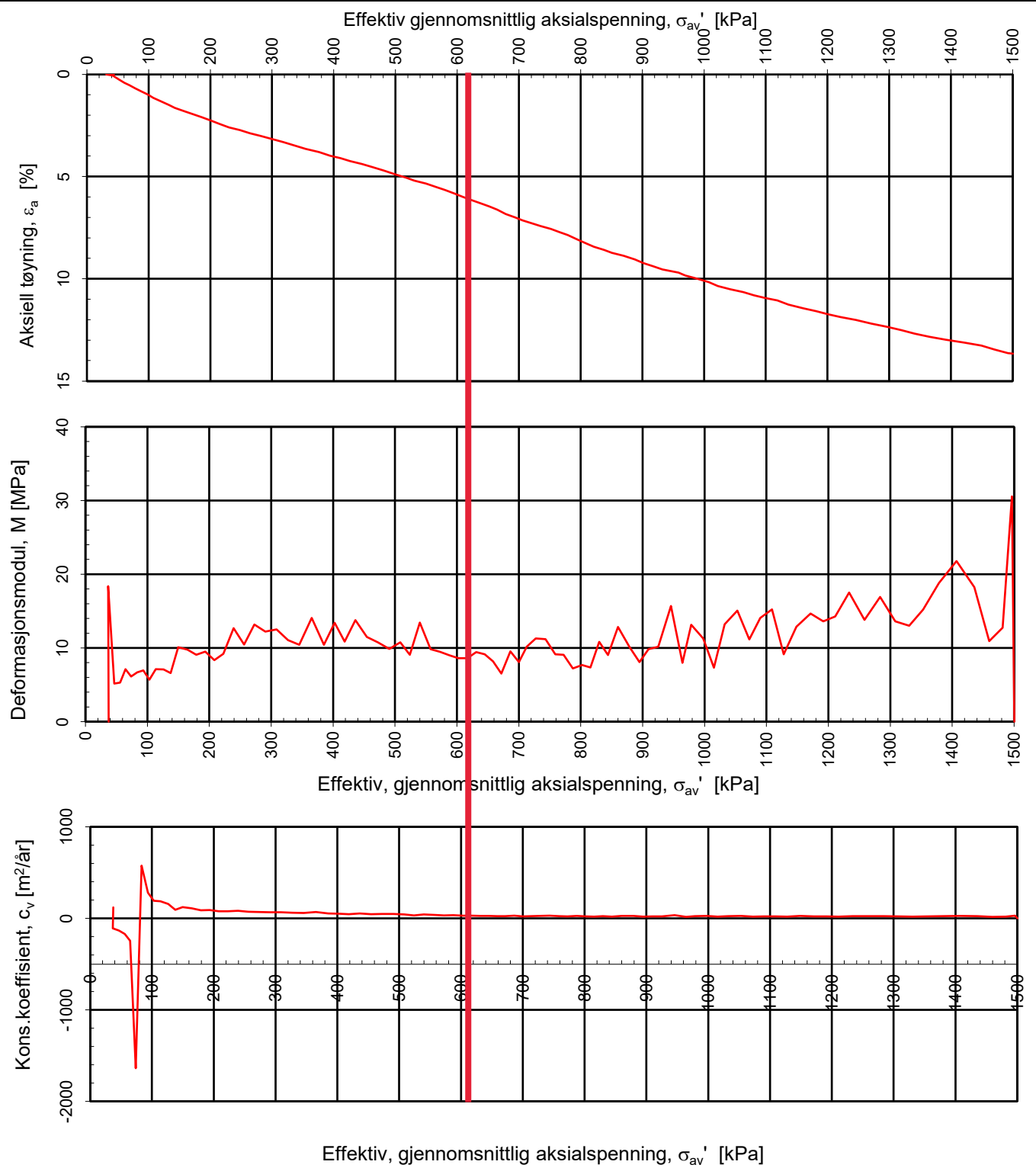
Tegningens filnavn:

10215021-07-RIG-TEG-417\_h1, 39,43m.xlsx

**Multi  
consult**

**MULTICONSULT  
NORGE AS**  
Sluppenvegen 15,  
7486 TRONDHEIM  
Tlf.: 73 10 62 00  
Faks: 73 10 62 30

Forsøksdato:	31.01.2022	Dybde, z (m):	39,43	Borpunkt nr.:	43
Forsøknr.:	17	Tegnet av:	truk	Kontrollert:	vt
Oppdrag nr.:	10215021	Tegning nr.:	RIG-TEG-417.2	Prosedyre:	CRS
				Programrevisjon:	16.07.2018



Densitet  $\rho$  (g/cm<sup>3</sup>):

**1,87**

Vanninnhold w (%):

**34,70**

**COWI**

**NTNU, vurdering av byggbarhet**

Tegningens filnavn:

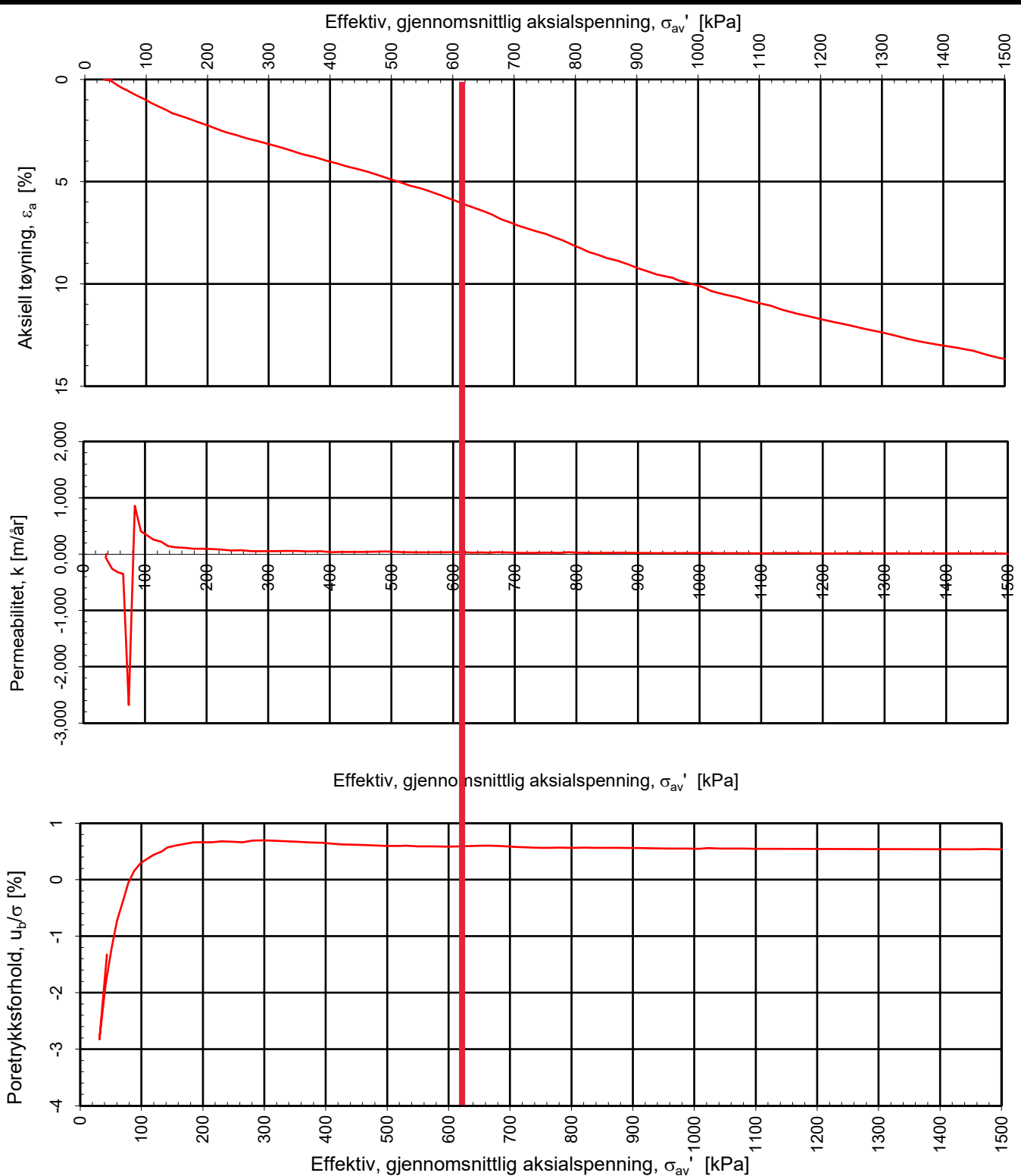
10215021-07-RIG-TEG-418\_h1, 41,2m .xlsx

Kontinuerlig ødometerforsøk, CRS-rutine. Plott A:  $\sigma'_{av}$  -  $\varepsilon_a$ , M og  $c_v$ .

**Multi  
consult**

**MULTICONSULT  
NORGE AS**  
Sluppenvegen 15,  
7486 TRONDHEIM  
Tlf.: 73 10 62 00  
Faks: 73 10 62 30

Forsøksdato:	01.02.2022	Dybde, z (m):	41,20	Borpunkt nr.:	43
Forsøknr.:	18	Tegnet av:	truk	Kontrollert:	vt
Oppdrag nr.:	10215021	Tegning nr.:	RIG-TEG-418.1	Prosedyre:	CRS
				Programrevisjon:	16.07.2018



Densitet  $\rho$  (g/cm<sup>3</sup>):

1,87

Vanninnhold w (%):

34,70

**COWI**

**NTNU, vurdering av byggbarhet**

Kontinuerlig ødometerforsøk, CRS-rutine. Plott B:  $\sigma'_{av}$  -  $\varepsilon_a$ ,  $k$  og  $u_b/\sigma$ .

Tegningens filnavn:

10215021-07-RIG-TEG-418\_h1, 41,2m .xlsx

**Multi  
consult**

**MULTICONSULT  
NORGE AS**  
Sluppenvegen 15,  
7486 TRONDHEIM  
Tlf.: 73 10 62 00  
Faks: 73 10 62 30

Forsøksdato:	01.02.2022	Dybde, z (m):	41,20	Borpunkt nr.:	43
Forsøknr.:	18	Tegnet av:	truk	Kontrollert:	vt
Oppdrag nr.:	10215021	Tegning nr.:	RIG-TEG-418.2	Prosedyre:	CRS
				Programrevisjon:	16.07.2018

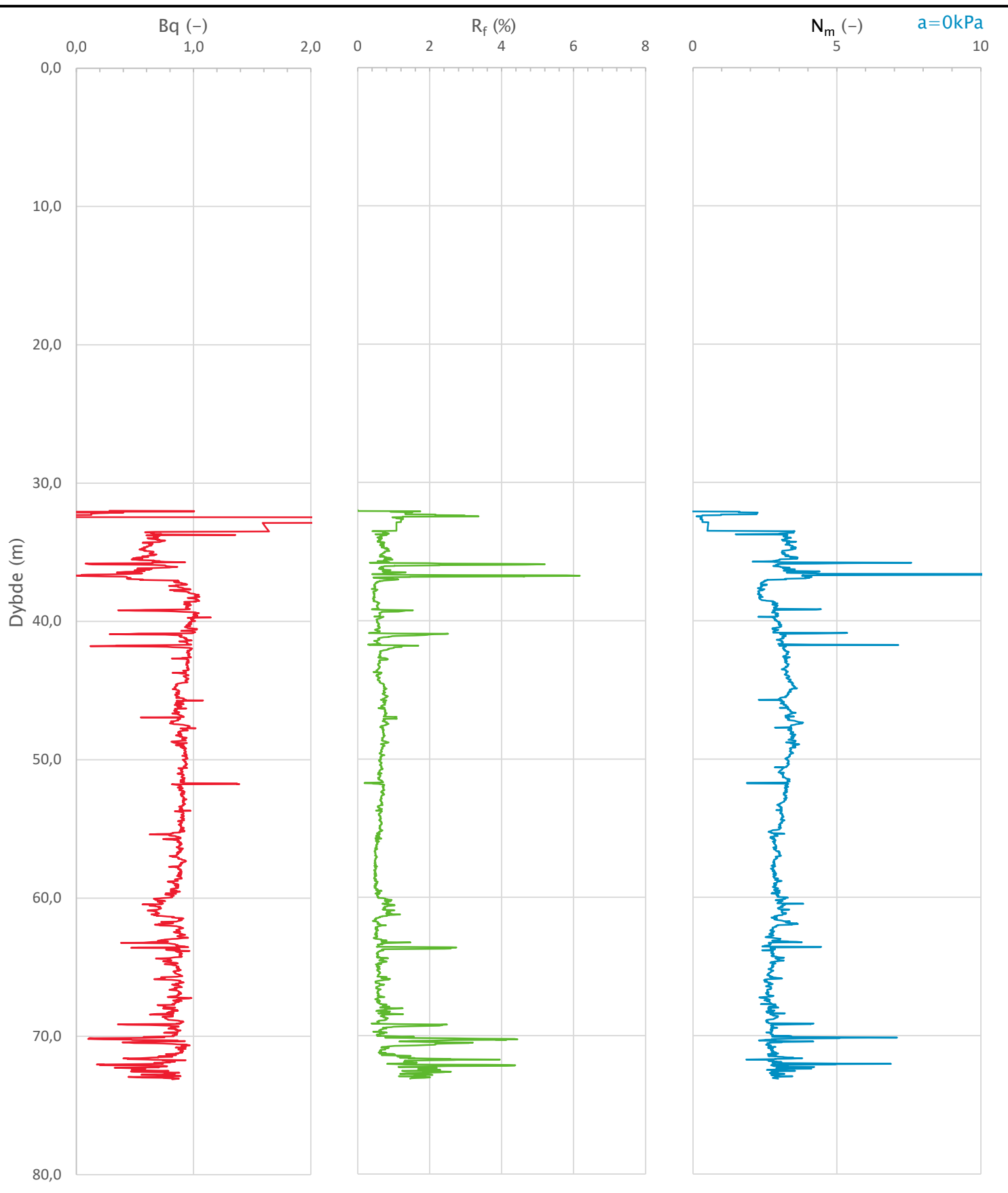
### **B.3 CPTU sonderinger**

CPTU 43

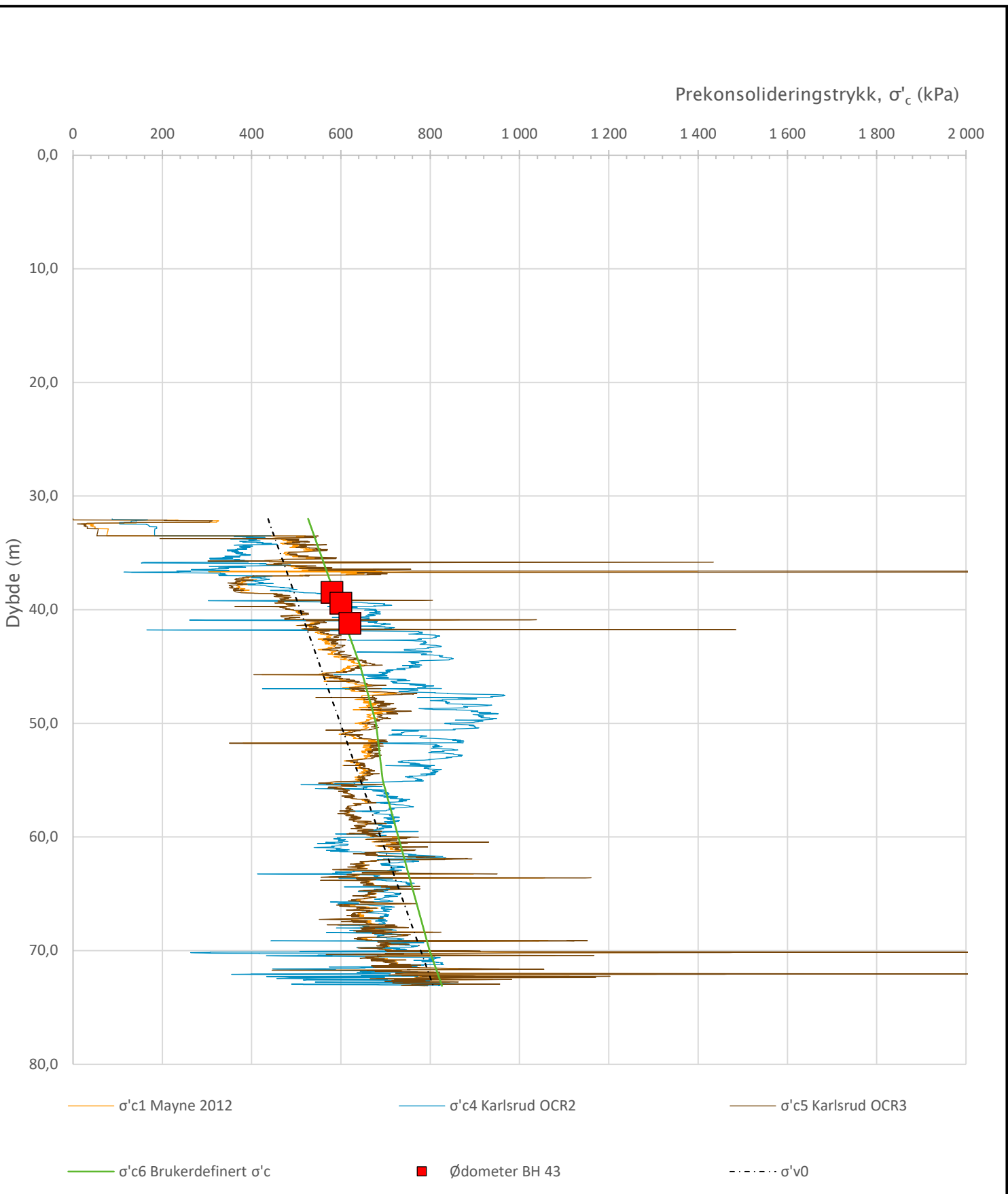
CPTU 44

CPTU 45

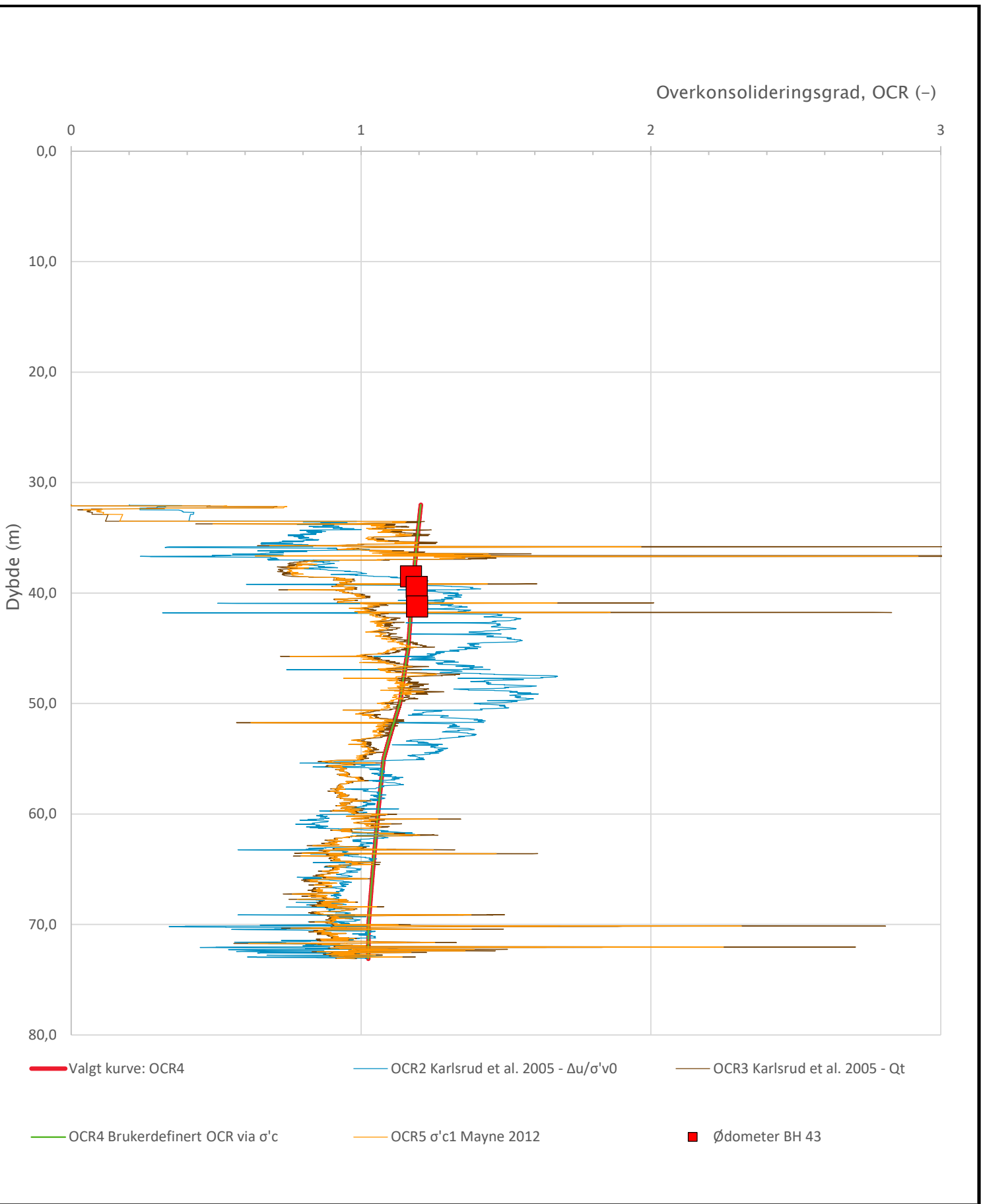
CPTU 48



Prosjekt <b>NTNU Campusutvikling – Områdeplaner</b>	Prosjektnummer: 10215021-06	Rapportnummer: RIG-RAP-003	Borhull Kote +46,6 <b>43</b>
Innhold Avleddede dimensjonsløse forhold		Sondenummer <b>4672</b>	
Multiconsult	Tegnet FRA Utførende Multiconsult Norge AS	Kontrollert PBK dato sondering 24.01.2022	Godkjent ANG Revisjon 0 Rev. dato 16.02.2022
		Anvend.klasse 1	RIG-TEG 522.4



Prosjekt	Prosjektnummer: 10215021-06	Rapportnummer: RIG-RAP-003	Borhull	Kote +46,6
<b>NTNU Campusutvikling – Områdeplaner</b>				<b>43</b>
Innhold			Sondenummer	
Prekonsolideringstrykk, $\sigma'_c$				<b>4672</b>
<b>Multiconsult</b>	Tegnet FRA	Kontrollert PBK	Godkjent ANG	Anvend.klasse <b>1</b>
	Utførende Multiconsult Norge AS	Dato sondering 24.01.2022	Revisjon 0	RIG-TEG <b>522.5</b>
			Rev. dato 21.02.2022	



Prosjekt	Prosjektnummer:	10215021-06	Rapportnummer:	RIG-RAP-003	Borhull	Kote +46,6
<b>NTNU Campusutvikling – Områdeplaner</b>					<b>43</b>	
Innhold					Sondenummer	
Overkonsolideringsgrad, OCR					<b>4672</b>	
<b>Multiconsult</b>	Tegnet FRA	Kontrollert PBK	Godkjent ANG	Anvend.klasse		1
	Utførende Multiconsult Norge AS	Dato sondering 24.01.2022	Revisjon 0	RIG-TEG		<b>522.6</b>
		Rev. dato 21.02.2022				

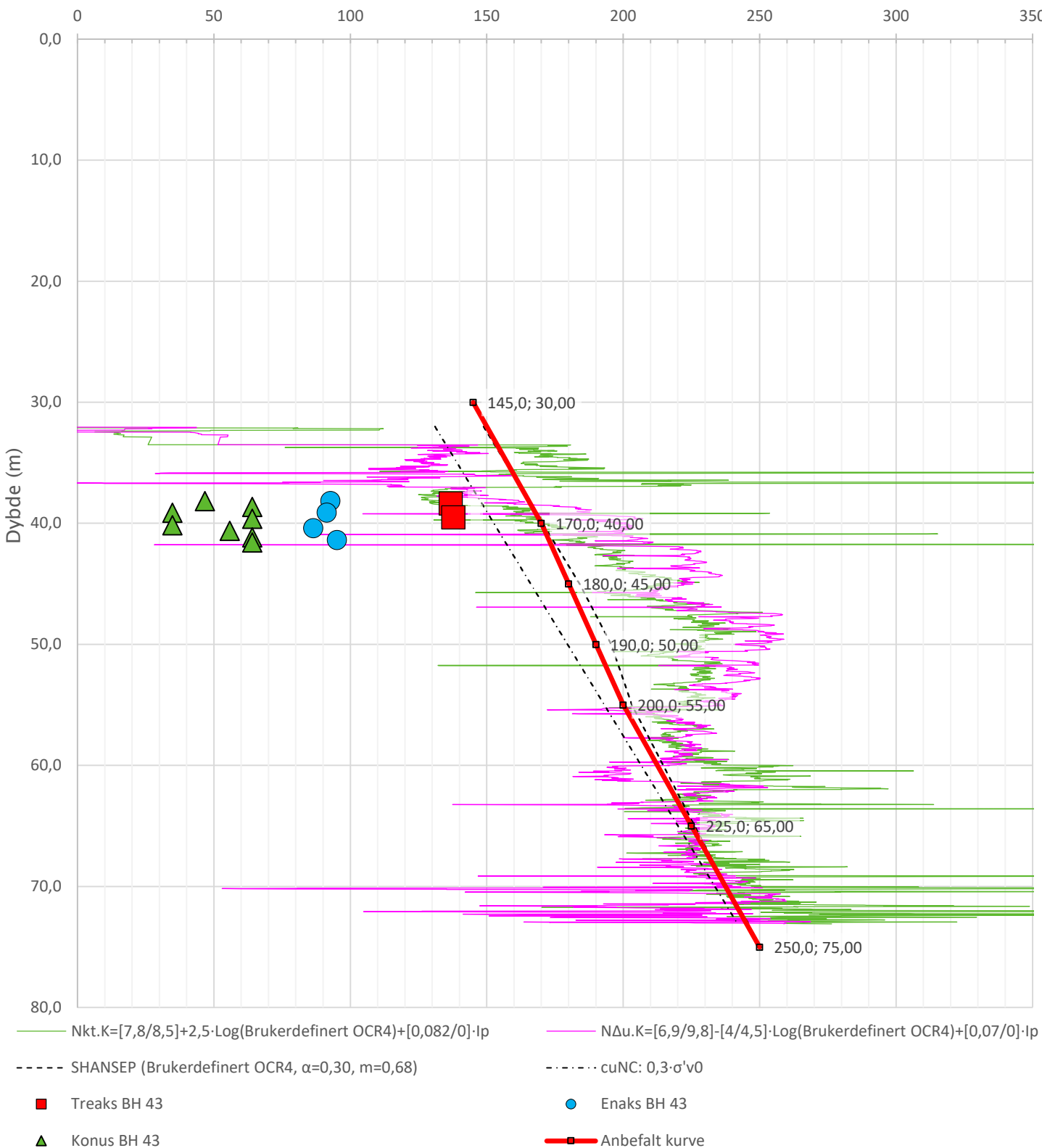
Anisotropiforhold i figur:

Treks BH 43: cuC/cuctu = 1,000

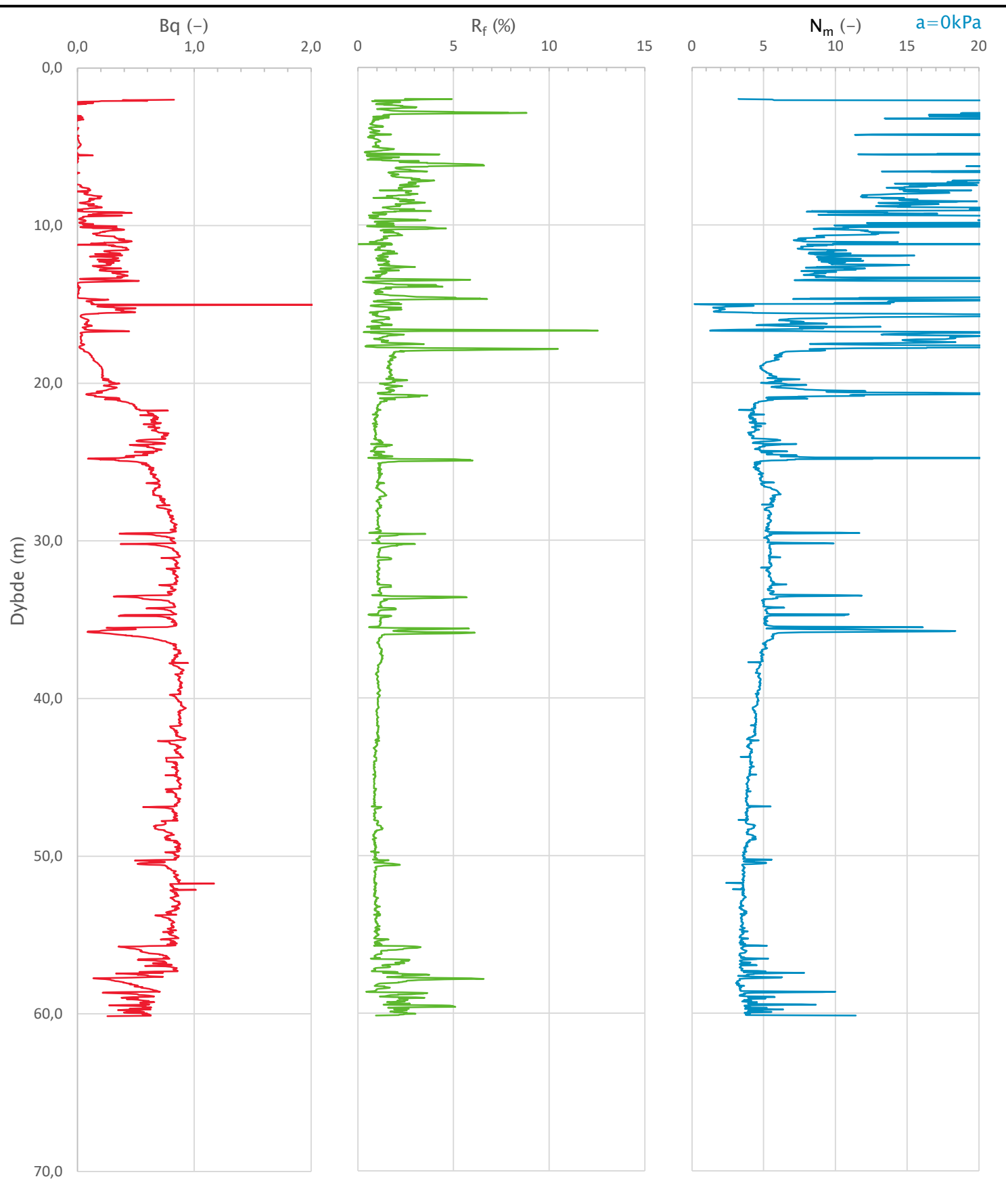
Enaks BH 43: cuuc/cuctu = 1,000

Konus BH 43: cufc/cuctu = 1,000

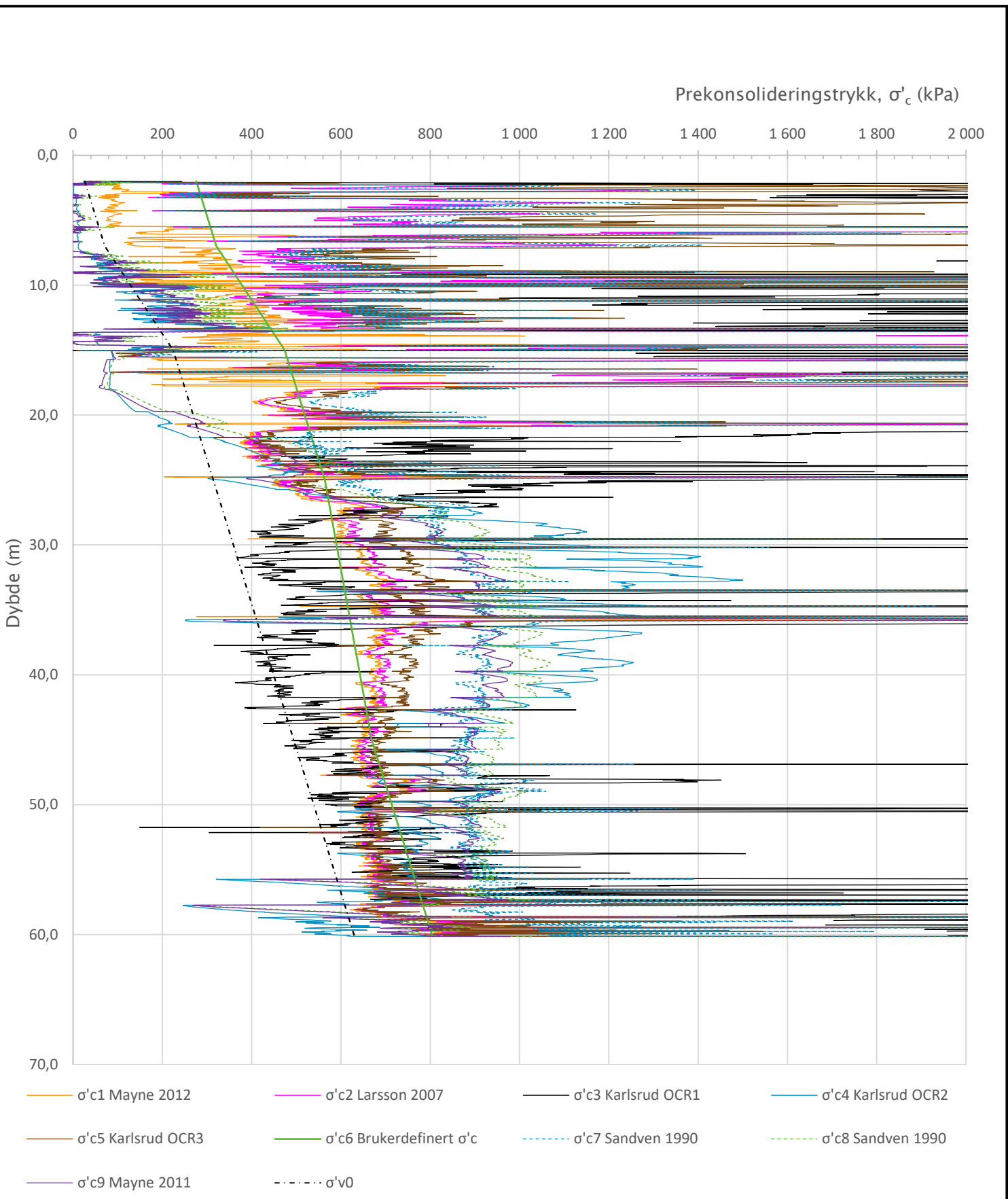
Udrenert aktiv skjærfasthet,  $c_{ucptu}$  (kPa)



Prosjekt	Prosjektnummer: 10215021-06	Rapportnummer: RIG-RAP-003	Borhull	Kote +46,6
<b>NTNU Campusutvikling – Områdeplaner</b>			<b>43</b>	
Innhold			Sondenummer	
Tolkning av udrenert aktiv skjærfasthet			<b>4672</b>	
<b>Multiconsult</b>	Tegnet FRA	Kontrollert PBK	Godkjent ANG	Anvend.klasse <b>1</b>
	Utførende Multiconsult Norge AS	Dato sondering 24.01.2022	Revisjon 0	RIG-TEG <b>522.7</b>
			Rev. dato 21.02.2022	

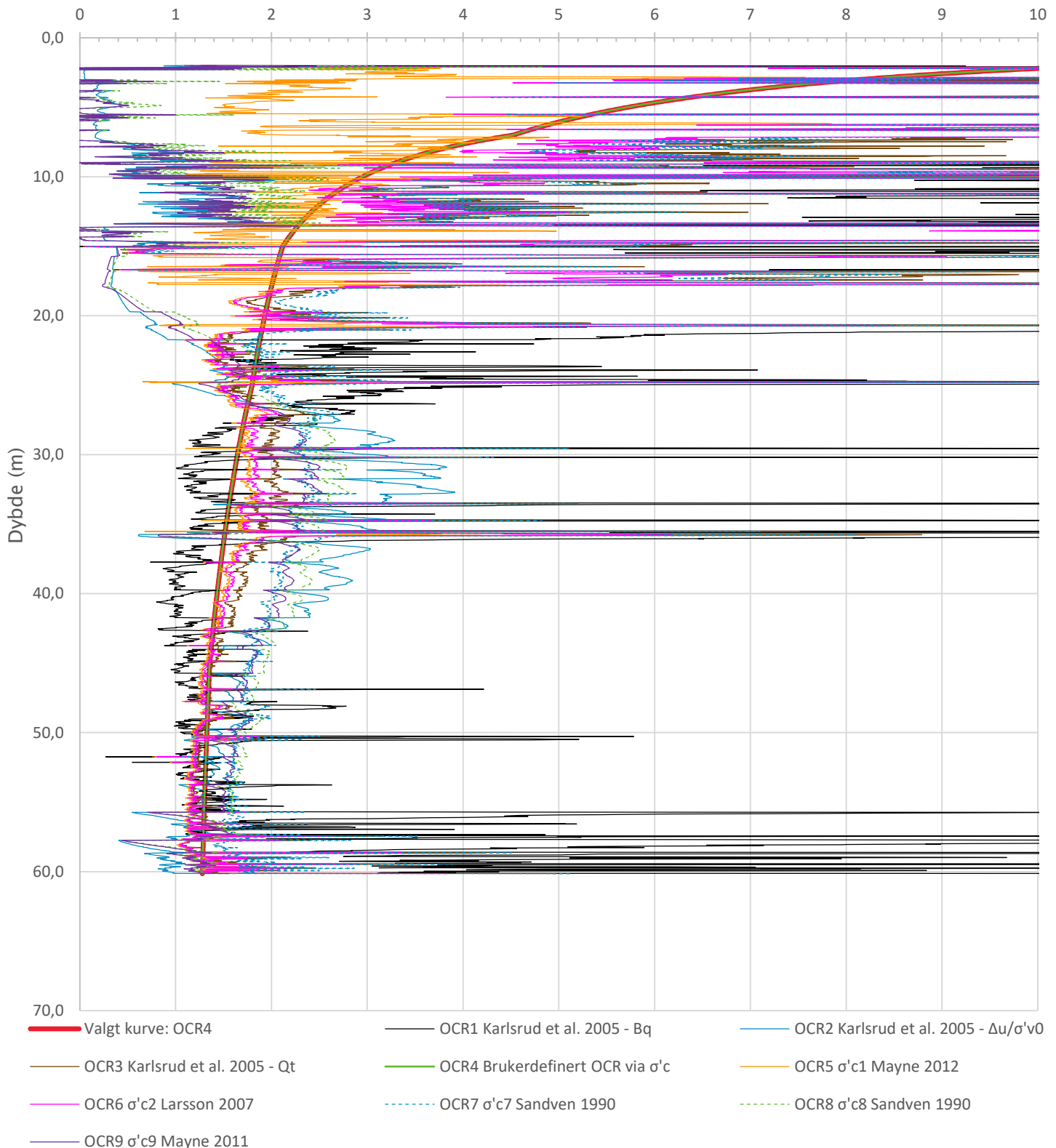


Prosjekt <b>NTNU Campusutvikling – Områdeplaner</b>	Prosjektnummer: 10215021-06	Rapportnummer: RIG-RAP-003	Borhull Kote +32,3 <b>44</b>
Innhold Avleddede dimensjonsløse forhold		Sondenummer <b>4672</b>	
<b>Multiconsult</b>	Tegnet FRA	Kontrollert PBK	Godkjent ANG
Utførende Multiconsult Norge AS	Date sondering 18.01.2022	Revisjon 0	Rev. dato 16.02.2022
		Anvend.klasse <b>1</b>	RIG-TEG <b>523.4</b>



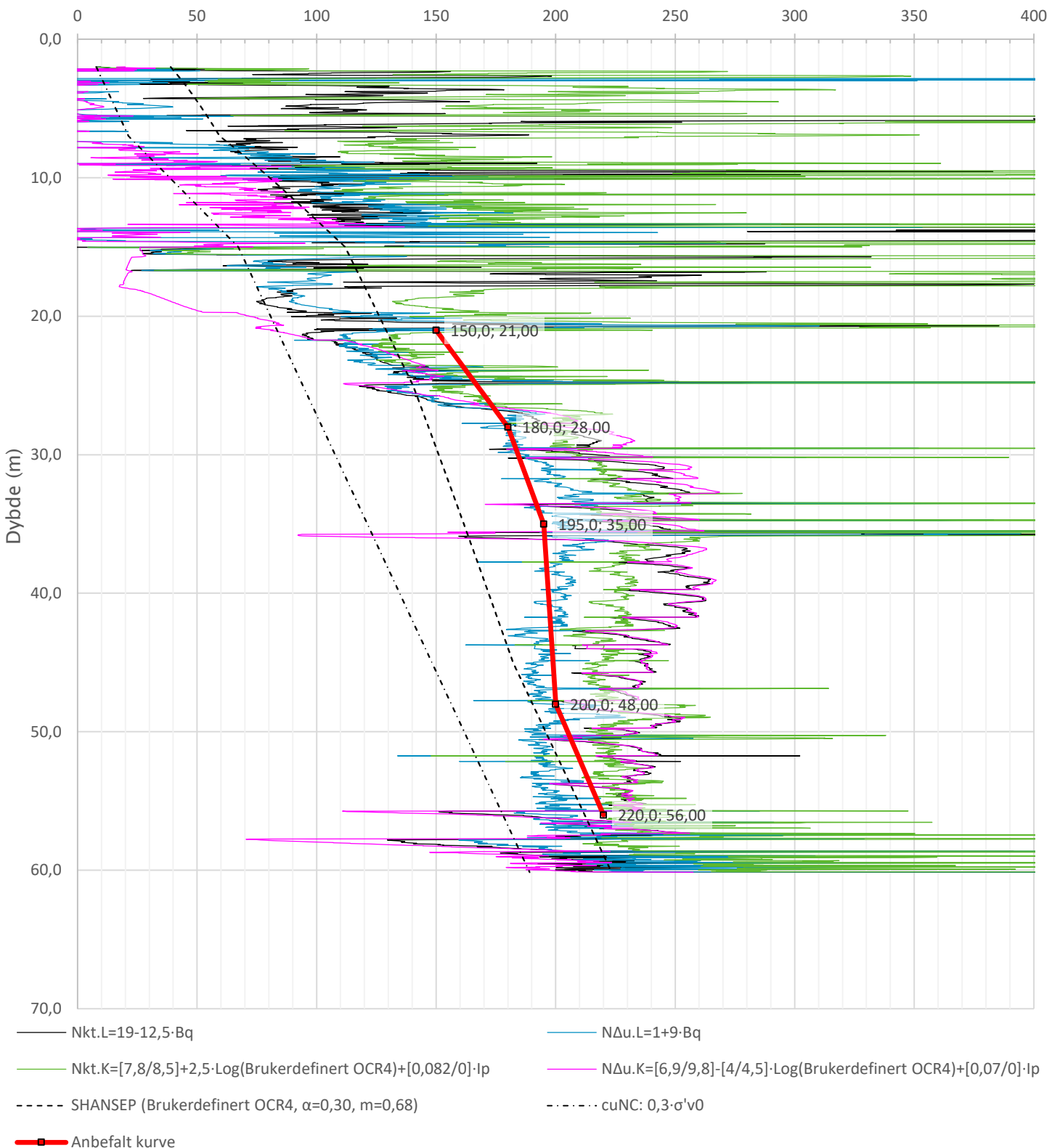
Prosjekt	Prosjektnummer: 10215021-06	Rapportnummer: RIG-RAP-003	Borhull	Kote +32,3
<b>NTNU Campusutvikling – Områdeplaner</b>				<b>44</b>
Innhold			Sondenummer	
Prekonsolideringstrykk, $\sigma'c$				<b>4672</b>
<b>Multiconsult</b>	Tegnet FRA	Kontrollert PBK	Godkjent ANG	Anvend.klasse <b>1</b>
Utførende Multiconsult Norge AS	Date sondering 18.01.2022	Revisjon 0	Rev. dato 21.02.2022	RIG-TEG <b>523.5</b>

### Overkonsolideringsgrad, OCR (-)

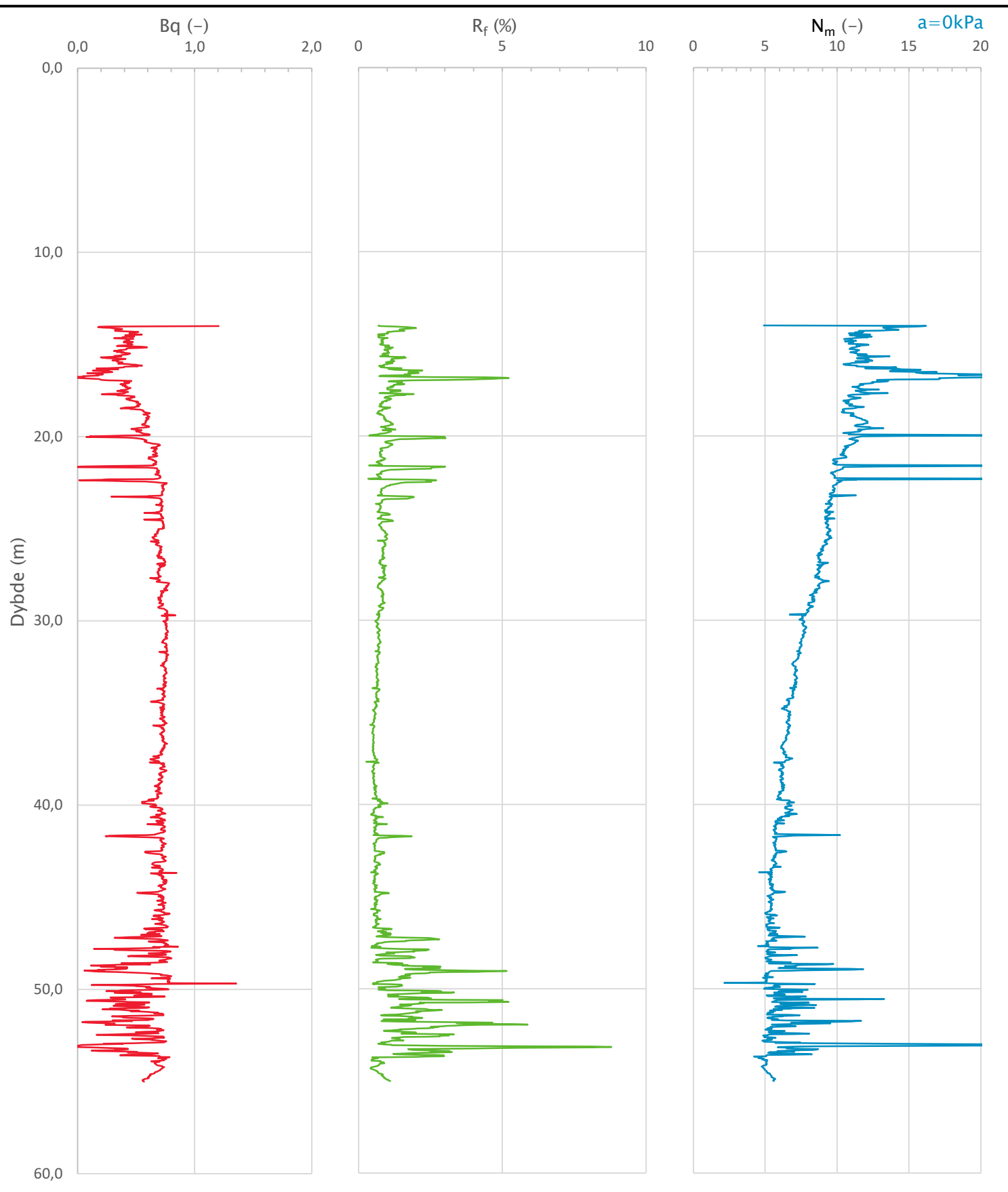


Prosjekt	Prosjektnummer:	10215021-06	Rapportnummer:	RIG-RAP-003	Borhull	Kote +32,3
<b>NTNU Campusutvikling – Områdeplaner</b>					<b>44</b>	
Innhold					Sondenummer	
Overkonsolideringsgrad, OCR					<b>4672</b>	
<b>Multiconsult</b>	Tegnet FRA	Kontrollert PBK	Godkjent ANG	Anvend.klasse		1
Utførende Multiconsult Norge AS		Dato sondering 18.01.2022	Revisjon 0	RIG-TEG		<b>523.6</b>
Rev. dato 21.02.2022						

Udrenert aktiv skjærfasthet,  $c_{ucptu}$  (kPa)

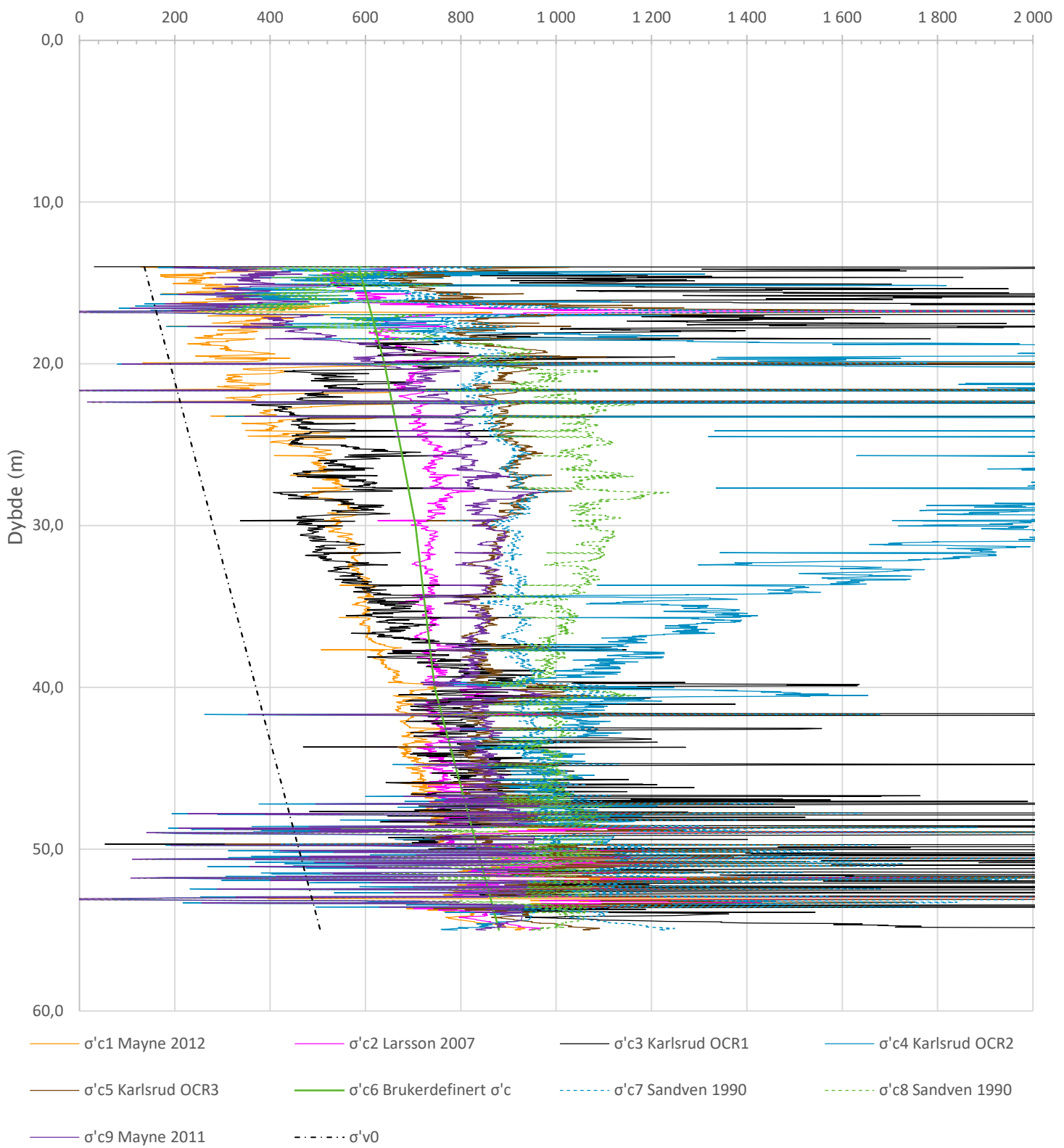


Prosjekt <b>NTNU Campusutvikling – Områdeplaner</b>	Prosjektnummer: 10215021-06	Rapportnummer: RIG-RAP-003	Borhull	Kote +32,3
Innhold			Sondenummer	<b>44</b>
Tolkning av udrenert aktiv skjærfasthet				<b>4672</b>
Multiconsult	Tegnet FRA	Kontrollert PBK	Godkjent ANG	Anvend.klasse <b>1</b>
	Utførende Multiconsult Norge AS	Dato sondering 18.01.2022	Revisjon 0	RIG-TEG <b>523.7</b>
			Rev. dato 21.02.2022	



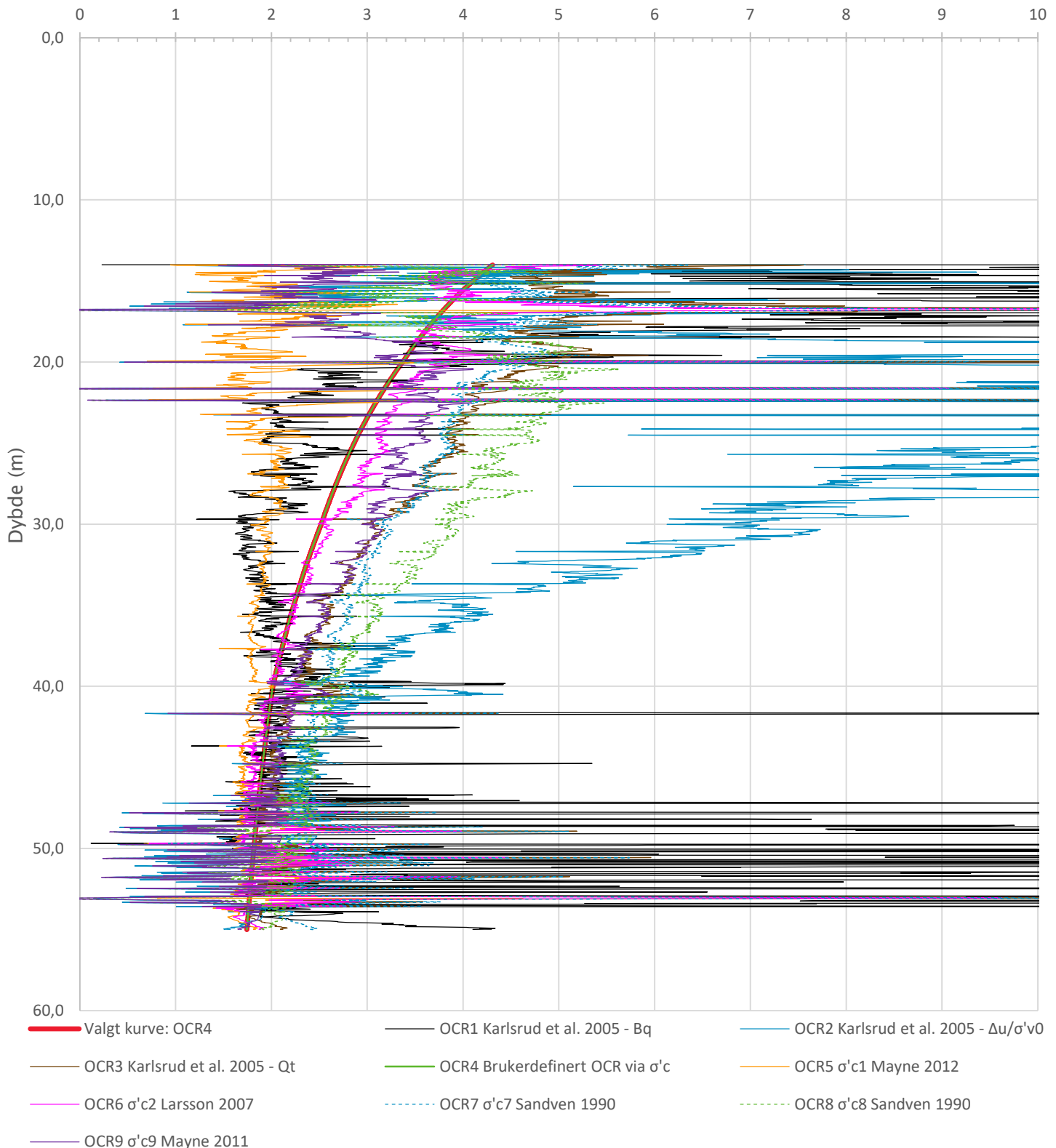
Prosjekt <b>NTNU Campusutvikling – Områdeplaner</b>	Prosjektnummer: 10215021-06	Rapportnummer: RIG-RAP-003	Borhull	Kote +21,8
Innhold			Sondenummer	
Avleddede dimensjonsløse forhold				<b>5288</b>
<b>Multiconsult</b>	Tegnet FRA	Kontrollert PBK	Godkjent ANG	Anvend.klasse <b>1</b>
Utførende Multiconsult Norge AS	Date sondering 07.01.2022	Revisjon 0	Rev. dato 16.02.2022	RIG-TEG <b>524.4</b>

Prekonsolideringstrykk,  $\sigma'_c$  (kPa)



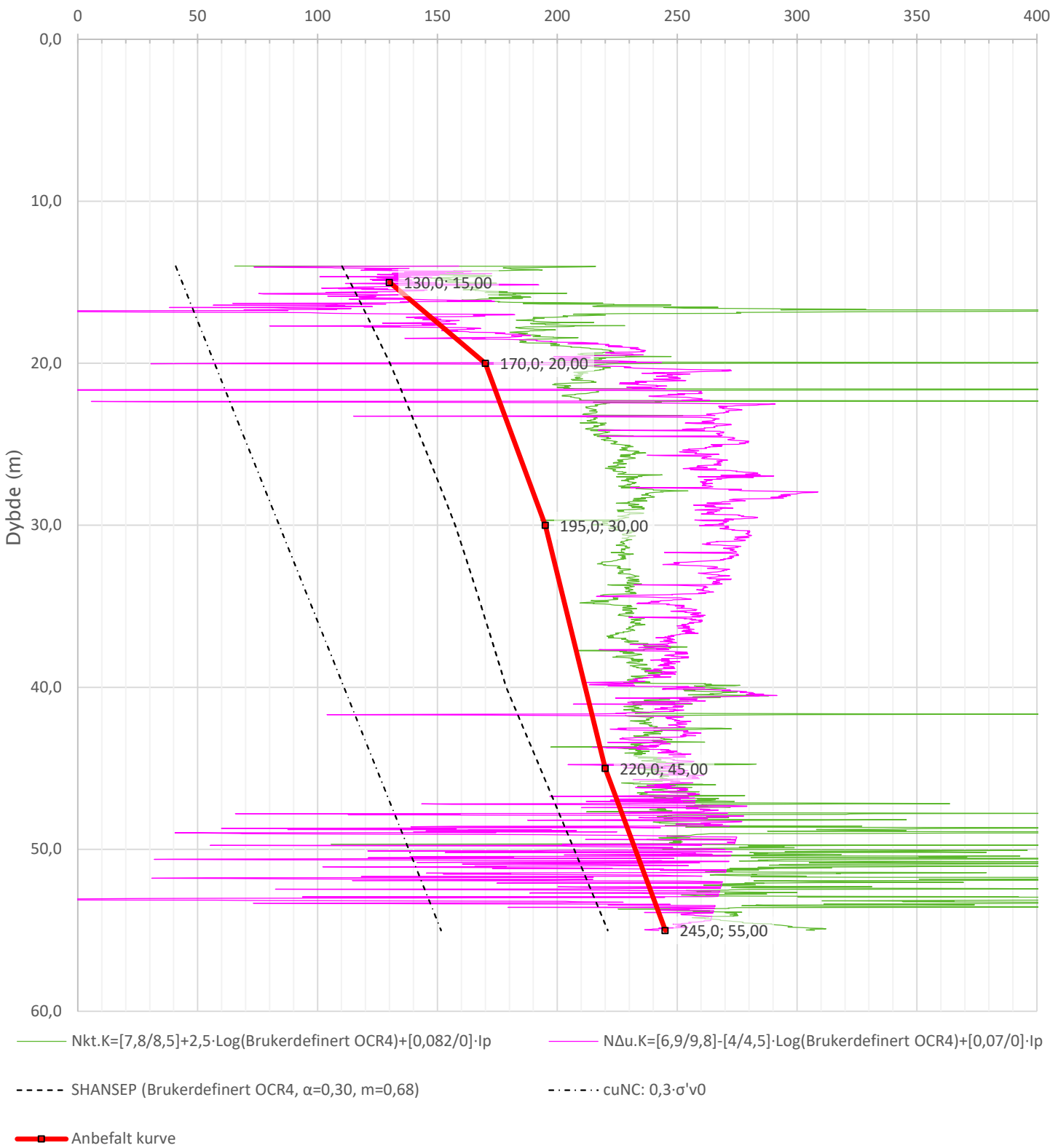
Prosjekt	Prosjektnummer: 10215021-06	Rapportnummer: RIG-RAP-003	Borhull	Kote +21,8
<b>NTNU Campusutvikling – Områdeplaner</b>				<b>45</b>
Innhold			Sondenummer	
Prekonsolideringstrykk, $\sigma'c$				<b>5288</b>
<b>Multiconsult</b>	Tegnet FRA	Kontrollert PBK	Godkjent ANG	Anvend.klasse <b>1</b>
Utførende Multiconsult Norge AS	Date sondering 07.01.2022	Revisjon 0	Rev. dato 21.02.2022	RIG-TEG <b>524.5</b>

### Overkonsolideringsgrad, OCR (-)

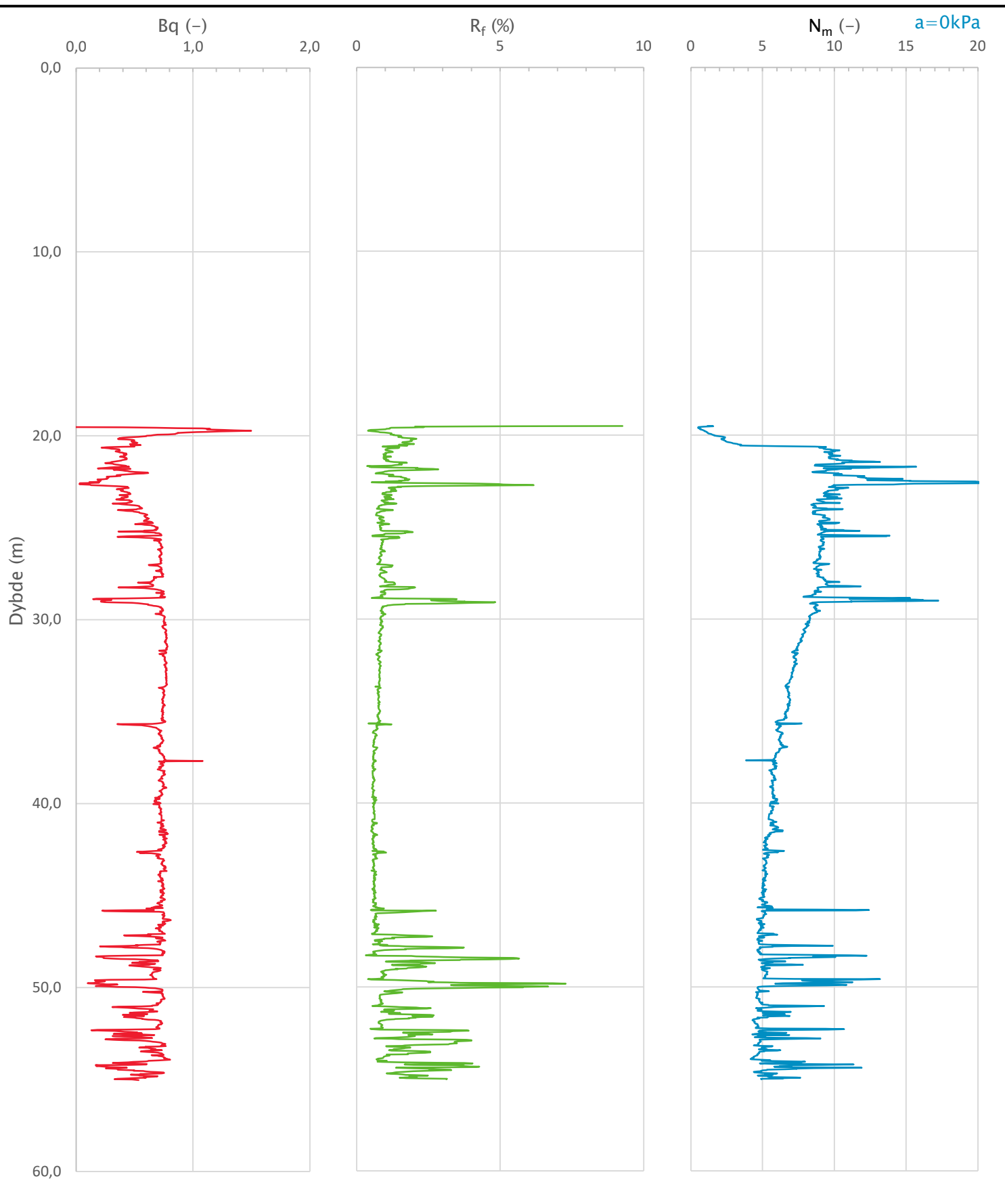


Prosjekt	Prosjektnummer:	10215021-06	Rapportnummer:	RIG-RAP-003	Borhull	Kote +21,8
<b>NTNU Campusutvikling – Områdeplaner</b>					<b>45</b>	
Innhold					Sondenummer	
Overkonsolideringsgrad, OCR						<b>5288</b>
Multiconsult	Tegnet FRA	Kontrollert PBK	Godkjent ANG	Anvend.klasse		1
	Utførende Multiconsult Norge AS	Dato sondering 07.01.2022	Revisjon 0	RIG-TEG		<b>524.6</b>
		Rev. dato 21.02.2022				

Udrenert aktiv skjærfasthet,  $c_{ucptu}$  (kPa)

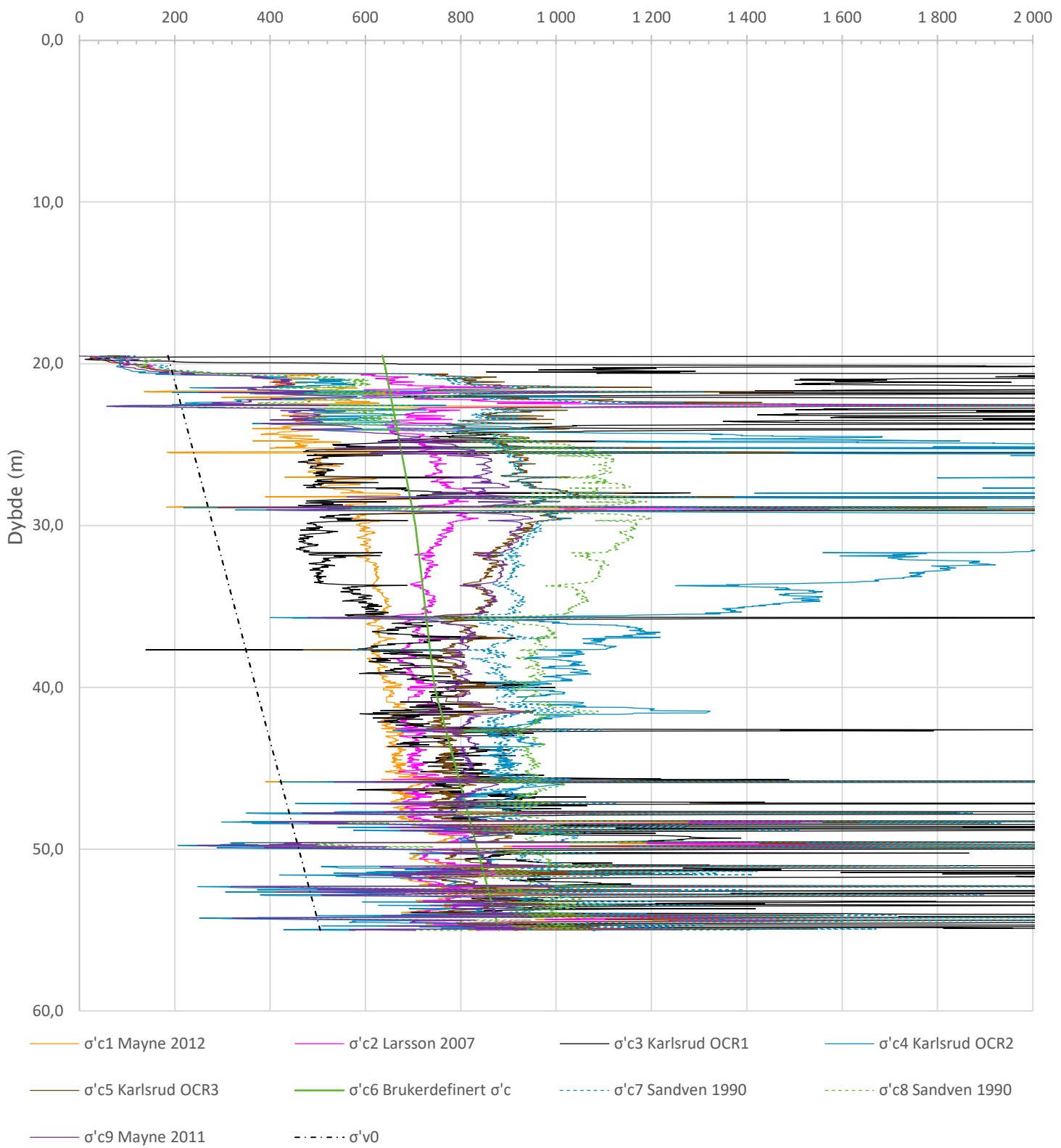


Prosjekt <b>NTNU Campusutvikling – Områdeplaner</b>	Prosjektnummer: 10215021-06	Rapportnummer: RIG-RAP-003	Borhull	Kote +21,8
Innhold			Sondenummer	
Tolkning av udrenert aktiv skjærfasthet				<b>5288</b>
Multiconsult	Tegnet FRA	Kontrollert PBK	Godkjent ANG	Anvend.klasse <b>1</b>
	Utførende Multiconsult Norge AS	Dato sondering 07.01.2022	Revisjon 0	RIG-TEG <b>524.7</b>
			Rev. dato 21.02.2022	



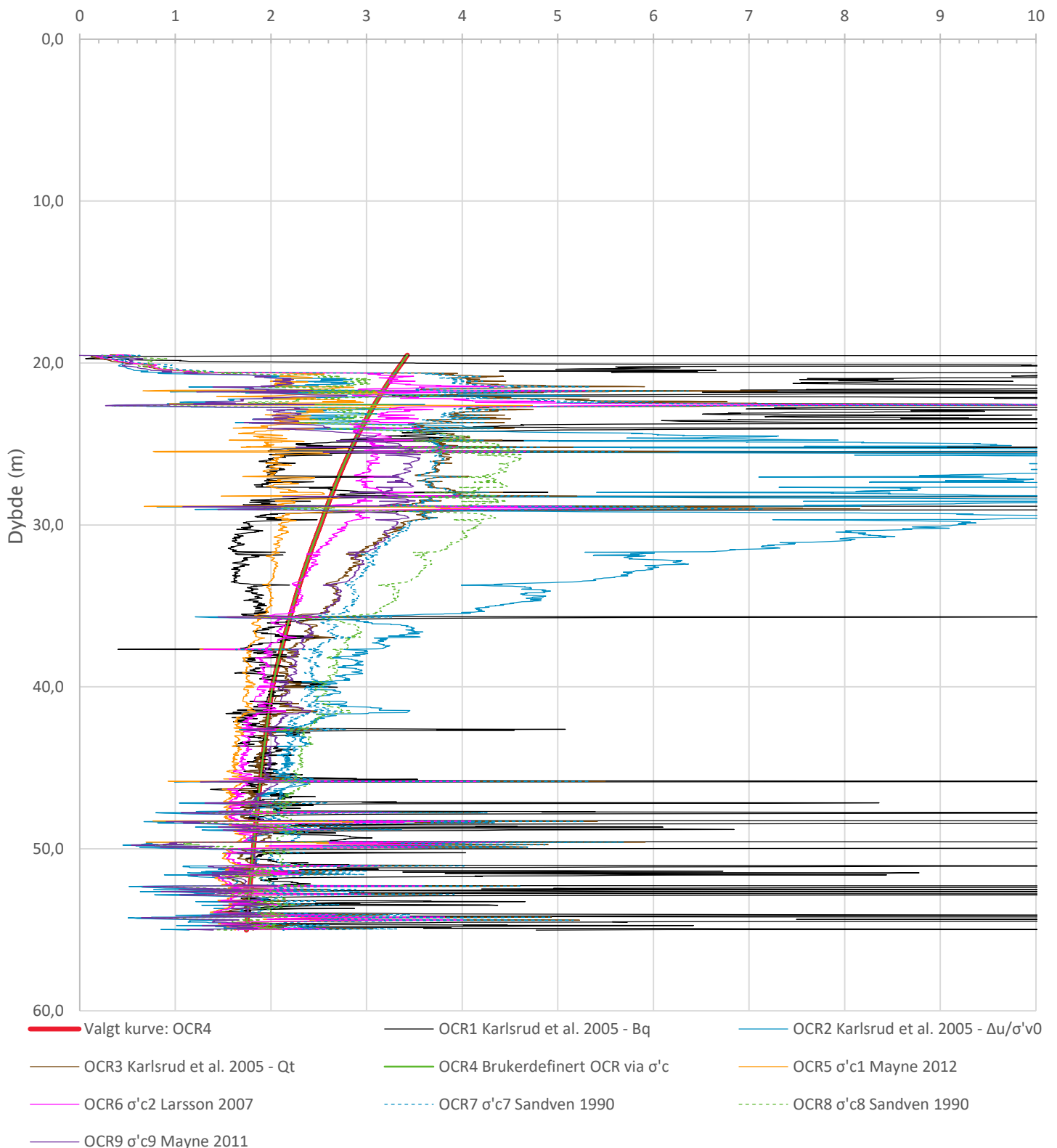
Prosjekt	Prosjektnummer:	10215021-06	Rapportnummer:	RIG-RAP-003	Borhull	Kote +22,9
<b>NTNU Campusutvikling – Områdeplaner</b>					<b>48</b>	
Innhold					Sondenummer	
Avleddede dimensjonsløse forhold						<b>4672</b>
Multiconsult	Tegnet FRA	Kontrollert PBK	Godkjent ANG	Anvend.klasse	1	
	Utførende Multiconsult Norge AS	Dato sondering 22.01.2022	Revisjon 0	RIG-TEG		<b>525.4</b>
			Rev. dato <b>16.02.2022</b>			

Prekonsolideringstrykk,  $\sigma'_c$  (kPa)



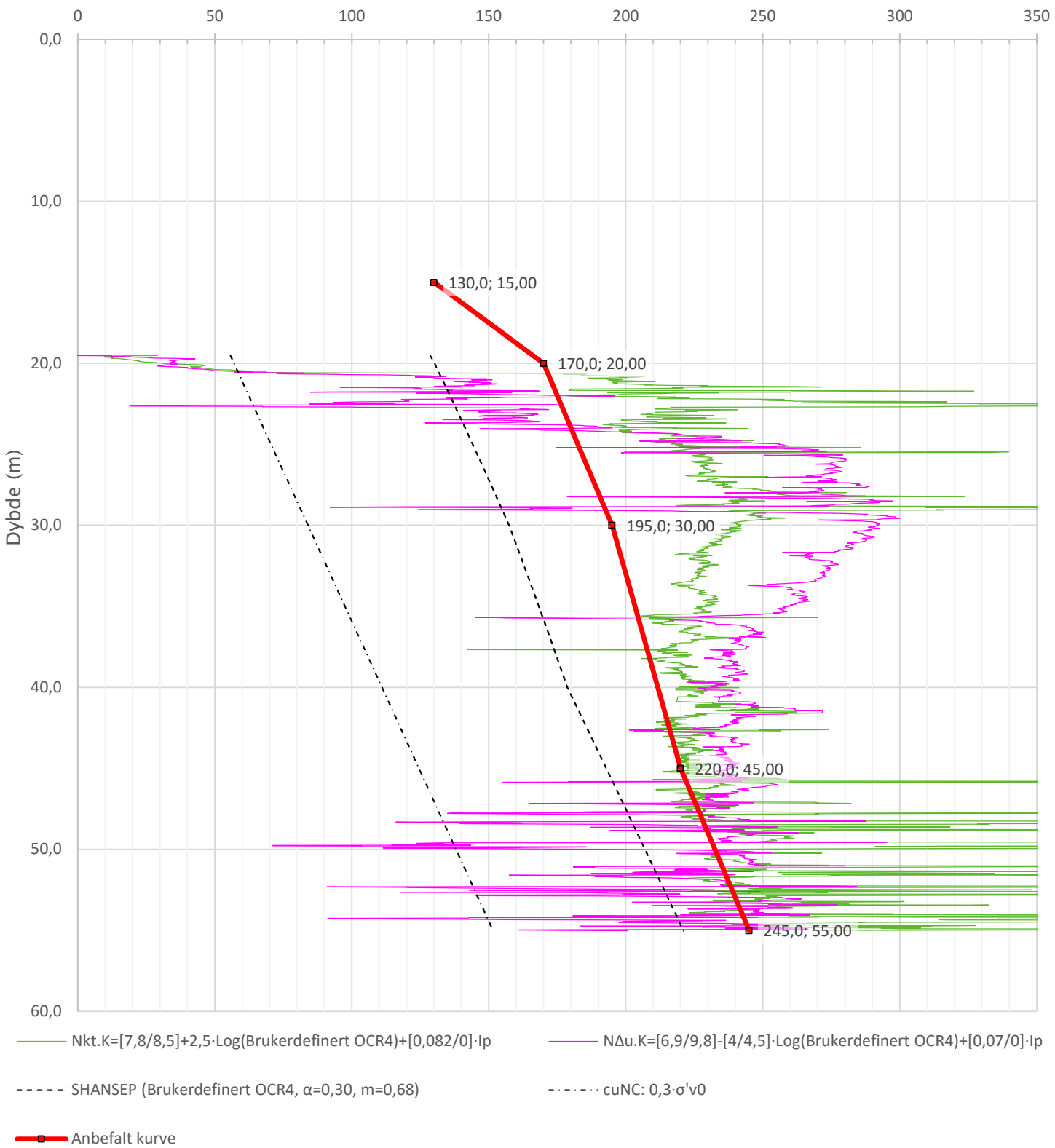
Prosjekt	Prosjektnummer: 10215021-06	Rapportnummer: RIG-RAP-003	Borhull	Kote +22,9
<b>NTNU Campusutvikling – Områdeplaner</b>				<b>48</b>
Innhold			Sondenummer	
Prekonsolideringstrykk, $\sigma'c$				<b>4672</b>
<b>Multiconsult</b>	Tegnet FRA	Kontrollert PBK	Godkjent ANG	Anvend.klasse <b>1</b>
	Utførende Multiconsult Norge AS	Dato sondering 22.01.2022	Revisjon 0	RIG-TEG <b>525.5</b>
			Rev. dato 21.02.2022	

### Overkonsolideringsgrad, OCR (-)



Prosjekt	Prosjektnummer: 10215021-06	Rapportnummer: RIG-RAP-003	Borhull	Kote +22,9
<b>NTNU Campusutvikling – Områdeplaner</b>				<b>48</b>
Innhold			Sondenummer	
Overkonsolideringsgrad, OCR				<b>4672</b>
<b>Multiconsult</b>	Tegnet FRA	Kontrollert PBK	Godkjent ANG	Anvend.klasse <b>1</b>
	Utførende Multiconsult Norge AS	Dato sondering 22.01.2022	Revisjon 0	RIG-TEG <b>525.6</b>
			Rev. dato 21.02.2022	

Udrenert aktiv skjærfasthet,  $c_{ucptu}$  (kPa)



Prosjekt	Prosjektnummer: 10215021-06	Rapportnummer: RIG-RAP-003	Borhull	Kote +22,9
<b>NTNU Campusutvikling – Områdeplaner</b>				<b>48</b>
Innhold			Sondenummer	
Tolkning av udrenert aktiv skjærfasthet				<b>4672</b>
<b>Multiconsult</b>	Tegnet FRA	Kontrollert PBK	Godkjent ANG	Anvend.klasse <b>1</b>
	Utførende Multiconsult Norge AS	Dato sondering 22.01.2022	Revisjon 0	RIG-TEG
			Rev. dato 21.02.2022	<b>525.7</b>

**Vedlegg C**  
**Tidligere utførte grunnundersøkelser**

**Oversikt over tidligere utførte grunnundersøkelser vist på tegning**

**10215021-06-RIG-TEG-001.3**

Referanse	Rapport nr.	Utførende	Oppdrag
<b>Andre aktører</b>			
A1-X	Ud606A	STV	Nord-Sørforbindelsen
A2-X	00190	NGI	Bakklandet
A3-X	NTH 1988	SIN	Berg Prestegård
A4-X	F.76.01	NTH	Barnehager, NTH
A5-X	00208	NGI	NTH, Gløshaugen
A6-X	00208-2	NGI	NTH, Gløshaugen
A7-X	Gk00508	NSB	Berg tunnel P168-208
A8-X	0.0378	NGI	NTH
A9-X	0.0487	NGI	NTH
A10-X	0.0487.2	NGI	NTH
A11-X	0.0268.4	NGI	NTH
A12-X	0.0268.5	NGI	NTH
A13-X	0.0415	NGI	Jonsvannsvegen
A14-X	84050	NGI	Kvikkleirekartlegging
A15-X	Gk00500	NSB	Tunnel Nedre Berg
A16-X	Gk00522	NSB	Holtermannsv. Underg
A17-X	Gk00523	NSB	Klæbu. Undergang
A18-X	Gk00511	NSB	Lerkendal, fylling
A19-X	RIS.11	RIS	Klæbuveien 65
A20-X	NTH01	NTH	Hovedoppg. Bakklandet
A21-X	Gk00508a	NSB	Berg Tunnel P168-208
A22-X	0.0737	NGI	Høgskoledalen
A23-X	0.0268	NGI	NTH
A24-X	0.0268.2	NGI	NTH
<b>Multiconsult</b>			
MC1-X	30473	GEO	Brinken12 og 14
MC2-X	411308-1	NOT	Enebolig Lillegårdsbakken 30 B
MC3-X	413642	NOT	Gløshaugen. Nytt bygg
MC4-X	57274	NOT	Gløshaugen. Realfagbygget
MC5-X	412086-01	NOT	Maristuveien 11
MC6-X	07683	GEO	Nasjonalforeningen for folkehelsen
MC7-X	07683.02	GEO	Nasjonalforeningen for folkehelsen
MC8-X	414034	NOT	NTNU, Solbygget
MC9-X	413798	NOT	NTNU. Kjemihallen ombygging
MC10-X	57118	NOT	Realfagbygget på Gløshaugen
MC11-X	57118-2	NOT	Realfagbygget på Gløshaugen
MC12-X	30385	GEO	Petersborggate 6B
MC13-X	413642-3	NOT	Prestegårdsjordet
MC14-X	10215021	Multiconsult	NTNU, vurdering av byggbarhet
MC20-X	415683	Multiconsult	Fradeling av tomt Strindvegen 9
MT1-X	415913	Multiconsult	Bakklandet Nord
<b>Norconsult</b>			
NC1-X	5175072-RIG03	Norconsult	SINTEF Energi - Geoteknisk datarapport
NC2-X	5175072-RIG12	Norconsult	SINTEF Horizon- områdestabilitetsutredning
<b>Rambøll</b>			

R1-X	02924	KUM	Bakklandsutredningen
R2-X	670721	KUM	Berg studentby
R3-X	00282	KUM	Drosjeeiernes S.Lag
R4-X	690119	KUM	Elgesetergate 49
R5-X	00195	KUM	Idrettsbygg ved NTH
R6-X	06768	KUM	Øvre Bakklandet
R7-X	06168	KUM	Øvre Bakklandet 2-8
R8-X	690568	KUM	Øvre Bakklandet 33
R9-X	10665	KUM	Kjelhuset NTH
R10-X	00223	KUM	Kjemivdeling NTH
R11-X	03068	KUM	Lerkendal. NTH
R12-X	01100-1	KUM	Mobil Oil AS
R13-X	600002	KUM	Nedre Singsakerslett
R14-X	600002-2	KUM	Nedre Singsakerslett
R15-X	600002-3A	KUM	Nedre Singsakerslett
R16-X	600002-4	KUM	Nedre Singsakerslett
R17-X	600002-5	KUM	Nedre Singsakerslett
R18-X	00185-2	KUM	Nidelven
R19-X	00669-2	KUM	NTH
R20-X	03493	KUM	NTH - Elektroteknisk
R21-X	05027	KUM	NTH - Elektroteknisk
R22-X	10495	KUM	NTH - Realfagbygg
R23-X	00629	KUM	NTH Arkitektavd
R24-X	00644	KUM	NTH Elektroblokk D
R25-X	00248	KUM	NTH Interesseområde
R26-X	00593	KUM	NTH Materialteknisk
R27-X	00669	KUM	NTH Nybygg
R28-X	00669-5	KUM	NTH Nybygg
R29-X	00669-8	KUM	NTH Nybygg
R30-X	00070-2	KUM	NTH, Akustisk Lab
R31-X	02460	KUM	NTH, Bergavdelingen
R32-X	11291	KUM	NTNU
R33-X	640039A	KUM	NTNU Idrettsbygg
R34-X	600271	KUM	NTNU. Bygg P15
R35-X	640498A	KUM	Nybygg Korsgata
R36-X	04569	KUM	Petersborg gt 6B
R37-X	07850	KUM	Petersborggt 1
R38-X	06440	KUM	Petersborggt 3
R39-X	01397	KUM	Petersborggt 4
R40-X	11238	KUM	PFI - NTNU
R41-X	11238-2	KUM	PFI - NTNU
R42-X	04503	KUM	Prestegårdsjordet
R43-X	610203	KUM	Rehabilitering Korsgata
R44-X	6100099	KUM	Samfundet/Fengselstomten
R45-X	00185	KUM	Schives gt - Nidolv
R46-X	00297	KUM	Sentralbygg II, NTH
R47-X	690090	KUM	SINTEF, Elektro H
R48-X	630020	KUM	Skrenten 27
R49-X	00643	KUM	Studentsamskipnaden
R50-X	630183A	KUM	Tidemands gate 22B

R51-X	00204	KUM	Trafo, Klæbuveien
R52-X	01275	KUM	Trh Aktieteglverk
R53-X	660200	KUM	Utvidelse av Student
R54-X	00090	KUM	Varmetekn Lab NTH
R55-X	06850	KUM	Verk.tekn.lab NTH
R56-X	00155	KUM	Verkstedtekn Lab NTH
R57-X	05814	KUM	Vollabakken 10
R58-X	11461	KUM	Vollabakken 16B
R59-X	00160	KUM	Vollafallet 12
R60-X	6060021	Rambøll	Kjemiblokk I
R77-X	6120027-2	Rambøll	Elgesetergt 55-57
R78-X	6120027-1	Rambøll	Elgesetergt 55-57

#### Trondheim kommune

TK1-X	R.0158	TRK	Bakklandet barnehage
TK2-X	R.0419-3	TRK	Bakklandsutredningen
TK3-X	R.1111	TRK	Bergsbakken, nedre d
TK4-X	R.0061	TRK	Biskop Wekselsens gt
TK5-X	R.1006	TRK	Duedalen
TK6-X	R.0049	TRK	Duedalen
TK7-X	R.0356	TRK	Elgeseter bro
TK8-X	R.0997-2	TRK	Gløshaugen/Nidelva
TK9-X	R.0997-3	TRK	Gløshaugen/Nidelva
TK10-X	R.0900	TRK	Gudes gate 6
TK11-X	R.1074	TRK	Hans Osnes veg
TK12-X	R.0768	TRK	Høgskoleparken
TK13-X	R.0549	TRK	Ø Kristianstensgt
TK14-X	R.0849-3	TRK	Jonsvannsv./Eidsvoll
TK15-X	R.0418	TRK	Jonsvannsvegen
TK16-X	R.0849	TRK	Jonsvannsveien
TK17-X	R.0849-2	TRK	Jonsvannsveien
TK18-X	R.1068	TRK	Jørgen Bjelkes gate
TK19-X	R.0075	KUM	Klostergata - Schive
TK20-X	R.0366	TRK	Klostergata 20
TK21-X	R.0008	TRK	Klostergt.-Vollakamm
TK22-X	R.1322	TRK	Kluvers gate
TK23-X	R.1172	TRK	Klæbuvegen 51
TK24-X	R.0715	TRK	Lerkendalsforbind
TK25-X	R.0840	TRK	Lillegårdsbakken
TK26-X	R.1243	TRK	Lillegårdsbakken
TK27-X	R.1283	TRK	Lillegårdsbakken 16
TK28-X	R.1089	TRK	Neufeldts Gate
TK29-X	R.0997-6	TRK	Neufeldts gate 11B
TK30-X	R.0362-3	TRK	Nidarøledningen
TK31-X	R.1110	TRK	Petersborg 8
TK32-X	R.0025	TRK	Singsaker
TK33-X	R.0496	TRK	Singsaker
TK34-X	R.0496-2	TRK	Singsaker- Elgeseter
TK35-X	R.1090	TRK	Skansegata
TK36-X	R.0028	TRK	Skansegt.-Øvre Bakkl

TK37-X	R.0028	TRK	Skansegt. Øvre Bakkl
TK38-X	R.0974-4	TRK	Strindvegen
TK39-X	R.0974	TRK	Strindvegen
TK40-X	R.0974-3	TRK	Strindvegen
TK41-X	R.1313	TRK	Tyholtveien 4 -8
TK42-X	R.0461	TRK	Vannledn. Petersborg
TK43-X	R.0054	TRK	Vollabakken
TK44-X	R.0736	TRK	Vollabakken. Kloakk
TK45-X	R.0953	TRK	Øvre Bakklandet
TK46-X	R.0953-2	TRK	Øvre Bakklandet 32-4
TK48-X	R.1577-1	TRK	Singsaker-Tyholt
TK49-X	R.1577-2	TRK	Singsaker-Tyholt
TK60-X	R.1677	TRK	Høgskoleringen-Strindvegen